



TUGAS AKHIR (RC14-1501)

PERENCANAAN TURAP / *RETAINING WALL* PEMBANGUNAN JALAN TOL GEMPOL – PANDAAN STA 6+518 s/d 6+575

MARBONO WIDYA DIPUTRA
NRP 3114 105 006

Dosen Pembimbing
Musta'in Arif, S.T., M.T.
Putu Tantri Kumala Sari, S.T., M.T.

JURUSAN TEKNIK SIPIL
Fakultas Teknik Sipil dan Perencanaan
Institut Teknologi Sepuluh Nopember
Surabaya 2016



FINAL PROJECT (RC14-1501)

**SHEET PILE / RETAINING WALL DESIGN
FOR GEMPOL - PANDAAN HIGHWAY
CONSTRUCTION IN STA 6 + 518 TO 6 + 575**

MARBONO WIDYA DIPUTRA
NRP 3114 105 006

Supervisor
Musta'in Arif, S.T., M.T.
Putu Tantri Kumala Sari, S.T., M.T.

DEPARTEMEN OF CIVIL ENGINEERING
Faculty of Civil Engineering and Planning
Sepuluh Nopember Institute of Technology
Surabaya 2016

**PERENCANAAN TURAP/ RETAINING WALL
PEMBANGUNAN JALAN TOL GEMPOL –
PANDAAN STA 6 + 518 s/d 6+575**

TUGAS AKHIR

Diajukan Untuk Memenuhi Salah Satu Syarat

Memperoleh Gelar Sarjana Teknik

pada

Bidang Studi Geoteknik

Program Studi S-1 Lintas Jalur Jurusan Teknik Sipil

Fakultas Teknik Sipil dan Perencanaan

Institut Teknologi Sepuluh Nopember

Oleh :

MARBONO WIDYA DIPUTRA

Nrp. 3114 105 006

Disetujui oleh Pembimbing Tugas Akhir:

Pembimbing I :

1. Musta'in Arif, ST., MT

Pembimbing II :

2. Putu Tantri Kumala Sari, ST., MUSAN.



SURABAYA

JUNI, 2016

**PERENCANAAN TURAP/ RETAINING WALL
PEMBANGUNAN JALAN TOL GEMPOL – PANDAAN
STA 6 + 518 s/d 6+575**

Nama Mahasiswa : Marbono Widya Diputra
NRP : 3114105006
Jurusan : Teknik Sipil FTSP – ITS
Dosen Konsultsi : Musta'in Arif, ST., MT
Putu Tantri Kumala Sari, ST., MT

Abstrak

Jalan tol merupakan jalan bebas hambatan yang bertujuan untuk mempersingkat jarak dan waktu tempuh dari satu tempat ke tempat lain. Salah satunya di Jawa Timur yaitu dilakukan pembangunan jalan Tol Pandaan – Gempol sebagai kelanjutan dari ruas jalan Tol Surabaya – Porong dan Porong – Gempol yang akan terhubung dengan jalan Tol Pandaan – Malang. Jalan tol Gempol - Pandaan ini merupakan ruas jalan tol yang menghubungkan Surabaya dan Malang.

Pada stasining Sta 6+518 s/d 5+575 terdapat galian sedalam 18 meter dengan desain lereng bersusun pada samping badan jalan untuk menghindari kelongsoran. Namun pada salah satu sisi jalan desain lereng bersusun tidak dapat dilakukan karena terbatasnya lahan akibat adanya bangunan eksisting milik pabrik kaca. Karena pembebasan lahan milik pabrik kaca terlalu mahal, maka pada sisi ini digunakan galian tegak. Dalam perencanaan ini, direncanakan suatu kontruksi yang mempunyai fungsi sebagai perkuatan untuk menahan tanah galian tegak sedalam 18 m dari kelongsoran yang efektif dan ekonomis. Ada dua macam analisa pada perencanaan perkuatan tanah ini yaitu perencanaan perkuatan dengan menggunakan data tanah sesuai kondisi aslinya dan perencanaan perkuatan menggunakan data tanah yang dianggap sebagai pasir (behaving like sand). Hal ini dikarenakan pada lokasi yang tidak jauh dari pabrik terjadi kelongsoran walaupun tanah disekitar lokasi tersebut relatif padat/ keras.

Dari hasil perhitungan perkuatan menggunakan data tanah behaving like sand menghasilkan dimensi perkuatan yang lebih besar bila dibandingkan dengan menggunakan data tanah asli. Pada turap kantilever dimensi yang didapatkan untuk perkuatan menggunakan Stee Pipe Pile yaitu 0,8 m dengan panjang total 26 m untuk kondisi tanah asli dan 1,1 m dengan panjang total 32 m untuk kondisi behaving like sand. Sedangkan turap yang dikombinasikan dengan ground anchor didapatkan dimensi bored pile 0,7 m dengan panjang total 16 m untuk kondisi tanah asli dan 0,9 m dengan panjang total 20 m untuk kondisi behaving like sand.. Pemasangan subdrain diletakkan dibelakang turap agar lereng tetap daam kondisi kering.

Kata kunci: *Galian, Turap, Retaining Wall, Stabilitas Lereng, Behaving Like Sand, Sheet Pile, Subdrain, Plaxis.*

**SHEET PILE / RETAINING WALL DESIGN FOR
GEMPOL - PANDAAN HIGHWAY CONSTRUCTION IN
STA 6 + 518 TO 6 + 575**

Student Name : Marbono Widya Diputra
Student Number (NRP): 3114105006
Departement : Teknik Sipil FTSP – ITS
Supervisor : Musta'in Arif, ST., MT
Putu Tantri Kumala Sari, ST., MT

Abstract

Highway is a freeway that aims to shorten the distance and time from one place to another. One of them is in Jawa Timur (East Java), Pandaan - Gempol Highway built as a continuation of Surabaya - Porong Highway and Porong - Gempol Highway which will be connected with Pandaan - Malang Highway. Gempol - Pandaan Highway is a toll roads which connecting Surabaya and Malang.

In Sta 6 + 518 to Sta 5 + 575, there is an excavation with deep about 18 meters with counterweigh slope design on the roadside in order to avoid sliding. But on the one segment of the roads, the counterweigh slope design could not be implemented because of the limited space due to existing building of glass factory which is located here. Due to the high over cost for the acquisition of glass factory , then the un-slope cutting method will be implement on this location there need to design the reinforcement method which has a effective function and economic.. There are two types of analysis on this soil reinforcement design, which are reinforcement design using soil based on laboratory and reinforcement design using soil data that is considered as the sand (behaving like sand). This analyasis is used because soil sliding happened at a site located not far from the factory although the soil is relatively hard concistency.

The result show that reinforcement dimension using behaving like sand data is larger than using soil data based on laboratory

test. On cantilever sheet pile, the dimensions obtained for reinforcement using Stee Pipe Pile is 0.8 m with a total length of 26 m for the original soil conditions and 1.1 m with a total length of 32 m for the condition of behaving like sand. While the dimension of bored pile which is combined from both sheet pile and ground anchor is 0.7 m with a total length of 16 m for the original soil conditions and 0.9 m with a total length of 20 m for the condition of behaving like sand. The subdrain is placed behind the sheet pile in order to make the slopes remain in dry conditions

Key words: Cut, Sheet pile, Retaining Wall, Slope Stability, Behaving Like Sand, Subdrain, Plaxis.

DAFTAR ISI

Halaman Judul	i
<i>Title Page</i>	ii
Lembar Pengesahan.....	iii
Abstrak	v
<i>Abstract</i>	vii
Kata Pengantar	ix
Daftar Isi.....	xi
Daftar Gambar	xv
Daftar Tabel	xix
Daftar Lampiran	xxi
BAB I PENDAHULUAN	1
1.1 Latar Belakang	1
1.2 Perumusan Masalah	3
1.3 Tujuan Perencanaan	4
1.4 Batasan Masalah	4
1.5 Manfaat Perencanaan	4
BAB II TINJAUAN PUSTAKA	4
2.1 Korelasi <i>Standard Penetration Test</i> (SPT)	5
2.2 Tekanan Tanah Lateral.....	8
2.2.1 Menurut Teori Rankine (1987)	9
2.3 Turap	11
2.3.1 Fungsi Turap	11
2.3.2 Jenis-jenis Turap	11
2.3.3 Tipe-tipe Dinding Turap	13
2.3.4 Perancangan Dinding Turap	15
2.3.5 Tekanan Tanah Aktif dan Tekanan Tanah Pasif.	20
2.3.6 Momen Reduksi Rowe.....	22
2.3.7 Perhitungan Kedalaman Turap	24
2.3.8 Defleksi Tiang Vertikal	26

2.3.8.1	Panjang Jepitan Kritis Tanah Terhadap Tiang Pondasi (Dc).....	28
2.3.8.2	Beban Vertikal Kritis	29
2.3.8.3	Metode Tomlinson	30
2.4	Blok Angker	31
2.4.1	Blok Angker Memanjang di Dekat Permukaan Tanah	33
2.4.2	Metode Bowles	34
2.4.3	Blok Angker Pada Kedalaman Besar	36
2.4.4	Letak Angker	36
2.4.5	Batang Pengikat dan Balok Horizontal	37
2.5	PLAXIS	38
2.6	Saluran Bawah Permukaan pada Lereng (<i>Subdrain</i>)	40
2.7	Tanah <i>Behaving Like Sand</i>	40
 BAB III METODOLOGI		43
3.1	Bagan Alir	43
3.2	Studi Literatur	44
3.3	Pengumpulan Data	45
3.4	Pengolahan Data Tanah.....	45
3.5	Perencanaan Turap	45
3.6	Analisa Perbandingan Biaya	45
3.7	Perencanaan Saluran Bawah Permukaan (<i>Subdrain</i>)	45
3.8	Kesimpulan	46
 BAB IV DATA DAN ANALISA		47
4.1	Data Tanah	47
4.1.1	Lokasi Pengambilan Data Tanah.....	47
4.1.2	<i>Data Standard Penetration Test (SPT)</i>	47
4.1.3	Data Tanah Asli.....	48
4.1.4	Data Tanah <i>Behaving Like Sand</i>	49
4.1.5	Penentuan Poisson's Ratio (μ)	49
4.1.6	Modulus Elastisitas Tanah (E_s)	50

4.1.7	Rekapitulasi Data Tanah	51
4.2	Data Spesifikasi Bahan	51
4.2.1	<i>Steel Pipe Pile (SPP)</i>	51
4.2.2	<i>Bored Pile</i>	51
4.2.3	Kabel Tendon.....	52
BAB V PERENCANAAN		53
5.1	Analisa Stabilitas Lereng	53
5.2	Model Geometri Turap/ <i>Retaining Wall</i>	53
5.3	Perencanaan <i>Subdrain</i> Pada Lereng.....	54
5.4	Perencanaan Turap Kantilever	55
5.4.1	Tanah Asli.....	55
5.4.1.1	Perencanaan SPP (<i>Steel Pipe Pile</i>)	60
5.4.1.2	Perencanaan <i>Bored Pile</i>	64
5.4.2	Tanah <i>Behaving Like Sand</i>	70
5.4.2.1	Perencanaan SPP (<i>Steel Pipe Pile</i>)	76
5.4.2.2	Perencanaan <i>Bored Pile</i>	80
5.4.3	Hasil Perhitungan Turap Kantilever	86
5.5	Perencanaan Turap Berangkur.....	87
5.5.1	Tanah Asli.....	87
5.5.1.1	Perencanaan SPP (<i>Steel Pipe Pile</i>)	93
5.5.1.2	Perencanaan <i>Bored Pile</i>	101
5.5.2	Tanah <i>Behaving Like Sand</i>	110
5.5.2.1	Perencanaan SPP (<i>Steel Pipe Pile</i>)	116
5.5.2.2	Perencanaan <i>Bored Pile</i>	124
5.5.3	Hasil Perhitungan Turap Berangkur	133
5.6	Perhitungan Harga Bahan dari Alternatif Perkuatan	133
5.6.1	Analisa Harga Turap Kantilever	133
5.6.2	Analisa Harga Turap Berangkur	134
BAB VI KESIMPULAN DAN SARAN.....		137
6.1	Kesimpulan	137
6.2	Saran	139
Daftar Pustaka		141

Lampiran.....	143
Biodata Penulis.....	169

DAFTAR TABEL

Tabel 2.1	Korelasi Nilai N pada tanah <i>Cohesionless</i>	5
Tabel 2.2	Korelasi Nilai N pada tanah <i>Cohesive</i>	5
Tabel 2.3	Nilai Perkiraan Modulus Elastisitas Tanah	7
Tabel 2.4	Perkiraan Nilai Poisson's Ratio.....	7
Tabel 2.5	Nilai-nilai n_h untuk tanah granuler ($c = 0$).....	27
Tabel 2.6	Nilai-nilai n_h untuk tanah kohesif.....	27
Tabel 2.7	Kriteria tiang kaku dan tiang tidak kaku untuk tiang ujung bebas.....	28
Tabel 4.1	Data Tanah Asli.....	49
Tabel 4.2	Data Tanah <i>Behaving Like Sand</i>	49
Tabel 4.3	Perkiraan Nilai Poisson's Ratio.....	50
Tabel 4.4	Perkiraan Modulus Elastisitas tanah.....	50
Tabel 4.5	Rekapitulasi Data Tanah Asli.....	51
Tabel 4.6	Rekapitulasi Data Tanah <i>Behaving Like Sand</i>	51
Tabel 4.7	Dimensi <i>Bored Pile</i> yang Digunakan.....	52
Tabel 5.1	Data Perencanaan Turap Kantilever Tanah Asli ...	55
Tabel 5.2	Gaya Turap Kantilever Tanah Asli.....	60
Tabel 5.3	Data Perencanaan Turap Kantilever Tanah <i>Behaving Like Sand</i>	71
Tabel 5.4	Gaya Turap Kantilever <i>Behaving Like Sand</i>	75
Tabel 5.5	Hasil Perhitungan Turap Kantilever.....	86
Tabel 5.6	Data Perencanaan Turap Berangkur Tanah Asli ...	87
Tabel 5.7	Gaya Turap Berangkurr Tanah Asli	92
Tabel 5.8	Data Perencanaan Turap Berangkur Tanah <i>Behaving Like Sand</i>	110
Tabel 5.9	Gaya Turap Berangkurr <i>Behaving Like Sand</i>	115
Tabel 5.10	Hasil Perhitungan Turap Berangkur.....	133
Tabel 5.11	Harga Perkuatan Turap Kantilever.....	134
Tabel 5.12	Harga Perkuatan Turap Berangkurr	135
Tabel 6.1	Hasil Analisa Turap Kantilever dan Turap Berangkurr dengan Metode Konvensional	137
Tabel 6.2	Hasil Analisa Turap Kantilever dan Turap Berangkurr dengan PLAXIS	138

Tabel 6.3 Rekapitulasi Harga Perkuatan 138

"

xx

DAFTAR GAMBAR, GRAFIK, DAN DIAGRAM

Gambar 1.1	Layout Perencanaan, Ruas Jalan Tol Gempol - Pandaan Sta 6+518 s/d Sta 6+575	2
Gambar 1.2	Potongan Melintang Ruas Jalan Tol Gempol - Pandaan Sta 6+518 s/d Sta 6+575	2
Gambar 2.1	Jenis Tekanan Tanah Berdasarkan Arah Pergerakan Dinding.....	8
Gambar 2.2	<i>Steel Pipe Pile</i>	12
Gambar 2.3	Jenis Tiang Bor yang Dipakai untuk Turap	13
Gambar 2.4	Dinding Turap Kantilever.....	14
Gambar 2.5	Dinding Turap Diangker	15
Gambar 2.6	Tekanan Tanah Pada Turap Kantilever	15
Gambar 2.7	Pengaruh Kedalaman Turap Pada Distribusi Tekanan Dan Perubahan.....	17
Gambar 2.8	Variasi Defleksi Dan Momen Pada Turap Berjangkar Metode <i>Free Earth Support</i>	18
Gambar 2.9	Turap Jangkar Tertanam Pada Pasir	18
Gambar 2.10	Turap Jangkar Tertanam Pada Lempung	19
Gambar 2.11	Variasi defleksi dan momen pada turap berjangkar metode metode <i>fixed earth support</i>	20
Gambar 2.12	Tekanan Tanah Padaturap Kantilever	21
Gambar 2.13	Diagram Tekanan Tanah Pasif	21
Gambar 2.14	<i>Moment Reduction Factor for Granular Soil (a & b)</i> <i>and Cohesive Soil in Long-Term (c) , Rowe &</i> NAVFAC	23
Gambar 2.15	<i>Moment Reduction Factor For Cohesive Soil</i> <i>(short-term) Rowe & TENG</i>	24
Gambar 2.16	Diagram distribusi tekanan tanah aktif dan pasif	25

Gambar 2.17	Perlengkungan tiang panjang yang mendukung beban vertikal dan horizontal di kepala tiang (Tomlinson, 1977)	30
Gambar 2.18	Tiang Mengalami Beban Lateral <i>H</i> (Tomlison, 1977).....	31
Gambar 2.19	Macam-Macam Cara Pengangkeran.....	32
Gambar 2.20	Kapasitas Blok Angker.....	33
Gambar 2.21	Gaya-Gaya Pada Blok Angker	35
Gambar 2.22	Penempatan Angker	37
Gambar 2.23	Pemasangan Batang Pengikat (<i>Tie Rod</i>) Dan Balok Horizontal (<i>Wale</i>)	38
Gambar 2.24	Saluran Bawah Pada Permukaan Lereng.....	40
Gambar 2.25	Keretakan Tanah.....	41
Gambar 3.1	Diagram Alir Tugas Akhir	44
Gambar 4.1	Lokasi Pengambilan Data.....	47
Gambar 4.2	Grafik Boring Log	48
Gambar 5.1	Perencanaan Geometri Lereng	53
Gambar 5.2	Rencana <i>Subdrain</i>	54
Gambar 5.3	Diagram Tegangan dan Tekanan Tanah Lateral Turap Kantilever Kondisi Tanah Asli	59
Gambar 5.4	<i>Displacement</i> Butiran Tanah Yang Terjadi Pada Turap SPP Kantilever Tanah Asli	63
Gambar 5.5	Diagram Interaksi Penulangan Turap <i>Bored Pile</i> Kantilever Tanah Asli	65
Gambar 5.6	<i>Displacement</i> Butiran Tanah Yang Terjadi Pada Turap <i>Bored Pile</i> Kantilever Tanah Asli.....	69
Gambar 5.7	Diagram Tegangan dan Tekanan Tanah Lateral Turap Kantilever Kondisi <i>Behaving Like Sand</i>	75
Gambar 5.8	<i>Displacement</i> Butiran Tanah Yang Terjadi Pada Turap Kantilever SPP <i>Behaving Like Sand</i>	79

Gambar 5.9	Diagram Interaksi Penulangan Turap <i>Bored Pile</i> Kantilever Tanah <i>Behaving Like Sand</i>	81	
Gambar 5.10	<i>Displacement</i> Butiran Tanah Yang Terjadi Pada Turap Kantilever <i>Bored Pile Behaving Like Sand</i>	85
Gambar 5.11	Diagram Tegangan dan Tekanan Tanah Lateral Turap Berangkur Kondisi Tanah Asli	91	
Gambar 5.12	Gaya <i>Tie Back</i> SPP Tanah Asli	95	
Gambar 5.13	Posisi <i>Ground Anchor</i> SPP Tanah Asli.....	96	
Gambar 5.14	Defleksi SPP dengan <i>Ground Anchor</i> Tanah Asli	98
Gambar 5.15	<i>Displacement</i> Butiran Tanah Yang Terjadi Pada SPP Turap Berangkur Tanah Asli	99	
Gambar 5.16	Diagram Interaksi Penulangan Turap <i>Bored Pile</i> Berangkurr Tanah Asli.....	101	
Gambar 5.17	Gaya <i>Tie Back</i> SPP <i>Behaving Like Sand</i>	104	
Gambar 5.18	Posisi <i>Ground Anchor Bored Pile Tanah Asli</i> ..	105	
Gambar 5.19	Defleksi <i>Bored Pile</i> Tanah Asli dengan <i>Ground</i> <i>Anchor</i>	107	
Gambar 5.20	<i>Displacement</i> Butiran Tanah Yang Terjadi Pada <i>Bored Pile</i> Turap Berangkur Tanah Asli.....	108	
Gambar 5.21	Diagram Tegangan dan Tekanan Tanah Lateral Turap Berangkur Kondisi <i>Behaving Like Sand</i> 114		
Gambar 5.22	Gaya <i>Tie Back</i> SPP <i>Behaving Like Sand</i>	118	
Gambar 5.23	Posisi <i>Ground Anchor</i> SPP <i>Behaving Like Sand</i>	119
Gambar 5.24	Defleksi SPP <i>Behaving Like Sand</i> dengan <i>Ground</i> <i>Anchor</i>	121	
Gambar 5.25	<i>Displacement</i> Butiran Tanah Yang Terjadi Pada SPP Turap Berangkur Tanah Asli	122	

Gambar 5.26	Diagram Interaksi Penulangan Turap <i>Bored Pile</i> Berangkurr Tanah <i>Behaving Like Sand</i>	124
Gambar 5.27	Gaya <i>Tie Back Bored Pile Behaving Like Sand</i>	126
Gambar 5.28	Posisi <i>Ground Anchor Bored Pile Behaving Like Sand</i>	128
Gambar 5.29	Defleksi <i>Bored Pile Behaving Like Sand</i> dengan <i>Ground Anchor</i>	130
Gambar 5.30	<i>Displacement</i> Butiran Tanah Yang Terjadi Pada <i>Bored Pile</i> Turap Berangkur <i>Behaving Like Sand</i>	131

DAFTAR LAMPIRAN

Lampiran 1	Data Tanah	143
Lampiran 2	Data Spesifikasi Bahan.....	144
Lampiran 3	Analisa Harga Bahan.....	152
Lampiran 4	Hasil Gambar Perencanaan	159
Lampiran 5	Lembar Asistensi Tugas	165

“Halaman ini sengaja dikosongkan”

BAB I

PENDAHULUAN

1.1 Latar Belakang

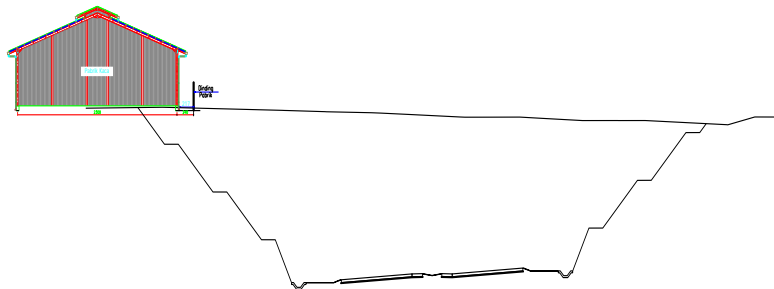
Jalan tol merupakan jalan bebas hambatan yang bertujuan untuk mempersingkat jarak dan waktu tempuh dari satu tempat ke tempat lain. Saat ini perkembangannya begitu pesat seiring meningkatnya jumlah kendaraan dan aktifitas transportasi. Perkembangan ini ditanggapi positif oleh pemerintah dengan dibangunnya akses-akses jalan tol baru untuk menghubungkan kota-kota di Indonesia melalui jalur darat.

Surabaya dan Malang merupakan dua kota besar yang berada di Jawa Timur. Jalur transportasi kedua kota tersebut sangat penting karena merupakan salah satu urat nadi kehidupan sosial, pendidikan dan ekonomi bagi Jawa Timur. Pada April 2012 dilakukan pembangunan jalan Tol Pandaan – Gempol sepanjang 13,61 km sebagai kelanjutan dari ruas jalan Tol Surabaya – Porong dan Porong – Gempol yang akan terhubung dengan jalan Tol Pandaan – Malang. Jalan tol Gempol Pandaan ini merupakan ruas jalan tol yang menghubungkan Surabaya dan Malang. Jalur ini terletak di Kabupaten Pasuruan, Jawa Timur. Secara topografis letak jalan tol berada pada daerah perbukitan yang mengakibatkan adanya pekerjaan galian untuk memenuhi kebutuhan perencanaan jalan yang tidak terlalu terjal.

Pada stasining Sta 6+518 s/d 5+575 terdapat galian sedalam 18 meter dengan desain lereng bersusun pada samping badan jalan untuk menghindari kelongsoran. Namun pada salah satu sisi desain lereng bersusun tidak dapat dilakukan karena terbatasnya lahan akibat adanya bangunan eksisting milik pabrik kaca seperti yang terlihat pada Gambar 1.1 dan Gambar 1.2. Karena pembebasan lahan milik pabrik kaca terlalu mahal, maka pada sisi ini digunakan galian tegak. Lapisan tanah di lokasi relatif padat/keras sehingga tidak dapat digunakan perkuatan tanah dari *Prestressed Concrete* (PC).



Gambar 1.1 Layout Perencanaan, Ruas Jalan Tol Gempol - Pandaan Sta 6+518 s/d Sta 6+575



Gambar 1.2 Potongan Melintang Ruas Jalan Tol Gempol - Pandaan Sta 6+518 s/d Sta 6+575

Untuk menanggulangi permasalahan tersebut, diperlukan suatu kontruksi yang mempunyai fungsi sebagai perkuatan untuk menahan tanah galian tegak sedalam 18 m dari kelongsoran yang efektif dan ekonomis. Dalam hal ini akan dianalisis stabilitas lereng tegak dengan perkuatan turap / *retaining wall* untuk menahan lereng tegak dari keruntuhan akibat massa tanah dan

bangunan diatasnya. Ada dua macam kondisi pada perencanaan perkuatan tanah ini yaitu perencanaan perkuatan dengan mengguakan data tanah asli dan perencanaan perkuatan menggunakan data tanah yang dianggap sebagai pasir (*behaving like sand*). Hal ini dikarenakan pada lokasi yang tidak jauh dari pabrik terjadi kelongsoran walaupun tanah disekitar lokasi tersebut relatif padat/keras.

Sebelumnya Sianipar (2016) telah melakukan perencanaan dilokasi yang sama dengan perkuatan *soldier pile* dengan material *bored pile*. Dalam perenencanaanya perhitungan turap dilakukan dengan mengasumsikan tanah *behaving like sand* dan dikontrol menggunakan metode cerucuk.

Tugas akhir ini mencoba untuk melakukan perencanaan perkuatan galian tegak menggunakan metode konvensional yang dikombinasikan dengan PLAXIS untuk memberikan alternatif perencanaan sebagai solusi untuk mengatasi stabilitas galian, keterbatasan lahan dan biaya pada ruas jalan Tol Gempol – Pandaan Sta 6+518 s/d 5+575. Jenis perkuatan yang akan dijadikan alternatif dalam tugas ini adalah turap / *retaining wall* dengan menggunakan material *bored piles* dan *Stell Pipe Pile* (SPP). Tugas akhir ini juga membahas pemasangan *subdrain* di belakang lereng untuk menjaga agar lereng tetap dalam kondisi kering.

1.2 Perumusan Masalah

Dari uraian di atas, masalah yang harus diselesaikan dalam Tugas Akhir ini adalah merencanakan perkuatan tanah serta *subdrain* dibelakang turap. Pada tugas akhir ini yang akan dibahas :

1. Bagaimana perkuatan turap pada galian dengan menggunakan data tanah asli dengan metode konvensional ?
2. Bagaimana perkuatan turap pada galian dengan menggunakan data tanah asli dengan program bantu PLAXIS ?
3. Bagaimana perkuatan turap pada galian dengan menggunakan data tanah *behaving like sand* dengan metode konvensional ?

4. Bagaimana perkuatan turap pada galian dengan menggunakan data tanah *behaving like sand* dengan program bantu PLAXIS ?
5. Bagaimana perbandingan dari kedua kondisi tanah dasar dan besarnya biaya yang diperlukan?

1.3 Tujuan Perencanaan

Tujuan perhitungan perkuatan galian tegak menggunakan PLAXIS dan metode konvensional pada ruas jalan Gempol – Pandaan Sta 6+518 s/d 6+575 adalah untuk memperoleh alternatif perkuatan galian yang tepat, efisien dan ekonomis agar tidak mengganggu badan jalan dan bangunan disekitarnya.

1.4 Batasan Masalah

Adapun batasan masalah yang akan dibahas pada tugas akhir ini adalah sebagai berikut :

1. Lokasi perencanaan hanya sepanjang pabrik kaca.
2. Tidak menghitung RAB, hanya menghitung kebutuhan bahan dan harga bahan.
3. Tidak membahas stabilitas galian diseberang jalan.
4. Tidak membahas tentang metode pelaksanaan.

1.5 Manfaat Perencanaan

Manfaat yang dapat diperoleh dari perencanaan ini adalah didapat perbandingan keamanan dan kestabilan galian tegak agar tidak terjadi longsor yang diakibatkan beban besar yang berada disekitarnya. Serta didapatkan solusi untuk mengatasi keterbatasan lahan dan perencanaan yang ekonomis.

BAB II

TINJAUAN PUSTAKA

2.1 Korelasi *Standard Penetration Test (SPT)*

Korelasi SPT digunakan pada tugas akhir ini karena data tanah yang didapat adalah hasil dari SPT. Bowles (1983) mengemukakan bahwa ada korelasi antara nilai pukulan (N) pada SPT dengan parameter tanah lainnya, terlihat pada Tabel 2.1 dan Tabel 2.2 dibawah ini:

Tabel 2.1 Korelasi Nilai N pada tanah *Cohesionless*

N	0 - 3	4 - 10	11 - 30	31 - 50	>50
γ (kN/m ³)	-	16 - 25	14 - 18	16 - 20	18 - 23
ϕ	0	25 - 32	28 - 36	30 - 40	>33
State	<i>Very Loose</i>	<i>Loose</i>	<i>Medium</i>	<i>Dense</i>	<i>Very Dense</i>
Dr (%)	0 - 15	15 - 35	35 - 65	65 - 85	85 - 100

Sumber: Bowles (1983)

Tabel 2.2 Korelasi Nilai N pada tanah *Cohesive*

N	< 4	4 - 6	6 - 15	16 - 25	>25
γ (kN/m ³)	14 - 16	16 - 18	16 - 18	16 - 20	18 - 23
q_u (kPa)	< 25	20 - 50	30 - 60	40 - 200	>100
Consistency	<i>Very Soft</i>	<i>Soft</i>	<i>Medium</i>	<i>Stiff</i>	<i>Hard</i>

Sumber: Bowles (1983)

Beberapa tokoh yang mengemukakan tentang korelasi parameter tanah:

1. Meyerhof, korelasi Dr dan ϕ .

$$\phi = 25 + 0.35 \text{ Dr}$$

(jika kandungan pasir dan lanau > 5%)

$$\phi = 35 + 0.15 \text{ Dr}$$

(jika kandungan pasir dan lanau < 5%)

2. Dunham

$$\phi = (12 N)^{0.5} + 25$$
3. Osaki

$$\phi = (20 N)^{0.5} + 15$$
4. Marcusson dan Bieganowky (1977), korelasi N, Dr, ϕ , dan C_u .

$$Dr = 0.086 + 0.0083 (2311 + 222 N - 711 (OCR) - CI \sigma_v)^{0.5}$$

 Dimana:

$$CI : 7.7 \text{ untuk } \sigma_v \text{ kPa dan } 63 \text{ untuk psi units}$$

$$OCR : Over Consolidation = \frac{\sigma_v \text{ terdahulu}}{\sigma_v \text{ sekarang}}$$
5. Fardis dan Venezano (1981), korelasi antara N dan C.

$$\ln N = C_2 + 2.06 \ln Dr + C_3 \ln \sigma_v$$

 Dimana:

$$C_2 : \text{fungsi kedalaman yang ditentukan di lapangan dengan pengukuran N, Dr}$$

$$C_3 : 0.22 \text{ untuk } \sigma_v \text{ dalam kPa dan } 0.442 \text{ untuk psi unit.}$$
6. Schults dan Mezenback (1982), korelasi N dan Dr.

$$\ln Dr = 0.478 \ln N - 0.262 \ln \sigma_v + 2.84$$

 Dimana:

$$\sigma_v : \text{tegangan vertikal tanah efektif dalam bars atau } 100 \text{ kPa}$$
7. Terzaghi dan Peck (1943), korelasi N dan C_u untuk tanah lempung. C_u dalam kPa.
 Untuk lempung plastis : $C_u = 12.5 \text{ N}$
 Untuk lempung berlanau : $C_u = 10 \text{ N}$
 Untuk lempung berpasir : $C_u = 6.7 \text{ N}$

Nilai E (Modulus Young) dapat ditentukan dengan cara menkorelasikan konsistensi tanah dari tiap lapisan dengan tabel yang disajikan berikut ini (Lihat Tabel 2.3).

Tabel 2.3 Nilai Perkiraan Modulus Elastisitas Tanah

Jenis Tanah	Es (kN/m ²)
Lempung	Sangat lunak
	Lunak
	Sedang
	Keras
	Berpasir
Pasir	300 - 3000
	2000 - 4000
	4500 - 9000
Pasir dan kerikil	7000 - 20000
	30000 - 42500
	5000 - 20000
Lanau	10000 - 25000
	Padat
	50000 - 100000
Loses	80000 - 200000
	50000 - 140000
Cadas	2000 - 20000
	15000 - 60000
	140000 - 1400000

Sumber: Bowles (1983)

Poisson Ratio didefinisikan sebagai perbandingan antara regangan lateral dan longitudinal. Tabel 2.4 di bawah ini merupakan Poisson's Ratio untuk beberapa material :

Tabel 2.4 Perkiraan Nilai Poisson's Ratio (Bowles, 1977)

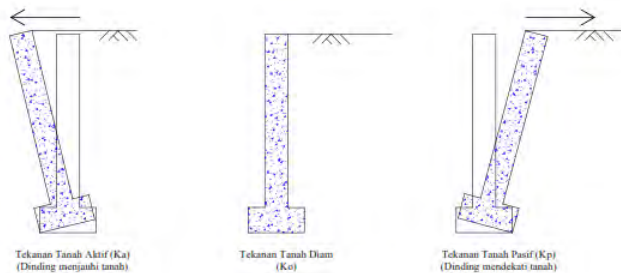
Jenis Tanah	Poisson's Ratio μ
Lempung jenuh	0.40 - 0.50
Lempung tak jenuh	0.10 - 0.30
Lempung berpasir	0.20 - 0.30
Lanau	0.30 - 0.35
Pasir padat	0.20 - 0.40
Pasir kasar	0.15
Pasir halus	0.25
Batu	0.10 - 0.40
Loess	0.10 - 0.30
Beton	0.15

2.2 Tekanan Tanah Lateral

Tekanan Tanah lateral adalah sebuah parameter perencanaan yang penting di dalam sejumlah persoalan teknik pondasi. Dinding penahan dan dinding turap (*sheet pile wall*), galian yang diperkokoh (*braced excavation*) dan galian tidak diperkokoh (*unbraced excavation*), tekanan tanah (*grain pressure*) pada dinding diafragma, dan lain-lain. Semuanya ini memerlukan perkiraan tekanan lateral secara kuantitatif pada pekerjaan konstruksi, baik untuk analisa perencanaan maupun analisa stabilitas (Joseph E. Bowles, 1988). Tekanan tanah lateral dapat dibagi menjadi tiga jenis, yaitu :

- a. Jika dinding tidak bergerak K menjadi koefisien tekanan tanah diam (K_0)
- b. Jika dinding bergerak menekan kearah tanah hingga runtuh, koefisien K mencapai nilai maksimum yang disebut tekanan tanah pasif (K_p)
- c. Jika dinding menjauhi tanah, hingga terjadi keruntuhan, maka nilai K mencapai minimum yang disebut tekanan tanah aktif (K_a)

Pergerakan dari 3 jenis tekanan tanah tersebut dapat dilihat pada Gambar 2.1 seperti yang di bawah ini.



(Sumber: Weber, 2010)

Gambar 2.1 Jenis Tekanan Tanah Berdasarkan Arah Pergerakan Dinding

2.2.1 Menurut Teori Rankine (1987)

Teori Rankine berasumsi bahwa :

- Tidak ada adhesi atau friksi antar dinding dengan tanah (friksi sangat kecil sehingga diabaikan)
- Tekanan lateral terbatas hanya untuk dinding vertical 90°.
- Kelongsoran terjadi sebagai akibat dari pergeseran tanah yang ditentukan oleh sudut geser tanah (ϕ).
- Tekanan lateral bervariasi linier terhadap kedalaman dan resultan tekanan yang berada pada sepertiga tinggi dinding, diukur dari dasar dinding.
- Resultan gaya bersifat pararel terhadap permukaan urugan.

a. Tekanan Tanah Aktif (K_a)

Tekanan tanah aktif (dengan kohesi nol, $C=0$)

Suatu dinding penahan tanah dalam keseimbangan menahan tekanan tanah horizontal, tekanan tanah dapat dievaluasi dengan menggunakan koefisien tekanan tanah K_a . Untuk mendapatkan tekanan tanah horizontal K_a adalah konstanta yang fungsinya mengubah tekanan vertikal tersebut menjadi tekanan horizontal. Oleh karena itu tekanan horizontal dapat dituliskan sebagai berikut :

$$P_a = \frac{1}{2} K_a \gamma H^2 \quad (2.1)$$

Dimana harga K_a

Untuk tanah datar adalah :

$$K_a = \frac{1 - \sin \phi}{1 + \sin \phi} = \tan^2(45 - \frac{\phi}{2}) \quad (2.2)$$

Tekanan tanah aktif berkohesi

Kohesi (kelekatan tanah) mempunyai pengaruh mengurangi tekanan aktif tanah sebesar $2c\sqrt{K_a}$. Jadi dapat dirumuskan menjadi seperti berikut ini :

$$P_a = K_a \gamma H^2 - 2c\sqrt{K_a} \quad (2.3)$$

b. Tekanan Tanah Pasif (K_p) Menurut Rankine

Pada dinding penahan tanah menerima tekanan tanah pasif yang dapat menahan tekanan tanah aktif. Tekanan tanah pasif (K_p) yang besarnya sebagai berikut :

$$K_p = \frac{1-\sin\phi}{1+\sin\phi} = \tan^2(45 + \frac{\phi}{2}) \quad (2.4)$$

Maka tahanan pasif suatu tanah datar tanpa kohesi ($C=0$)

$$P_p = \frac{1}{2} K_p \gamma H^2 \quad (2.5)$$

Tahanan pasif suatu tanah datar dengan kohesi

$$P_p = \frac{1}{2} K_p \gamma H^2 + 2c\sqrt{K_p} \quad (2.6)$$

c. Tekanan Tanah dalam keadaan diam (K_0)

Pada saat dinding penahan tanah dalam keadaan diam, yaitu saat dinding tidak bergerak kesalah satu arah horizontal, maka massa tanah berada dalam keadaan keseimbangan elastis (*elastic equilibrium*). Rasio tekanan arah horizontal dan vertical dinamakan “koefisien tanah dalam keadaan tanah diam (*coefficient of earth pressure at rest*), K_0 , atau

$$K_0 = \frac{\sigma_h}{\sigma_v} \quad (2.7)$$

Karena $\sigma_v = \gamma Z$, maka $\sigma_v = K_0 \gamma Z$

Untuk tanah berbutir, keadaan tanah dalam keadaan diam dapat dihitung oleh hubungan empiris yang diperkenalkan oleh Jaky (1944).

$$K_0 = 1 - \sin\phi \quad (2.8)$$

Brooker dan Jreland (1965) mengemukakan hubungan empiris untuk menghitung K_0 dari tanah lempung yang terkonsolidasi normal

$$K_0 = 0,95 - \sin\phi \quad (2.9)$$

Untuk tanah lempung yang terkonsolidasi normal, persamaan empiris yang lain untuk K_0 juga di kemukakan oleh Alpan (1967):

$$K_0 = 0,19 + 0,223 \text{ Log (PI)} \quad (2.10)$$

Keterangan : PI = Indeks Plastis

2.3 Turap

Turap adalah konstruksi yang dapat menahan tekanan tanah disekelilingnya, mencegah terjadinya kelongsoran dan biasanya terdiri dari dinding turap dan penyangganya. Konstruksi dinding turap terdiri dari beberapa lembaran turap yang dipancangkan ke dalam tanah, serta membentuk formasi dinding menerus vertikal yang berguna untuk menahan timbunan tanah atau tanah yang berlereng.

2.3.1 Fungsi Turap

Fungsi turap adalah :

1. Struktur penahan tanah, misalnya pada tebing jalan raya atau tebing sungai
2. Struktur penahan tanah pada galian
3. Struktur penahan tanah yang berlereng atau curam agar tanah tersebut tidak longsor
4. Konstruksi bangunan yang ringan, saat kondisi tanah kurang mampu untuk mendukung dinding penahan tanah.

2.3.2 Jenis – jenis Turap

Berdasarkan material yang digunakan dikenal beberapa jenis dinding turap, seperti turap kayu, turap beton, atau turap baja. Penentuan jenis material dinding turap bergantung dari penggunaannya.

A. Turap Baja

Turap baja adalah jenis paling umum yang digunakan, baik digunakan untuk bangunan permanen atau sementara karena beberapa sifat-sifatnya sebagai berikut :

1. Turap baja kuat menahan gaya-gaya benturan pada saat pemancangan.
2. Bahan turap relatif tidak begitu berat.
3. Turap dapat digunakan berulang-ulang.
4. Turap baja mempunyai keawetan yang tinggi.
5. Penyambungan mudah, bila kedalaman turap besar.

Biasanya pada setiap pabrik akan disediakan berbagai macam bentuk tipe penampang.



Gambar 2.2 *Steel Pipe Pile*

Secara umum daya dukung tiang *steel pipe* yang berdiri sendiri sebagai berikut :

$$Q_{ult} = Q_e + Q_f - W$$

dimana,

Q_{ult} = kapasitas tiang ultimit/ maksimal

Q_e = kapasitas ujung tiang

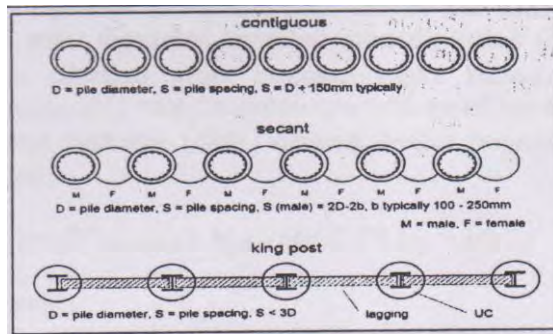
Q_f = kapasitas gesekan tiang

W = berat tiang

B. Turap Beton (Dinding *Bored Pile*)

Pada dasarnya tiang bor atau *bored pile* digunakan untuk mengistilahkan tiang fondasi yang dicor ditempat (*cast in place pile*) dengan cara mengebor lubang kemudian mengecornya dengan beton. Pada umumnya tiang bor berdiameter diatas 750 mm. badan tiang umumnya berdiameter sama atau *straight shaft*

atau terdapat perembesan didasar tiang. *Bored pile* yang memiliki spasi sangat erat dapat digunakan untuk membentuk dinding penahan tanah, bias digunakan untuk pembangunan ruang bawah tanah, atau digunakan dalam metode *cut and cover* suatu terowongan.



Gambar 2.3 Jenis Tiang Bor yang Dipakai untuk Turap

Perhitungan daya dukung *bored pile* didasarkan pada dua hal, yaitu tahanan ujung (*friction bearing capacity*) dan tahanan gesekan tiang (*friction bearing capacity*). Secara umum dirumuskan sebagai berikut:

$$Q_{ult} = Q_e + Q_f$$

dimana,

Q_{ult} = kapasitas tiang ultimit/ maksimal

Q_e = kapasitas ujung tiang

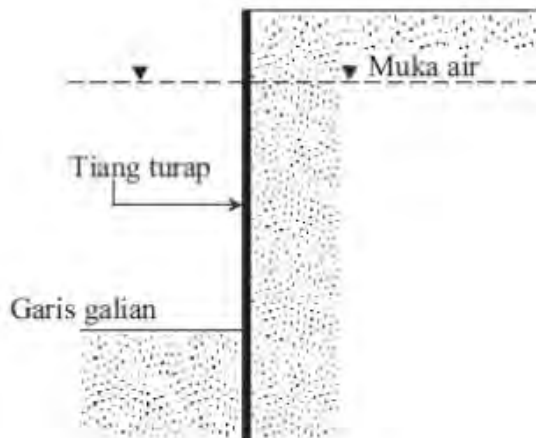
Q_f = kapasitas gesekan tiang

2.3.3 Tipe-tipe Dinding Turap

A. Dinding Turap Kantilever

Dinding turap kantilever merupakan turap yang dalam menahan beban lateral mengandalkan tahanan tanah didepan dinding. Defleksi lateral yang terjadi relatif besar pada pemakaian turap kantilever. Karena luas tampang bahan turap yang

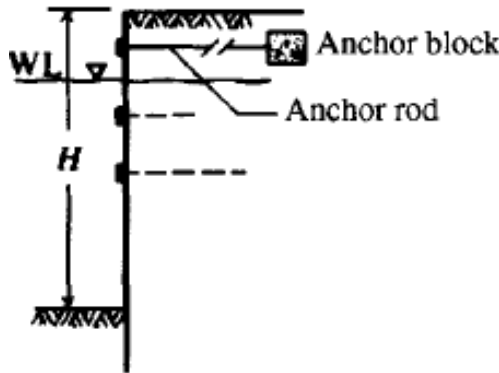
dibutuhkan bertambah besar dengan ketinggian tanah yang ditahan (akibat momen lentur yang timbul). Turap kantilever hanya cocok untuk menahan tanah dengan ketinggian/kedalaman yang sedang.



Gambar 2.4 Dinding Turap Kantilever

B. Dinding Turap Diangker

Dinding turap diangker cocok untuk menahan tebing galian yang dalam, tetapi masih juga bergantung pada kondisi tanah (Gambar 2.5). Dinding turap ini menahan beban lateral dengan mengandalkan tahanan tanah pada bagian turap yang terpanjang ke dalam tanah dengan dibantu oleh angker yang dipasang pada bagian atasnya. Kedalaman turap menembus tanah bergantung pada besarnya tekanan tanah. Untuk dinding turap tinggi, diperlukan turap baja dengan kekuatan tinggi. Stabilitas dan tegangan-tegangan pada turap yang diangker bergantung pada banyak faktor, misalnya: kekakuan relatif bahan turap, kedalaman penetrasi turap, kemudah-mampatan tanah, kuat geser tanah, kelulohan angker dan lain-lainnya.

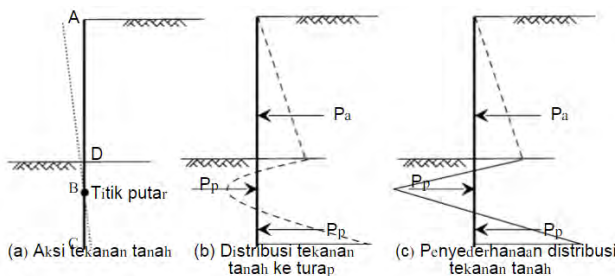


Gambar 2.5 Dinding Turap Diangker
(Sumber: Rowe, 1952)

2.3.4 Perancangan Dinding Turap

A. Prinsip Umum Perangan Turap Kantilever

Perilaku dinding turap kaku sempurna akibat tekanan tanah lateral dibelakangnya dijelaskan dalam Gambar 2.6 (Teng, 1962).



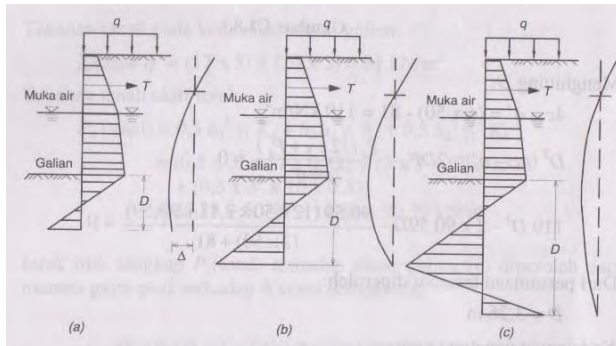
Gambar 2.6 Tekanan Tanah Pada Turap Kantilever
(Teng, 1962)

Akibat tekanan tanah aktif tanah dibelakang turap, turap bergerak ke kiri dan berputar pada titik B (Gambar 2.6 a). Pada kondisi ini, tekanan tanah yang terjadi pada bagian bawah garis galian, yaitu disebelah kiri BD dan di kanan BC akan berupa

tekanan tanah pasif, sedangkan di kiri BC dan kanan BA, bekerja tekanan tanah aktif. Pada titik rotasi B,karena tanah tidak bergerak, maka titik ini akan mendapatkan tekanan tanah yang sama dari depan dan belakang (yaitu tekanan tanah lateral saat diam). Jadi, tekanan tanah lateral pada titik B tersebut akan sama dengan nol. Gambar 2.6 b menunjukan distribusi tekanan tanah neto (tekanan tanah pasif dikurangi tekanan tanah pasif) pada turap, dan Gambar 2.6c adalah penyerdehanaan dari Gambar 2.6 b untuk maksud hitungan stabilitasnya. Distribusi tekanan tanah lateral pada dinding turap tidak sama, bergantung pada jenis tanah, yaitu tanah kohesif atau granuler.

B. Turap Diangker

Untuk menahan beban-beban lateral yang besar, yaitu bila tanah yang ditahan oleh turap sangat tinggi, maka dinding turap diperkuat dengan suatu plat jangkar (*anchor plates*), dinding jangkar (*anchor walls*), atau tiang jangkar (*anchor piles*), yang letaknya dekat dengan puncak turap. Cara dengan perkuatan jangkar ini disebut dengan tiang turap berjangkar (*anchored sheet piling*) atau sekatan berjangkar (*anchored bulkhead*). Jangkar akan mengurangi kedalaman penetrasi yang diperlukan oleh turap dan juga akan mengurangi luas penampang dan berat yang diperlukan dalam konstruksi. Antara turap dan jangkar dihubungkan oleh batang penguat (*tie rods*). Distribusi tekanan pada turap diangker menjadi tidak sama dengan distribusi tekanan dinding turap kantilever. Hubungan antara kedalaman penembusan turap,distribusi tekanan lateral, dan garis perubahan bentuknya diperlihatkan dalam Gambar 2.7.



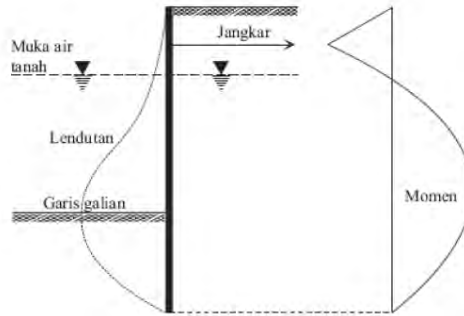
Gambar 2.7 Pengaruh Kedalaman Turap Pada Distribusi Tekanan Dan Perubahan
 (Sumber: Hardiyatmo,2010)

Ada dua metode dasar dalam membangun dinding turap berjangkar:

1. metode ujung bebas
2. metode ujung tetap

1. Metode Ujung Bebas

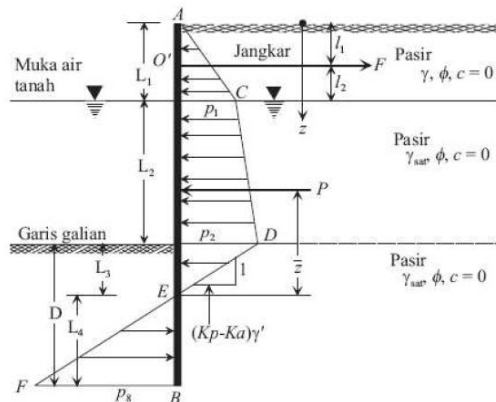
Pada metode ujung bebas (*free end method*) atau disebut juga metode tanah bebas (*free earth method*), kedalaman turap didasar galian dianggap tidak cukup untuk menahan tekanan tanah yang terjadi pada bagian atas dinding turap. Karena itu, keruntuhan terjadi oleh akibat rotasi dinding turap terhadap ujung bawahnya.



Gambar 2.8 Variasi Defleksi Dan Momen Pada Turap Berjangkar Metode *Free Earth Support*

a. Metode *Free Earth Support* pada Pasir

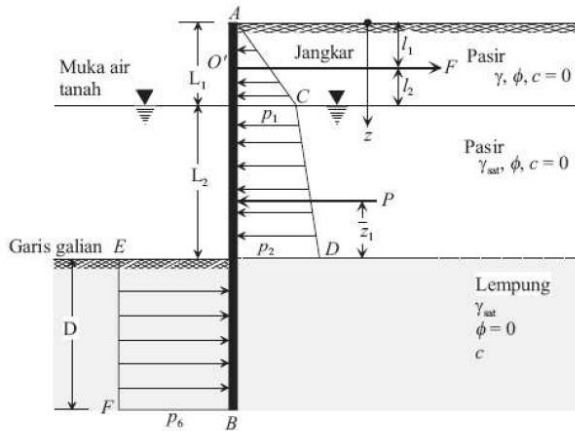
Gambar 2.9 menunjukkan sebuah turap jangkar dengan tanah di belakang turap adalah pasir dan juga tiang turap disorong ke dalam tanah pasir. Batang penguat (*tie rod*) menghubungkan turap dengan jangkar ditempatkan pada kedalaman di bawah puncak turap.



Gambar 2.9 Turap Jangkar Tertanam Pada Pasir

b. Metode *Free Earth Support* pada Lempung

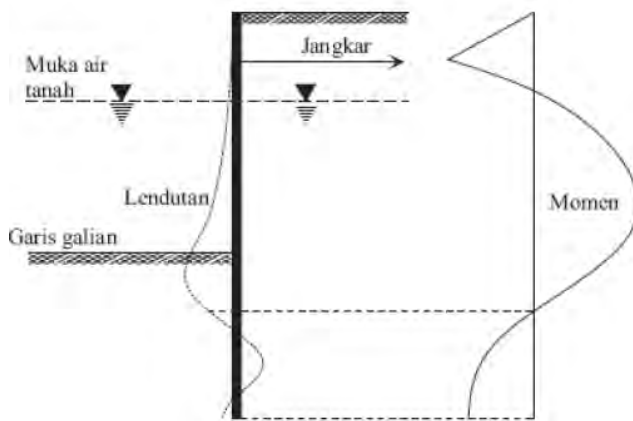
Gambar 2.10 menunjukkan sebuah turap berjangkar yang ditanamkan pada lapisan lempung, sedangkan tanah di belakang turap adalah tanah granular.



Gambar 2.10 Turap Jangkar Tertanam Pada Lempung

2. Metode Ujung Tetap

Metode ujung tetap (*fixed end method*) atau metode tanah tetap (*fixed earth method*) didasarkan pada pertimbangan bahwa kedalaman penetrasi turap sudah cukup dalam, sehingga tanah dibawah dasar galian mampu memberikan tahanan pasif yang cukup untuk mencegah ujung bawah turap berotasi.



Gambar 2.11 Variasi defleksi dan momen pada turap berjangkar metode metode *fixed earth support*

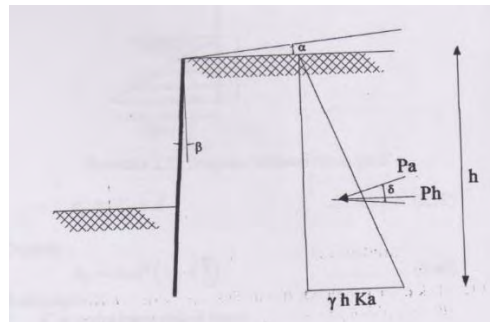
2.3.5 Tekanan Tanah Aktif dan Tekanan Tanah Pasif

Pada perhitungan turap akan digunakan teori dari Coulomb, yang mana menganggap bahwa bidang longsor adalah rata. Gesekan antara dinding dengan tanah dibelakang dinding ikut diperhitungkan. Prinsip umum dari penurunan teori tekanan tanah menurut Coulomb untuk tanah sering tak berkohesi (kekuatan gesernya dinyatakan dengan persamaan $\tau_f = \sigma \tan \Phi$ (Das 1987)

a. Tekanan Tanah Aktif

Tekanan tanah aktif terdiri dari beban vertical yang bekerja dibelakang turap baik berupa beban tambahan (*surcharge*) maupun tekanan horizontal tanah sendiri. Adapun persamaan Tekanan Tanah Aktif adalah sebagai berikut:

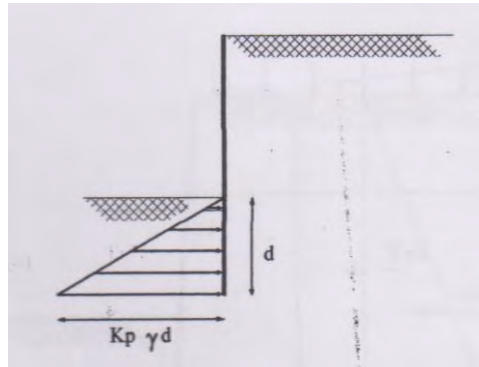
$$\sigma_a = K_a \gamma H \quad (2.19)$$



Gambar 2.12 Tekanan Tanah Padaturap Kantilever (Teng, 1962)

b. Tekanan Tanah Pasif

Tekanan tanah pasif berupa tekanan horizontal tanah pada bagian depan struktur yang terbenam (Gambar 2.13).



Gambar 2.13 Diagram Tekanan Tanah Pasif

$$\sigma_p = K_p \gamma d \quad (2.20)$$

Dimana :

$$K_p = \tan^2 \left(45^\circ + \frac{\phi}{2} \right)$$

Keterangan :

ϕ = sudut geser dalam tanah

γ = berat volume tanah

d = panjang turap yang terbenam tanah

2.3.6 Momen Reduksi Rowe

Turap adalah lentur. Akibat kelenturannya ini, turap akan meleleh (yaitu berpindah secara lateral). Peleahan ini menghasilkan pendistribusian kembali tekanan tanah lateral. Perubahan ini akan cenderung mengurangi momen lentur maksimum. Atas dasar alasan inilah, Rowe (1952, 1957) menggagas sebuah prosedur untuk mereduksi momen maksimum yang diperoleh dari metode free earth support. Bagian berikut ini akan membicarakan prosedur reduksi momen yang diajukan oleh Rowe.

a. Turap pada Pasir

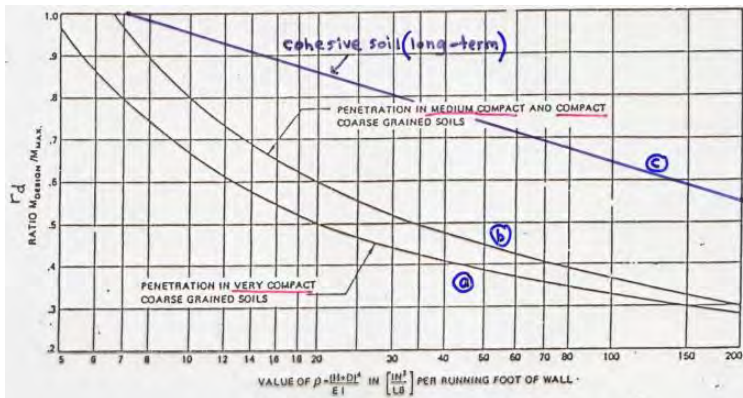
Pada Gambar 2.14, yang berlaku untuk kasus turap yang tertanam di dalam tanah granuler dan tanah kohesif *long-term*, notasi berikut ini akan digunakan:

1. H' = tinggi total tiang (yaitu $H + D_{\text{aktual}}$)
2. Kelenturan relatif (*relatif flexibility*) tiang,

$$\rho = \frac{H'^4}{EI} \quad (2.21)$$

dimana H dalam m, E = modulus Young bahan tiang (MN/m^2) dan I = momen inersia penampang tiang per kaki (*foot*) dinding (m^4/m dinding)

3. M_d = momen rencana
4. M_{\max} = momen maksimum teoritis
dimana H dalam m, E = modulus Young bahan tiang dan I = momen inersia penampang tiang kaki per kaki (*foot*) dinding.



Gambar 2.14 *Moment Reduction Factor for Granular Soil (a & b) and Cohesive Soil in Long-Term (c)*, Rowe & NAVFAC

b. Turap pada Lempung

Momen reduksi untuk turap yang tertanam pada tanah kohesif dapat dihitung dengan menggunakan Gambar 2.15, dengan notasi sebagai berikut:

1. Angka stabilitas (*stability number*) dapat dinyatakan sebagai,

$$S = \frac{c_r}{\gamma H + q_w - \gamma_w h_w} \quad (2.22)$$

dimana, γ = berat volume tanah.

H = tinggi turap diatas *drege level*

q_s = uniform surcharge

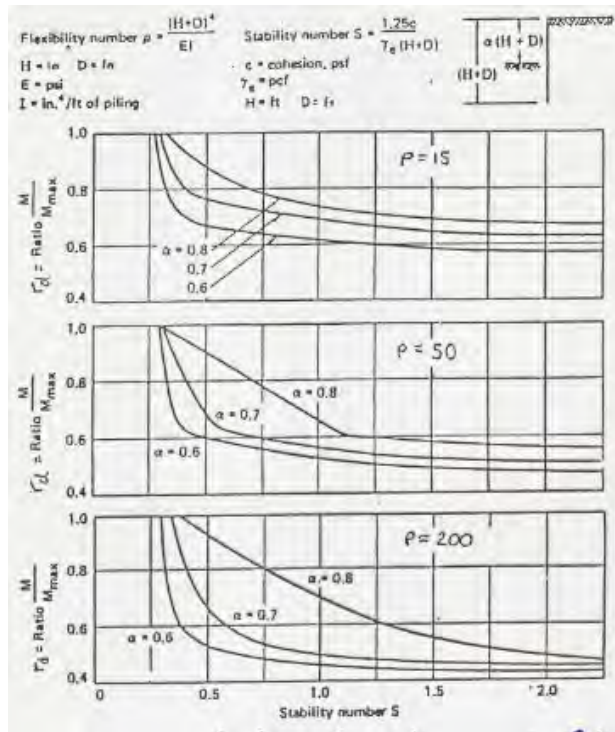
γ = unit weight of water

h_w = tinggi ar didepan dinding

α dinyatakan sebagai,

$$\alpha = \frac{H}{H+D_{\text{aktual}}} \quad (2.23)$$

2. Angka kelenturan (*flexibility number*), [lihat Pers. (2.21)].
3. M_d = momen rencana dan M_{\max} = momen maksimum teoretis.



Gambar 2.15 Moment Reduction Factor For Cohesive Soil (short-term) Rowe & TENG

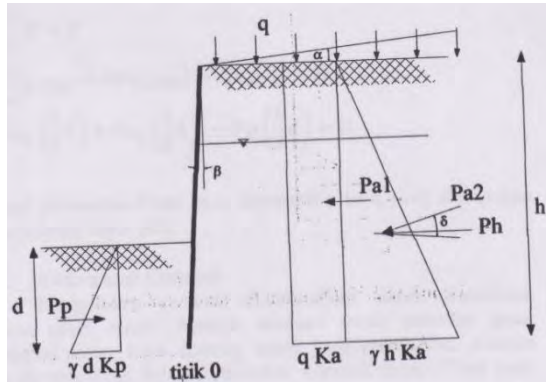
2.3.7 Perhitungan Kedalaman Turap

Distribusi tekanan tanah dan distribusi momen pada turap ditampilkan pada Gambar 2.16. adapun tahapan perhitungan turap adalah sebagai berikut :

- Perhitungan Koefisien Tekanan Tanah

$$K_a = \frac{\cos^2(\phi - \beta)}{\cos^2\beta \cos(\delta + \beta) \left[1 + \sqrt{\frac{\sin(\phi + \delta) \cdot \sin(\phi - \alpha)}{\cos(\delta + \beta) \cdot \cos(\alpha - \beta)}} \right]^2}$$

$$K_p = \tan^2 \left(45 + \frac{\phi}{2} \right)$$



Gambar 2.16 Diagram distribusi tekanan tanah aktif dan pasif

b. Perhitungan Tekanan Tanah

$$\sigma_1 = q K_a$$

$$\sigma_2 = \gamma h K_a \text{ dan}$$

$$\sigma_2 = \gamma d K_p$$

c. Perhitungan Pa dan Pp

$$Pa = q K_a h$$

$$Pa_2 = \frac{1}{2} K_a h^2$$

$$Pp = \frac{1}{2} K_p d^2$$

d. Perhitungan kedalaman Turap

Untuk mendapatkan kedalaman turap yang ditanam (d) harus diperhitungkan momen terhadap titik 0 yang disebabkan oleh Pa maupun Pp.

$$\sum M = 0$$

$$[Mo_{1(pa1)} + Mo_{2(pa2)}] - Mo_{3(pp)} = 0$$

$$[Pa_1 \left(\frac{1}{2} h\right) + Pa_2 \left(\frac{1}{3} h\right)] - Pp \left(\frac{1}{3} d\right) = 0$$

Dari persamaan diatas akan diperoleh nilai d yang merupakan kedalaman sheet pile.

2.3.8 Defleksi Tiang Vertikal

Dalam perancangan fondasi tiang, tiang-tiang tidak diperbolehkan mengalami defleksi lateral terlalu besar. Hal ini, karena jika kemiringan tiang terlalu besar, maka akan membahayakan stabilitas jangka panjang bangunan yang didukungnya. Ketika perpindahan lateral tiang kecil, maka kekuatan tanah masih belum termobilisasi sepenuhnya, sehingga persamaan-persamaan perpindahan tiang ke arah lateral umumnya didasarkan pada elatis.

Untuk menentukan besarnya defleksi tiang yang mendukung beban lateral, perlu diketahui faktor kekakuan tiang, yang dapat ditentukan dengan menghitung faktor-faktor kekakuan R dan T. Faktor-faktor kekakuan tersebut, dipengaruhi oleh kekakuan tiang (EI) dan kompresibilitas tanah yang dinyatakan dalam modulus tanah, K (*soil modulus*) yang tidak konstan untuk sembarang tanah, tapi bergantung pada lebar dan kedalaman tanah yang dibebani.

Jika tanah berupa lempung kaku terkonsolidasi berlebihan (stiff over consolidated clay), modulus tanah umumnya dapat dianggap konstan diseluruh kedalamannya. Faktor kekakuan untuk modulus tanah konstan (R) dinyatakan oleh persamaan :

$$R = \sqrt[4]{\frac{EI}{K}} \quad (2.24)$$

dengan :

$$K = k_h d = k_1 / 1.5 = \text{modulus tanah}$$

$$\begin{aligned} k_1 &= \text{modulus reaksi subgrade dari Terzaghi} \\ &= (\text{tekanan plat/perpindahan horizontal}) \end{aligned}$$

$$E = \text{modulus elastis tiang}$$

$$I = \text{momen inersia tiang}$$

$$d = \text{lebar atau diameter tiang}$$

Faktor kekakuan untuk modulus tanah tidak kostan (T), dinyatakan oleh persamaan :

$$T = \sqrt[5]{\frac{EI}{n_h}} \quad (2.25)$$

dengan modulus tanah :

$$K = n_h z \quad (2.26)$$

dan modulus reaksi subgrade horizontal :

$$k_h = n_h z / d \quad (2.27)$$

Koefisien varisi modulus (n_h) diperoleh terzaghi secara langsung dari uji beban tiang dalam tanah pasir yang terendam air. Nilai-nilai n_h yang disarankan oleh terzaghi ditunjukkan dalam Tabel 2.5. Nilai-nilai n_h yang lain, ditunjukkan dalam Tabel 2.6.

Tabel 2.5 Nilai-nilai n_h untuk tanah granuler ($c = 0$)

Kerapatan relatif (Dr)	Satuan	Tak padat	Sedang	Padat	
Pasir kering atau lembab	kN/m ³	2425	7275	19400	Terzaghi
Pasir terendam air	kN/m ³	1386 5300	4850 16300	11779 34000	Terzaghi Reese dkk

Tabel 2.6 Nilai-nilai n_h untuk tanah kohesif (Poulos dan Davis, 1980)

Tanah	Referensi	n_h (kN/m ³)
Lempung terkonsolidasi normal lunak	Reese dan Matlock (1956)	166-3518
	Davisson-Prakash (1963)	277-554
Lempung terkonsolidasi normal organik	Peck dan Davisson (1962)	111-277
	Davisson (1970)	111-831
Gambut	Davisson (1970)	55
	Wilson dan Hilts (1967)	27,7-111
Loess	Bowles (1968)	8033-11080

Dari nilai-nilai faktor kekakuan R dan T yang telah dihitung, Tomlinson (1977) mengusulkan kriteria tiang kaku atau disebut juga tiang pendek dan tiang tidak kaku/elastis (atau tiang panjang) yang dikaitkan dengan panjang tiang yang tertanam dalam tanah (L), seperti yang ditunjukkan dalam Tabel 2.7. Batasan ini terutama digunakan untuk menghitung defleksi tiang oleh akibat gaya horizontal.

Tabel 2.7 Kriteria tiang kaku dan tiang tidak kaku untuk tiang ujung bebas (Tomlinson, 1977)

Tipe tiang	Modulu tanah (K) bertambah dengan kedalaman	Modulu tanah (K) konstan
Kaku (ujung bebas)	$L \leq 2T$	$L \leq 2R$
Tidak kaku (ujung bebas)	$L \geq 4T$	$L \geq 3,5R$

2.3.8.1 Panjang Jepitan Kritis Tanah Terhadap Tiang Pondasi (D_c)

Kedalaman atau panjang kritis dari tiang pondasi yang harus terjepit di dalam tanah, dapat ditentukan dengan metoda dari PHILIPPONAT seperti dibawah ini :

Kondisi 1 :

Kedalaman minimal penjepitan tanah terhadap tiang pondasi (D_m), didapat dari harga terbesar dari harga-harga berikut :

- Monolayer = 3 m atau $6 \times$ diameter
- Multilayers = 1.5 atau $3 \times$ diameter

(perkecualian : tiang-tiang yang menumpu langsung diatas batuan). Untuk tanah berkohesi, kondisi ini adalah cukup sesuai.

Kondisi 2 :

Kedalaman atau panjang penjepitan tanah yang diperlukan memobilisasi tegangan titik pusat di dasar tang (q_p) didapat dengan peumusan dari FORAY dan PUECH :

$$\frac{D_c}{\sqrt{B}} = 25 \left(1 + \frac{q_p}{10} \right) \quad (2.28)$$

Awas : perumusan tidak homogeny

q_p satunya dalam MPa (dari hasil tes CPT,SPT, dll) B dan D_c dalam cm. perumusan n berlaku untuk harga sudut geser dalam ϕ yang tinggi. Dilain pihak, adanya air tanah dapat menaikkan harga dari D_c .

2.3.8.2 Beban Vertikal Kritis

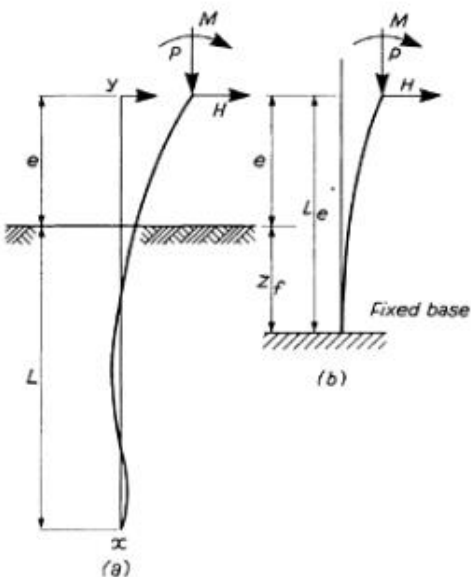
Bila tiang dipasang didalam tanah dengan kepala yang menonjol, hitungan beban vertikal maksimum harus diperhitungkan terhadap tekukan tiang. Ditinjau tiang dengan ujung atas yang menonjol sebesar e dari permukaan tanah. Tiang tersebut dibebani dengan beban horizontal H dan beban vertikal Q , dan dianggap terjepit di dalam tanah dengan kedalaman z_f . Beban tekuk tiang kritis dapat dihitung dengan cara menghitung lebih dulu faktor-faktor kekakuan R dan T untuk memperoleh panjang ekivalen (z_f) dari tiang ujung bebas. Kedalaman z_f dihitung dengan cara sebagai berikut :

- Untuk tanah yang mempunyai modulus *subgrade* konstan :

$$z_f = 1.4R \text{ (untuk } I_{\max} = L/R > 4) \quad (2.29)$$

- Untuk tanah yang mempunyai modulus *subgrade* yang bertambah secara linier dengan kedalamannya :

$$z_f = 1.4T \text{ (untuk } I_{\max} = L/T > 4) \quad (2.30)$$



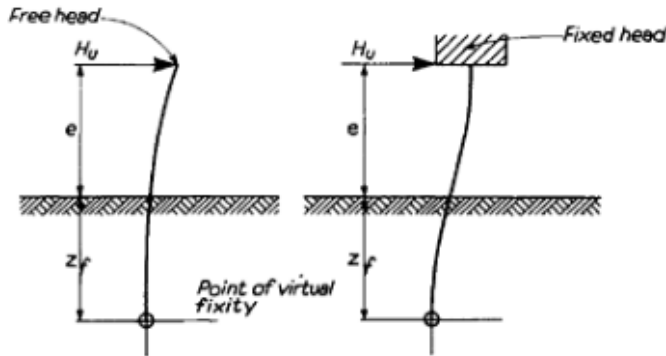
Gambar 2.17 Perlengkungan tiang panjang yang mendukung beban vertikal dan horizontal di kepala tiang (Tomlinson, 1977)

- (a) Tiang dipasang seagian tertanam dalam tanah
- (b) Panjang tiang ekivalen

2.3.8.3 Metode Tomlinson

Metode ini tiang dianggap sebagai struktur kantilever yang dijepit pada kedalaman z_f dengan memperlihatkan Gambar 2.18 defleksi lateral di kepala tiang bebas dinyatakan oleh persamaan (Tomlinson 1977) :

$$y = \frac{H(e + z_f)^3}{3 E_p I_p} \quad (2.31)$$



Gambar 2.18 Tiang Mengalami Beban Lateral H (Tomlison, 1977)

Defleksi lateral ujung tiang dalam ujung jepit,

$$y = \frac{H (e + z_f)^3}{12 E_p I_p} \quad (2.32)$$

dengan,

H = beban lateral (kN)

E_p = modulus elastis tiang (kN/m^2)

I_p = momen inersia dari penampang tiang (m^4)

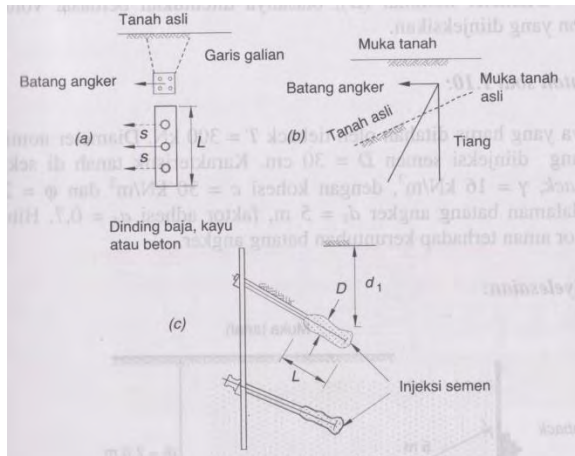
e = jarak beban terhadap muka tanah (kN/m^2)

z_f = jarak titik jepit dari muka tanah (m)

2.4 Blok Angker

Blok angker yang juga disebut “*dead man*”, dapat dibuat dari beton bertulang. Blok angker umumnya berpenampang bujursangkar dan dengan panjang tertentu (Gambar 2.19a). Pengangkeran juga dapat dilakukan dengan membuat sistem kelompok tiang pancang yang dirancang kuat menahan gaya lateral (Gambar 2.19b). Selain itu, struktur tie back juga sering digunakan sebagai angker (Gambar 2.19c). Tie back banyak digunakan untuk penahan tanah pada galian dalam. Tie back sebenarnya suatu

bentuk tiang yang dipasang miring dengan sudut sekitar $15 - 25^\circ$ terhadap horizontal. Tie back ini dibuat dengan mengebor tanah, dengan diameter sekitar $15 - 37,5$ cm. batang angker yang diujungnya dipasang pelat dimasukkan lubang bor. Setelah itu, campuran pasir semen diinjeksikan kedalam lubang sehingga membentuk semacam tiang miring dengan diameter sesuai dengan diameter lubang yang dibuat. Hanya sebagian lubang bor yang diinjeksi dengan semen dan bagian yang tidak diinjeksi ini memungkinkan terjadi elongasi bila ditarik, sehingga saat angker ditarik, terjadi semacam tulangan prategang.



Gambar 2.19 Macam-Macam Cara Pengangkeran
(Sumber : Hardiyatmo, 2010)

Tahanan tie-back (Bowles,1996):

$$Tu = \pi DL(\gamma d_2 K \operatorname{tg} \delta + c_a) \quad (2.33)$$

dengan,

D = diameter nominal yang diinjeksi semen (m)

L = panjang bagian angker yang diselimuti semen (m)

γ = berat volume tanah (kN/m^3)

$K = \text{koefisien tekanan tanah lateral } (K_a < K < K_o)$

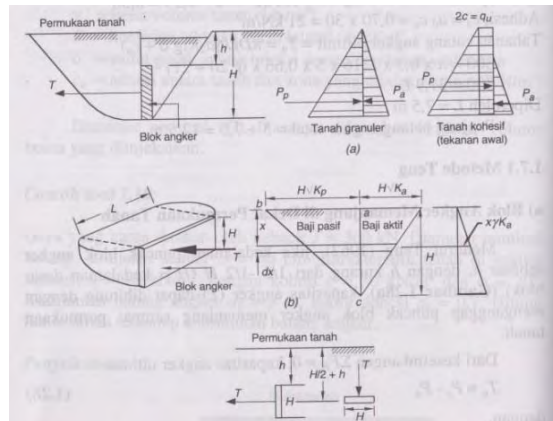
$\delta = \text{sudut gesek antara injeksi semen dan tanah sekitarnya}$

$c_a = \text{adhesi antara tanah dan zona yang diinjeksi semen } (\text{kN/m}^2)$

Diameter nominal (D), biasanya ditentukan berdasarkan volume beton yang diinjeksi.

2.4.1 Blok Angker Memanjang di Dekat Permukaan Tanah

Gambar 2.20b memperlihatkan blok angker dangkal dengan panjang L yang didukung gaya angker T . Pengamatan-pengamatan dalam pengujian menunjukkan bahwa saat keruntuhan terjadi, tanah yang terangkat lebih panjang dari panjang blok angker.



Gambar 2.20 Kapasitas Blok Angker
(sumber : Hardiyatmo, 2010)

Teng (1962) mengusulkan persamaan untuk menghitung kapasitas ultimit blok angker dangkal sebagai berikut :

Untuk tanah granuler (pasir) :

$$T \leq T_u \quad (2.34a)$$

$$T_u = L(P_p - P_a) + 1/3 K_o \gamma (\sqrt{K_p} + (\sqrt{K_a}) H^3 \tan \phi) \quad (2.34b)$$

Untuk tanah kohesif (lempung jenuh) :

$$T \leq T_u \quad (2.34c)$$

$$T_u = L(P_p - P_a) + 2cH^2 \quad (2.34d)$$

dengan c = kohesi tanah.

Faktor aman terhadap keruntuhan blok angker :

$$F = T_u/T$$

dengan ,

T = Gaya tarik angker (kN)

T_u = gaya tahan angker ultimit (kN)

L = panjang balok angker (m)

P_a, P_p = tekanan tanah aktif dan pasif total

K_o = koefisien tekanan tanah saat diam
(K_o dapat diambil = 0,4)

γ = berat volume tanah (kN/m³)

K_p, K_a = koefisien tekanan tanah pasif dan aktif

H = kedalaman dasar blok angker terhadap
permukaan tanah (m)

ϕ = sudut gesek dalam tanah (derajat)

2.4.2 Metode Bowles

Bowles (1996) menyarankan persamaan umum untuk menentukan tahanan blok angker beton dengan tampang berbentuk bujursangkar. Dengan memperhatikan gaya-gaya tekanan tanah aktif, pasif, gaya-gaya geser pada blok angker (Gambar 2.21), faktor aman terhadap keruntuhan blok angker dihitung dengan menggunakan persamaan berikut:

$$F = \frac{F_R}{F_{ar}} \quad (2.35a)$$

$$F_R = L(P_p' + S_a + S_b - P_a') \quad (2.35b)$$

Tahanan geser yang bekerja dibagian atas blok angker :

$$S_a = (q + \gamma d_2) \operatorname{tg} \delta + c_a B \quad (2.35c)$$

Tahanan geser yang bekerja dibagian bawah blok angker :

$$S_b = (q + \gamma d_2 + \gamma_c H) \operatorname{tg} \delta + c_a B \quad (2.35d)$$

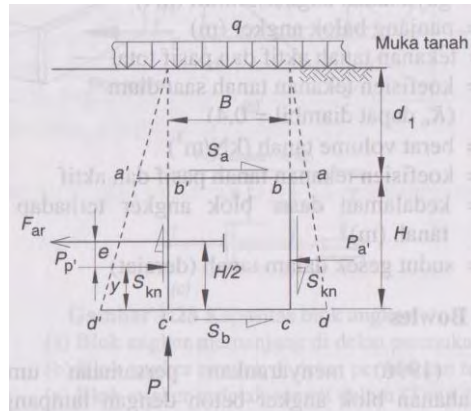
Tekanan tanah aktif dan pasif yang dinyatakan oleh garis:

$$ab = d_1 \gamma K_a$$

$$cd = (H+d_1) \gamma K_a$$

$$a'b' = d_1 \gamma K_p$$

$$c'd' = (H+d_1) \gamma K_p$$



Gambar 2.21 Gaya-Gaya Pada Blok Angker (Bowles, 1996)

Tahanan geser yang bekerja dibagian atas blok angker :

$$P_a' = \frac{1}{2} H(ab + cd) + qK_a = \frac{1}{2} \gamma K_a H(H + 2d_1) + qK_a \quad (2.36a)$$

$$P_p' = \frac{1}{2} H(a'b' + c'd') + qK_p = \frac{1}{2} \gamma K_p H(H + 2d_1) + qK_p \quad (2.36b)$$

dengan,

F = faktor aman (diambil 1,2 – 1,5)

d_2 = kedalaman bagian atas blok angker

L = panjang blok angker

H = tinggi blok angker

D = sudut gesek antara bahan blok angker dan tanah

B = lebar blok angker

c_a = adhesi antara blok angker dan tanah

q = beban terbagi rata dipermukaan tanah

P_p' = tekanan tanah pasif total pada luas diagram $a'b'c'd'$

P_a = tekanan tanah aktif total pada luas diagram $abcd$

Gaya vertical di kaki depan blok angker (titik c') dihitung dengan

$\Sigma M_{P_p} = 0$:

$$BLP' + BL S_{kn} + (H-y)LS_a = F_{ar}e + yLS_b \\ P' = \frac{F_{ar}e}{BL} + \frac{yS_b}{B} - \frac{(H-y)S_a}{B} - S_{kn} \quad (2.37)$$

Syarat,

$$P' < (q + \gamma d_1) \quad (2.38)$$

dengan,

F_{ar} = gaya angker total memperlihatkan jarak angker (kN)

S_{kn}, S_{kr} = gaya gesek di sisi kanan dan kiri blok angker (kN)

S_{kn} = $P_a' \operatorname{tg} \delta$ (kN)

q = beban terbagi rata di permukaan tanah (kN/m^2)

d_1 = jarak bagian atas blok angker terhadap muka tanah (m)

γ = berat volume tanah di atas permukaan blok angker (kN/m^3)

2.4.3 Blok Angker Pada Kedalaman Besar

Kapasitas angker ultimit untuk blok angker yang dalam ($h > H$) (Gambar 2.20 C) secara pendekatan sama dengan kapasitas dukung fondasi yang dasarnya terletak pada kedalaman $\frac{1}{2}$ dari kedalaman blok angker (Terzaghi, 1943).

2.4.4 Letak Angker

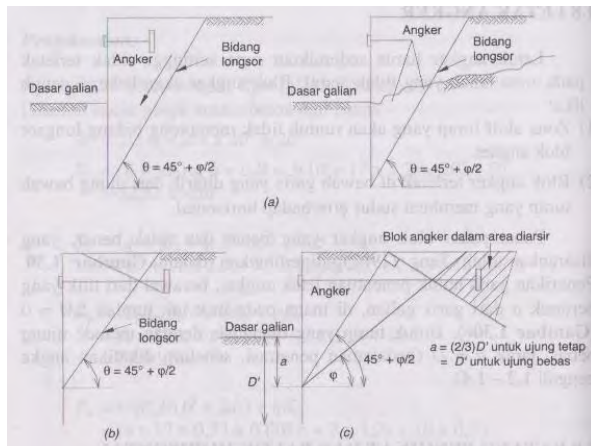
Letak angker harus sedemikian rupa sehingga tidak terletak pada zona tanah yang tidak stabil. Blok angker akan bekerja penuh jika :

1. Zona aktif turap yang akan runtuh tidak memotong bidang longsor blok angker.
2. Blok angker terletak di bawah garis yang ditarik dari ujung bawah turap yang membuat sudut ϕ terhadap horizontal.

Penempatan blok angker yang benar dan tidak benar, disarankan oleh Teng (1962), diperlihatkan dalam Gambar 2.22. Penarikan garis untuk penentuan letak angker, berawal dari titik yang berjarak a dari garis galian, dimana pada titik ini, jumlah $\Sigma M = 0$ bebas, jarak $a = D$ (kedalaman penetrasi, sebelum dikalikan angka pengali 1,2 – 1,4).

2.4.5 Batang Pengikat dan Balok Horizontal

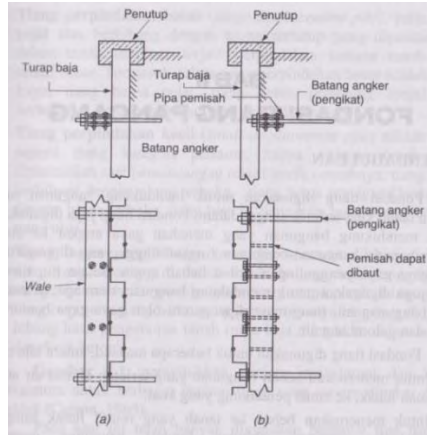
Dalam suatu sistem turap diangker, balok horizontal yang disebut *wale* adalah balok yang berfungsi menahan gaya horizontal turap, dan sekaligus menjaga agar turap dalam menahan gaya lateral bekerja secara bersama-sama (Gambar 2.23). Gaya lateral ke turap, oleh *wale* ditransfer ke angker melalui batang pengikat. Pada umumnya *wale* merupakan sepasang besi profil U yang dipasang horizontal. Gambar 2.23 menunjukkan pemasangan *wale* diluar permukaan turap dan didalam permukaan turap. Blok angker yang dihitungkan dengan batang pengikat dengan *wale*, dapat berbentuk bulat atau persegi yang dibuat dari baja. Apabila batang pengikat dipasang tegak lurus terhadap turap, maka *wale* murni menahan momen, sedang batang pengikat umumnya batang yang menahan tarik.



Gambar 2.22 Penempatan Angker

Jika terdapat lapisan tanah lunak dibawah batang pengikat blok angker, akibat beban tanah urug, tanah lunak ini akan berkonsolidasi, sehingga terjadi penurunan. Penurunan kecil saja akan berakibat mengeliminasi hal ini, maka batang pengikat perlu didukung tiang-tiang pada interval 6-10 m. tiang-tiang harus

dipancang sampai lapisan tanah kuat dibawah lapisan tanah lunak tersebut.



Gambar 2.23 Pemasangan Batang Pengikat (*Tie Rod*) Dan Balok Horizontal (*Wale*)

2.5 PLAXIS

PLAXIS adalah sebuah paket program yang disusun berdasarkan metode elemen hingga yang telah dikembangkan secara khusus untuk melakukan analisa deformasi dan stabilitas dalam bidang Geoteknik. Prosedur pembuatan model secara grafis yang mudah memungkinkan pembuatan suatu model elemen hingga yang rumit dapat dilakukan dengan cepat, sedangkan berbagai fasilitas yang tersedia dapat digunakan untuk menampilkan hasil komputasi secara mendetail. Proses perhitungannya sendiri sepenuhnya berjalan secara otomatis dan didasarkan pada prosedur numerik.

Rasio dari kekuatan tanah yang tersedia terhadap kekuatan minimum yang dihitung untuk mencapai keseimbangan adalah faktor keamanan yang secara konvensional digunakan dalam

Mekanika Tanah. Dengan menerapkan kondisi standar dari Coulomb, faktor keamanan dapat diperoleh dengan persamaan:

$$SF = \frac{c_{ult} + \sigma_n \tan \phi_{ult}}{c_{all} + \sigma_n \tan \phi_{all}} \quad (2.39)$$

Dimana :

SF = Fator Keamanan

σ_n = Tegangan Normal

C_{all} = kohesi yang diijinkan

C_{ult} = kohesi yang tersedia

ϕ_{all} = sudut geser dalam yang diijinkan

ϕ_{ult} = sudut geser dalam yang tersedia

Prinsip di atas adalah dasar dari metode ϕ/c reduction yang digunakan dalam PLAXIS untuk menghitung faktor keamanan global. Dengan pendekatan ini, parameter tanah c dan $\tan \phi$ direduksi dengan proporsi yang sama. Reduksi parameter kekuatan diatur oleh faktor pengali total ΣMsf . Parameter ini akan ditingkatkan secara bertahap hingga keruntuhan terjadi. Faktor keamanan kemudian didefinisikan sebagai nilai ΣMsf saat keruntuhan terjadi, hanya jika saat keruntuhan terjadi suatu nilai yang kurang lebih konstan telah diperoleh untuk beberapa langkah pembebahan secara berturut-turut. Adapun penentuan faktor keamanan dalam PLAXIS secara matematis dapat dinyatakan dengan:

$$\Sigma Msf = \frac{c_{ult}}{c_r} = \frac{\tan \phi_{ult}}{\tan \phi_r} \quad (2.40)$$

Dimana :

ΣMsf = faktor keamanan pada PLAXIS

c_{ult} = kohesi yang tersedia

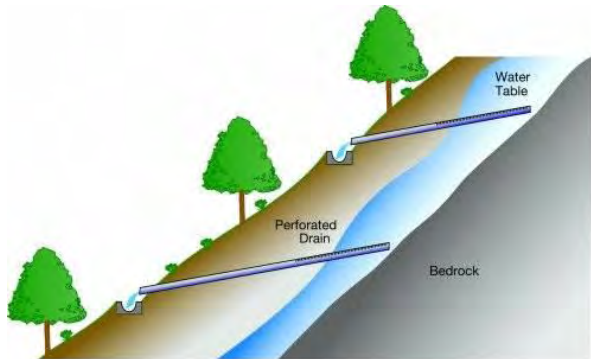
ϕ_{ult} = sudut geser dalam tersedia

c_r = kohesi tereduksi

ϕ_r = sudut geser dalam tereduksi

2.6 Saluran Bawah Permukaan pada Lereng (*Subdrain*)

Saluran bawah permukaan (*subdrain*) berfungsi untuk mengeringkan lahan agar tidak terjadi genangan air apabila terjadi hujan. Gambar 2.24 merupakan contoh saluran bawah permukaan pada lereng.



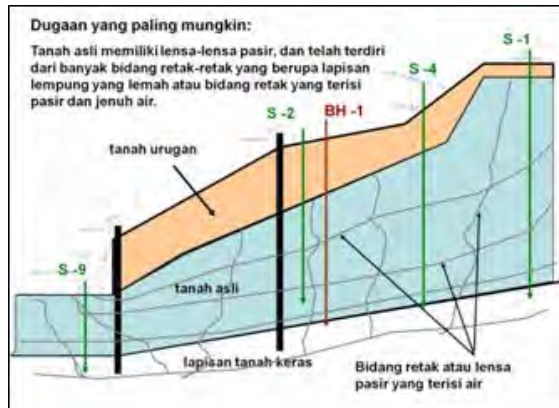
Gambar 2.24 Saluran Bawah Pada Permukaan Lereng

2.7 Tanah *Behaving Like Sand*

Behaving like sand adalah asumsi yang digunakan untuk sifat tanah yang menyerupai *sand* (pasir). Asumsi ini digunakan untuk tanah yang perilakunya tidak sesuai dengan sifat tanah aslinya. Hal itu dikarenakan air yang mengalir dilapisan tanah membawa partikel kecil yang dapat mengisi rongga-rongga yang berada pada tanah. Proses itu berlaku secara terus menerus hingga partikel kecil memenuhi rongga pada tanah. Akibatnya daya lekat antar tanah terganggu dan tanah berperilaku seolah-olah seperti pasir murni yang tidak mempunyai nilai kohesi.

Berdasarkan pengalaman di lapangan dengan banyak kasus kelongsoran serupa di Kalimantan, kondisi ini memperkuat dugaan bahwa lapisan tanah-tanah tersebut sudah mengalami keretakan-keretakan awal yang merupakan kondisi bawaan asli tanah tersebut, dan lapisan-lapisan tanah tersebut tidak sepenuhnya

menyatu (*intact*), seperti pada Gambar 2.25 Hal ini sesuai dengan hasil temuan dan dugaan oleh Mochtar (2012).



Gambar 2.25 Keretakan Tanah

Keretakan-keretakan awal tersebut diduga oleh Mochtar (2012) pada saat hujan terisi oleh air (air hujan), dan adanya air hujan yang mengalir ke dalam keretakan tersebut lambat laun meninggalkan deposit berupa bahan-bahan tanah pasir (umumnya didominir pasir halus), karena fraksi tanah lanau dan lempung yang lebih halus terbawa oleh air hujan tersebut. Air hujan ini kemudian mengalir ke tempat yang lebih rendah melalui rangkaian keretakan dalam tanah yang sudah terbentuk.

Dengan adanya lapisan butiran pasir halus yang tertinggal di dalam bidang keretakan di dalam tanah tersebut, dan ditambah lagi dengan kondisi bidang keretakan tanah yang mudah terisi air, ke dua hal tersebut memudahkan terjadinya keruntuhan geser sliding (Mochtar,2012), terutama pada saat hujan lebat. Pada saat hujan lebat, diduga oleh Mochtar (2012) semua bidang keretakan terisi penuh dengan air (hujan), terjadi penumpukan tegangan air di dalam celah keretakan di dalam tanah (terjadi *pore pressure build up*), sehingga menyebabkan gaya dorongan yang sangat besar terhadap masa tanah di lereng yang ditinjau. Pada saat hujan

kurang lebat, diduga keretakan tersebut tidak sampai penuh terisi air, karena air hujan yang masuk ke dalam bidang-bidang keretakan dapat segera mengalir ke luar di tempat-tempat yang lebih rendah, sehingga tidak terjadi penumpukan tegangan air tanah (tidak terjadi *pore pressure build up*).

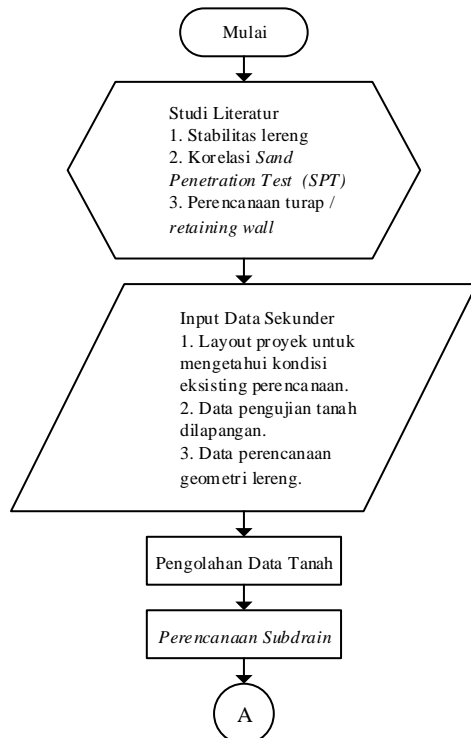
Pada banyak lereng tanah, keruntuhan geser tersebut umumnya tidak segera terjadi pada awal umur konstruksi lereng tersebut, karena kemungkinan keretakan-keretakan tersebut pada awalnya masih berada dekat permukaan tanah saja. Kemudian dengan berjalaninya waktu, dan setelah beberapa kali hujan lebat, keretakan tersebut juga berkali-kali terisi penuh air hujan. Kemudian diduga keretakan tersebut lambat-laun mulai menjalar ke bawah sehingga pada suatu saat kondisi kritis lereng terhadap bahaya kelongsoran sliding sudah dilewati dan terjadilah kelongsoran terutama sekali pada saat (atau segera setelah) terjadinya hujan lebat.

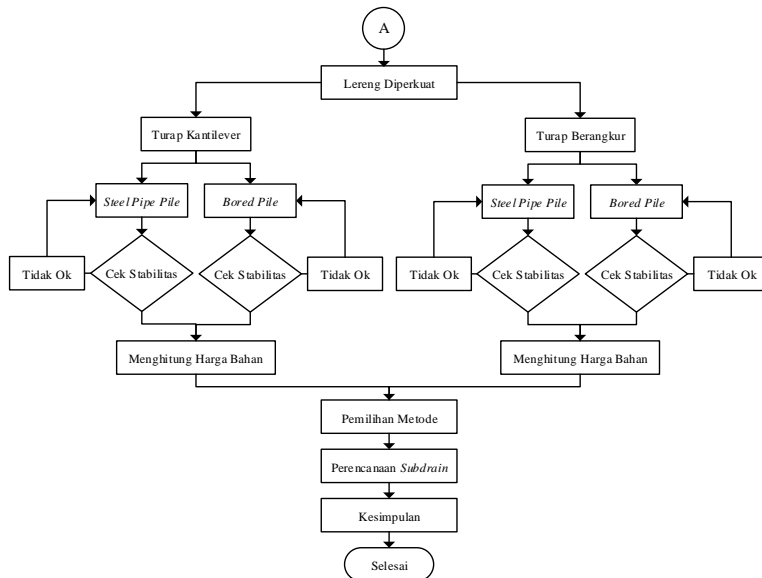
Berdasarkan kondisi tanah yang retak dan juga kemungkinan pada bidang-bidang keretakan hanya tertinggal lapisan fraksi tanah pasir halus (fraksi tanah yang lebih halus seperti lanau dan lempung sudah terbilas oleh adanya aliran rembesan air hujan di dalam bidang-bidang keretakan tersebut), dalam kondisi seperti ini kekuatan geser tanah yang terjadi pada bidang-bidang keretakan di dalam tanah harus di asumsikan sebagai pergeseran pada lapisan tanah pasir. Jadi, desain penanggulangan kelongsoran ini harus dilakukan berdasarkan asumsi bahwa tanah tersebut bersifat menyerupai tanah pasir (“*behaving like sand*”), walaupun tanah aslinya sebetulnya tanah dominan lempung.

BAB III METODOLOGI

3.1 Bagan Alir

Bab ini menerangkan langkah-langkah yang akan dilakukan dalam mengerjakan perencanaan tugas akhir ini. Pada Gambar 3.1 berikut adalah diagram alir dalam tugas akhir perencanaan alternatif turap/ *retaining wall* pada pembangunan jalan Tol Gempol – Pandaan Sta 6+518 s/d 6+575.





Gambar 3.1 Diagram Alir Tugas Akhir

3.2 Studi Literatur

Studi literature dilakukan dengan membaca dan mengambil intisari dari buku-buku referensi yang berhubungan dengan perencanaan ini adalah sebagai berikut :

1. Teori stabilitas lereng
2. Teori korelasi *Sand Penetration Test (SPT)*
3. Teori perencanaan turap / *retaining wall*

3.3 Pengumpulan Data

Data-data yang digunakan dalam perencanaan ini adalah data sekunder yang didapat dari instansi terkait atau survey dari pihak lain. Data tersebut meliputi :

1. Layout proyek untuk mengetahui kondisi eksisting perencanaan.
2. Data pengujian tanah dilapangan.
3. Data perencanaan geometri lereng.

3.4 Pengolahan Data Tanah

Data pengujian tanah meliputi pengujian SPT diagram. Data ini digunakan untuk mengetahui jenis tanah di lokasi studi, dimana nantinya akan menjadi faktor pengaruh dari perencanaan turap / *retaining wall*.

3.5 Perencanaan Saluran Bawah Permukaan (*Subdrain*)

Untuk menjaga muka air tanah tidak naik setinggi lereng, digunakan subdrain dilereng untuk mempercepat penurunan muka air tanah.

3.6 Perencanaan Turap

Merencanakan alternatif perkuatan turap / *retaining wall* dengan menentukan karakteristik dari turap, mengetahui panjang turap yang diperlukan, profil turap, dan material bahan yang digunakan. Kemudian turap tersebut dianalisa stabilitas terhadap gaya, momen, dan nilai faktor keamanan.

3.7 Analisa Perbandingan Biaya

Analisa perbandingan biaya kedua alternatif yang ada, ditinjau dari jumlah material yang digunakan dalam perencanaan, tetapi tidak memperhitungkan proses pelaksanaan dilapangan karena dianggap sama.

3.8 Kesimpulan

Langkah ini berisi kesimpulan dari kedua metode alternatif perencanaan dan saran pemilihan metode perencanaan pada proyek pembangunan jalan Tol Gempol – Pandaan Sta 6+518 s/d 6+575.

“Halaman ini sengaja dikosongkan”

BAB IV

DATA DAN ANALISA

4.1 Data Tanah

4.1.1 Lokasi Pengambilan Data Tanah

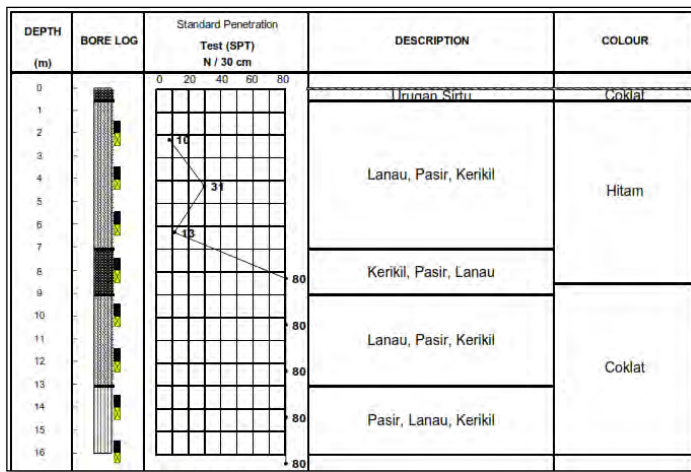
Data tanah yang digunakan adalah hasil penyelidikan tanah berupa *Standard Penetration Test* (SPT) yang terletak di lokasi rencana pembangunan Tol Pandaan – Gempol Kabupaten Pasuruan Jawa Timur. Titik penyelidikan tanah tepat berada di belakang bangunan eksisting milik pabrik kaca seperti yang terlihat pada Gambar 4.1.



Gambar 4.1 Lokasi Pengambilan Data

4.1.2 Data *Standard Penetration Test* (SPT)

Pengambilan/ pembacaan *boring* dan *Standard Penetration Test* (SPT) dimulai dari kedalaman - 1.50 m dari tanah dasar dan pengambilan sampel tanah *undisturbed* SPT diambil pada kedalaman – 3.50 meter hingga – 16.00 meter. Hasil dari pengujian SPT dapat dilihat pada Gambar 4.2. Data tanah ini nantinya akan dipakai untuk menganalisis kondisi lapisan tanah dan parameternya.



Gambar 4.2 Grafik Boring Log

Hasil dari tes SPT dan *boring* yang telah dilakukan, dapat dilihat hasilnya pada Gambar 4.2. Berdasarkan Tabel 2.2 oleh Bowles, pada pembacaan pertama konsistensi tanah adalah *medium* dengan nilai NSPT sebesar 10 dengan hasil *boring* tanah pada pengetesan pertama yaitu lanau, pasir, dan kerikil. Konsistensi tanah meningkat pada pembacaan kedua diikuti dengan naiknya nilai NSPT menjadi 31. Kemudian pada pembacaan selanjutnya kembali berkonsistensi medium karena nilai NSPT turun menjadi 13. Pada pembacaan keempat nilai NSPT meningkat menjadi 80 dan konstan hingga lima kali pembacaan. Hasil boring pada lapisan ini didominasi oleh kerikil, pasir, dan lanau.

4.1.3 Data Tanah Asli

Berdasarkan pengambilan sampel tanah pada tes SPT, dilakukan pengujian laboratorium untuk mengetahui jenis dan karakteristik tanah. Hasil dari pengujian laboratorium dapat dilihat pada Tabel 4.1

Tabel 4.1 Data Tanah Asli

Kedalaman (m)	Ketebalan (m)	NSPT	Jenis Tanah	γ sat kN/m ³	γ' kN/m ³	ϕ	c_u kN/m ²
0 - 3	3	10	Pasir Berlanau	18.98	8.98	16	31
3 - 5	2	31	Pasir Berlanau	18.93	8.93	14	34
5 - 8	3	13	Pasir Berlanau	18.53	8.53	12	38
8 - ~	~	80	Pasir Berlanau	17.56	7.56	22	30

4.1.4 Data Tanah *Behaving Like Sand*

Data tanah yang dianalisa dengan asumsi *behaving like sand* untuk menyesuaikan dengan kondisi di lapangan. Perbedaan tanah asli dengan data tanah *behaving like sand* adalah terdapat pada nilai c dan ϕ . Pada tanah asli, tanahnya sesuai dengan hasil pengeboran dan uji laboratorium, sedangkan pada tanah *behaving like sand* data tanah menyerupai pasir. Dalam kasus ini tanah yang mengalami perubahan hanya sedalam galian yaitu 18 m dari *original ground level*.

Dari asumsi tersebut diambil nilai ϕ sebesar 30° dan nilai kohesi adalah 0. Tanah dianggap bersifat seperti pasir atau dapat dilihat pada Tabel 4.2.

Tabel 4.2. Data Tanah *Behaving Like Sand*

Kedalaman (m)	Ketebalan (m)	NSPT	Jenis Tanah	γ sat kN/m ³	γ' kN/m ³	ϕ	c_u kN/m ²
0 - 3	3	10	Pasir	18.98	8.98	30	0
3 - 5	2	31	Pasir	18.93	8.93	30	0
5 - 8	3	13	Pasir	18.53	8.53	30	0
8 - 18	~	80	Pasir	17.56	7.56	30	0
18 - ~	~	80	Pasir Berlanau	17.56	7.56	22	30

4.1.5 Penentuan Poisson's Ratio (μ)

Poisson Ratio didefinisikan sebagai perbandingan antara regangan lateral dan longitudinal. Tabel 4.5 di bawah ini merupakan Poisson's Ratio untuk beberapa material :

Tabel 4.3 Perkiraan Nilai Poisson's Ratio (Bowles, 1977)

Jenis Tanah	Poisson's Ratio μ
Lempung jenuh	0.40 - 0.50
Lempung tak jenuh	0.10 - 0.30
Lempung berpasir	0.20 - 0.30
Lanau	0.30 - 0.35
Pasir padat	0.20 - 0.40
Pasir kasar	0.15
Pasir halus	0.25
Batu	0.10 - 0.40
Loess	0.10 - 0.30
Beton	0.15

4.1.6 Modulus Elastisitas Tanah (E_s)

Penentuan Modulus Young untuk beberapa jenis tanah ditentukan berdasarkan data tekan, *water content*, kepadatan, dsb seperti Tabel 4.4 dibawah ini :

Tabel 4.4 Perkiraan Modulus Elastisitas tanah (Bowles, 1977)

Jenis Tanah	E_s (kN/m ²)
Lempung	
Sangat lunak	300 - 3000
Lunak	2000 - 4000
Sedang	4500 - 9000
Keras	7000 - 20000
Berpasir	30000 - 42500
Pasir	
Berlanau	5000 - 20000
Tidak padat	10000 - 25000
Padat	50000 - 100000
Pasir dan kerikil	
Padat	80000 - 200000
Tidak padat	50000 - 140000
Lanau	2000 - 20000
Loses	15000 - 60000
Cadas	140000 - 1400000

4.1.7 Rekapitulasi Data Tanah

Berdasarkan hasil penyelidikan tanah yang dilakukan, maka dapat disimpulkan parameter tanah yang dipakai untuk menghitung desain turap seperti terlihat pada Tabel 4.5 dan Tabel 4.6.

Tabel 4.5 Rekapitulasi Data Tanah Asli

Kedalaman (m)	Ketebalan (m)	NSPT	Jenis Tanah	γ sat kN/m ³	γ' kN/m ³	ϕ	c_u kN/m ²	μ	E_s kN/m ²
0 - 3	3	10	Pasir Berlanau	18.98	8.98	16	31	0.3	25000
3 - 5	2	31	Pasir Berlanau	18.93	8.93	14	34	0.3	25000
5 - 8	3	13	Pasir Berlanau	18.53	8.53	12	38	0.3	25000
8 - ~	~	80	Pasir Berlanau	17.56	7.56	22	30	0.3	200000

Tabel 4.6 Rekapitulasi Data Tanah *Behaving Like Sand*

Kedalaman (m)	Ketebalan (m)	NSPT	Jenis Tanah	γ sat kN/m ³	γ' kN/m ³	ϕ	c_u kN/m ²	μ	E_s kN/m ²
0 - 3	3	10	Pasir	18.98	8.98	30	0	0.3	25000
3 - 5	2	31	Pasir	18.93	8.93	30	0	0.3	25000
5 - 8	3	13	Pasir	18.53	8.53	30	0	0.3	25000
8 - 18	~	80	Pasir	17.56	7.56	30	0	0.3	25000
18 - ~	~	80	Pasir Berlanau	17.56	7.56	22	30	0.3	200000

4.2 Data Spesifikasi Bahan

4.2.1 Steel Pipe Pile (SPP)

Steel Pipe Pile (SPP) yang digunakan dalam perencanaan turap adalah ASTM A 252 grade 2. Data spesifikasi dan dimensi bahan dapat dilihat pada lampiran 2.

4.2.2 Bored Pile

Mutu beton yang digunakan dalam perencanaan turap material *bored pile* Tugas Akhir ini adalah K350. Data beton data sebagai berikut :

Spesifikasi beton :

$$\begin{aligned} \text{Mutu beton} &= 350 \text{ kg/cm}^2 \\ f'_c &= \frac{350 \times 0.83}{10} \\ &= 29.05 \text{ Mpa} \end{aligned}$$

Spesifikasi Tulangan
 $F_y = D > 13 = 390 \text{ Mpa}$
 $= D < 13 = 240 \text{ Mpa}$

Tabel 4.7 Dimensi *Bored Pile* yang Digunakan

Diameter	Cover	Tulangan		`Sengkang		Moment of Inertia	Section Modulus
		jumlah	diameter	diameter	jarak		
mm	mm	n	mm	mm	mm	cm^4	cm^3
700	40	22	22	13	200	1558215	21354
900	40	34	22	13	200	4186096	43926
900	40	34	22	13	200	4186096	43926
1200	40	34	36	16	200	14927140	146941

4.2.3 Kabel Tendon

Kabel tendon yang digunakan dalam perencanaan *ground anchor* adalah ASTM A 416/A416M – 06 grade 270. Data spesifikasi dan dimensi bahan dapat dilihat pada lampiran 2.

BAB V

PERENCANAAN

5.1. Analisa Stabilitas Lereng

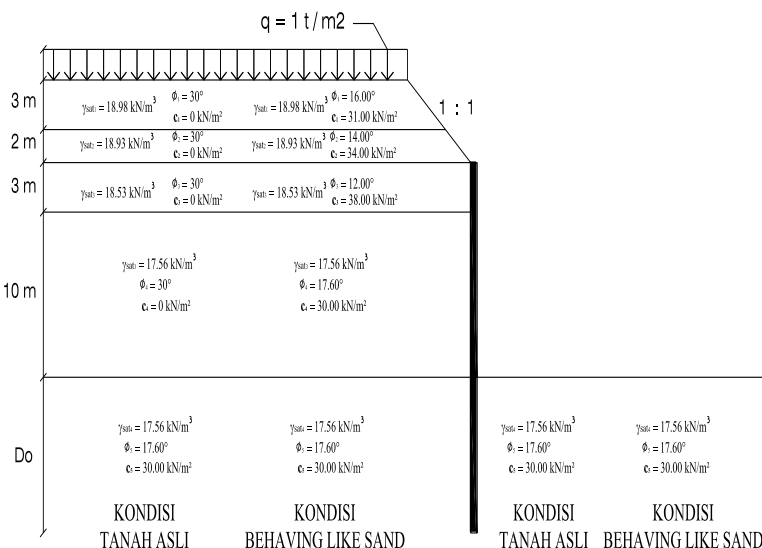
Analisa kestabilan lereng pada tugas akhir ini dilakukan dengan 2 kondisi yaitu :

1. Analisa kestabilan lereng dengan data tanah asli
2. Analisa kestabilan lereng dengan data tanah *behaving like sand*

Analisa kestabilan lereng dilakukan dengan dua kondisi agar dapat dibandingkan kestabilan lereng dengan angka keamanan dari data tersebut.

5.2. Model Geometri Turap/ *Retaining Wall*

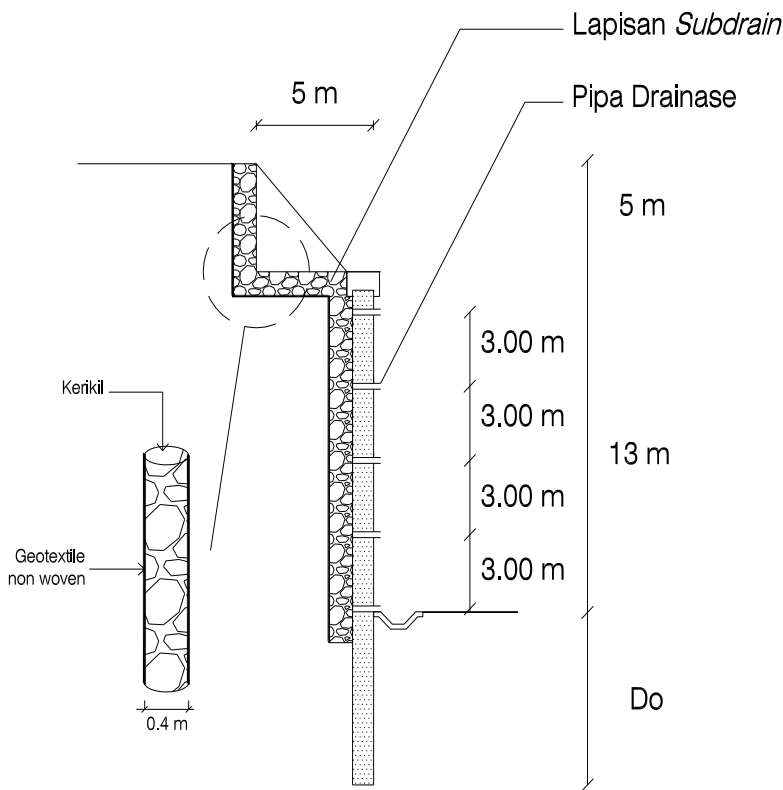
Perencanaan dimulai dengan penggambaran model geometri turap/ *retaining wall* yang dapat dilihat pada Gambar 5.1 .



Gambar 5.1 Perencanaan Geometri Lereng

5.3 Perencanaan *Subdrain* Pada Lereng

Untuk menjaga muka air tanah agar tidak setinggi lereng, maka digunakan *subdrain* untuk mempercepat penurunan muka air tanah. Dalam perencanaan ini *subdrain* berdiameter 0.4 m dengan material dari kerikil dan *geotextile non woven* sebagai pelapis agar butiran tanah tidak menyumbat lapisan *subdrain*. Perencanaan pemasangan *subdrain* dapat dilihat pada Gambar 5.2.



Gambar 5.2 Rencana *Subdrain*

5.4 Perencanaan Turap Kantilever

5.4.1 Tanah Asli

Perencanaan turap dilakukan dengan langkah-langkah sebagai berikut.

1. Perhitungan koefisien tekanan tanah

Koefisien tekanan tanah aktif dan pasif diperoleh dengan menggunakan rumus Rankine yaitu :

a. Koefisien tekanan tanah aktif

$$K_a = \tan^2 \left(45 - \frac{\phi}{2} \right), \text{ dimana :}$$

$$K_{a1} = \tan^2 \left(45 - \frac{\phi}{2} \right)$$

$$\begin{aligned} K_{a1} &= \tan^2 \left(45 - \frac{16}{2} \right) \\ &= 0.57 \end{aligned}$$

b. Koefisien tekanan tanah pasif

$$K_p = \tan^2 \left(45 + \frac{\phi}{2} \right), \text{ dimana :}$$

$$K_{p1} = \tan^2 \left(45 + \frac{\phi}{2} \right)$$

$$\begin{aligned} K_{p1} &= \tan^2 \left(45 + \frac{16}{2} \right) \\ &= 1.76 \end{aligned}$$

Hasil dari perhitungan koefisien tekanan tanah aktif dan koefisien tekanan tanah pasif dapat dilihat pada Tabel 5.1 dibawah ini.

Tabel 5.1 Data Perencanaan Turap Kantilever Tanah Asli

Lapisan Tanah Ke	Ketebalan (m)	γ' kN/m ³	Cu kN/m ²	ϕ	Ka	Kp
1	3	8.98	31	16	0.57	1.76
2	2	8.93	34	14	0.61	1.64
3	3	8.53	38	12	0.66	1.52
4	10	7.56	30	17.6	0.54	1.87
5	D	7.56	30	17.6	0.54	1.87

2. Perhitungan Tegangan Tanah

$$\begin{aligned}
 q &= q + (\gamma'_1 \times h_1) + (\gamma'_2 \times h_2) \\
 &= 10 + (8.98 \times 3) + (8.93 \times 2) \\
 &= 54.79 \text{ kN/m}^2
 \end{aligned}$$

a. Aktif

- Titik 1

$$\begin{aligned}
 \sigma v_1 &= q \\
 &= 54.79 \text{ kN/m}^2
 \end{aligned}$$

$$\begin{aligned}
 \sigma h_1 &= q \times K_a - 2c_3\sqrt{K_a} \\
 &= 54.79 \times 0.66 - 2 \times 38 \times \sqrt{0.66} \\
 &= -25.61 \text{ kN/m}^2
 \end{aligned}$$

- Titik 2 atas

$$\begin{aligned}
 \sigma v_{2a} &= q + (\gamma'_3 \times h_3) \\
 &= 54.79 + (8.53 \times 3) \\
 &= 80.39 \text{ kN/m}^2
 \end{aligned}$$

$$\begin{aligned}
 \sigma h_{2a} &= \sigma v_{2a} \times K_a - 2c_3\sqrt{K_a} \\
 &= 80.39 \times 0.66 - 2 \times 38 \times \sqrt{0.66} \\
 &= -8.83 \text{ kN/m}^2
 \end{aligned}$$

- Titik 2 bawah

$$\begin{aligned}
 \sigma v_{2b} &= q + (\gamma'_3 \times h_3) \\
 &= 54.79 + (8.53 \times 3) \\
 &= 80.39 \text{ kN/m}^2
 \end{aligned}$$

$$\begin{aligned}
 \sigma h_{2b} &= \sigma v_{2b} \times K_a - 2c_4\sqrt{K_a} \\
 &= 80.39 \times 0.54 - 2 \times 30 \times \sqrt{0.54} \\
 &= -0.85 \text{ kN/m}^2
 \end{aligned}$$

- Titik 3 atas

$$\sigma v_{3a} = q + (\gamma'_3 \times h_3) + (\gamma'_4 \times h_4)$$

$$\begin{aligned}
 &= 54.79 + (8.53 \times 3) + (7.56 \times 10) \\
 &= 155.99 \text{ kN/m}^2
 \end{aligned}$$

$$\begin{aligned}
 \sigma h_{3a} &= \sigma v_{3a} \times K_a - 2c_4\sqrt{K_a} \\
 &= 155.99 \times 0.54 - 2 \times 30 \times \sqrt{0.54} \\
 &= 39.64 \text{ kN/m}^2
 \end{aligned}$$

- Titik 3 bawah

$$\begin{aligned}
 \sigma v_{3b} &= q + (\gamma'_3 \times h_3) + (\gamma'_4 \times h_4) \\
 &= 54.79 + (8.53 \times 3) + (7.56 \times 10) \\
 &= 155.99 \text{ kN/m}^2
 \end{aligned}$$

$$\begin{aligned}
 \sigma h_{3b} &= \sigma v_{3b} \times K_a - 2c_5\sqrt{K_a} \\
 &= 155.99 \times 0.54 - 2 \times 30 \times \sqrt{0.54} \\
 &= 39.64 \text{ kN/m}^2
 \end{aligned}$$

- Titik 4

$$\begin{aligned}
 \sigma v_4 &= q + (\gamma'_3 \times h_3) + (\gamma'_4 \times h_4) + (\gamma'_5 \times D_o) \\
 &= 54.79 + (8.53 \times 3) + (7.56 \times 10) + (7.56 \times D_o) \\
 &= (7.56 D_o + 155.99) \text{ kN/m}^2
 \end{aligned}$$

$$\begin{aligned}
 \sigma h_4 &= \sigma v_4 \times K_a - 2c_5\sqrt{K_a} \\
 &= (7.56 D_o + 155.99) \times 0.54 - 2 \times 30 \times \sqrt{0.54} \\
 &= (4.05 D_o + 39.64) \text{ kN/m}^2
 \end{aligned}$$

b. Pasif

- Titik 3 bawah

$$\begin{aligned}
 \sigma v_{3b} &= q \\
 &= 0 \text{ kN/m}^2
 \end{aligned}$$

$$\begin{aligned}
 \sigma h_{3b} &= \sigma v_{3b} \times K_p + 2c_5\sqrt{K_p} \\
 &= 0 \times 0.54 + 2 \times 30 \times \sqrt{0.54} \\
 &= 81.98 \text{ kN/m}^2
 \end{aligned}$$

- Titik 4

$$\begin{aligned}
 \sigma v_4 &= (\gamma' s \times h_5) \\
 &= 7.56 \times D_o \\
 &= 7.56 D_o \text{ kN/m}^2 \\
 \sigma h_4 &= \sigma v_{2a} \times K_p + 2c_s \sqrt{K_p} \\
 &= 7.56 D_o \times 1.87 + 2 \times 30 \times \sqrt{1.87} \\
 &= (14.11 D_o + 81.98) \text{ kN/m}^2
 \end{aligned}$$

3. Perhitungan Tekanan Tanah Aktif dan Pasif

$$\frac{h_c}{10-h_c} = \frac{0.85}{39.64}$$

$$39.64 h_c = 8.5 - 0.85 h_c$$

$$h_c = 0.21 \text{ m}$$

$$10 - h_c = 9.79 \text{ m}$$

$$h_{a1} = 9.79 \text{ m}$$

$$\begin{aligned}
 \text{a. } E_{a1} &= ((\frac{1}{2} \times (q + (\gamma' s \times h_3) + (\gamma' s \times h_4)) \times K_a - 2c_s \sqrt{K_a}) \times \\
 &\quad h_{a1} \\
 &= \frac{1}{2} \times (54.79 + (8.53 \times 3) + (7.56 \times 10)) \times 0.54 - 2 \times \\
 &\quad 30 \times \sqrt{0.54} \times 9.79 \\
 &= 194.04 \text{ kN/m}
 \end{aligned}$$

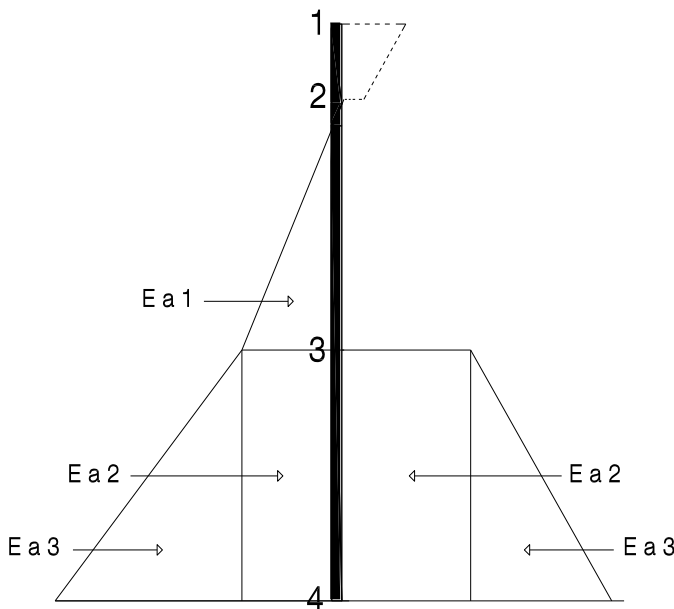
$$\begin{aligned}
 \text{b. } E_{a2} &= ((q + (\gamma' s \times h_3) + (\gamma' s \times h_4)) \times K_a - 2c_s \sqrt{K_a}) \times h_5 \\
 &= (54.79 + (8.53 \times 3)) + (7.56 \times 10) \times 0.54 - 2 \times 30 \times \\
 &\quad \sqrt{0.54} \times D_o \\
 &= 39.64 D_o \text{ kN/m}
 \end{aligned}$$

$$\begin{aligned}
 \text{c. } E_{a3} &= \frac{1}{2} \times (\gamma' s \times D) \times 0.54 \times h_5 \\
 &= \frac{1}{2} \times (7.56 \times D) \times 0.54 \times D_o \\
 &= 2.02 D_o^2 \text{ kN/m}
 \end{aligned}$$

$$\begin{aligned}
 \text{d. } E_{p1} &= (q \times K_p) + 2c_s \sqrt{K_p} \times h_5 \\
 &= (0 \times 1.87) + 2 \times 30 \times \sqrt{1.87} \times D_o \\
 &= 81.98 D_o \text{ kN/m}
 \end{aligned}$$

$$\begin{aligned}
 e. \quad Ep_2 &= \frac{1}{2} \times ((\gamma' s \times h_s) \times K_{p_s} \times h_s \\
 &= \frac{1}{2} \times (7.56 \times D_o) \times 1.87 \times D \\
 &= 7.06 D_o^2 \text{ kN/m}
 \end{aligned}$$

Pada Gambar 5.3 dapat dilihat hasil dari perhitungan tegangan dan tekanan tanah lateral pada turap kantilever pada kondisi tanah asli.



Gambar 5.3 Diagram Tegangan dan Tekanan Tanah Lateral Turap Kantilever Kondisi Tanah Asli

4. Perhitungan Kedalaman Turap

Untuk perhitungan momen yang terjadi pada turap dapat dilihat pada Tabel 5.2 dibawah ini.

Tabel 5.2 Gaya Turap Kantilever Tanah Asli

	Gaya	Jarak ke titik 4	Momen
Tekanan tanah aktif	$Ea_1 = 194.04$	3.26 + Do	$633.2 + 194.04 \text{ Do}$
	$Ea_2 = 39.64 \text{ Do}$	0.50 Do	19.82 Do^2
	$Ea_3 = 2.02 \text{ Do}^2$	0.33 Do	0.67 Do^3
Tekanan tanah pasif	$Ep_1 = 81.98 \text{ Do}$	0.50 Do	40.99 Do^2
	$Ep_2 = 7.06 \text{ Do}^2 + 81.98 \text{ Do}$	0.33 Do	2.35 Do^3

$$\Sigma MDo = 0$$

$$\Sigma MDo = -1.68 \text{ Do}^3 + -21.17 \text{ Do}^2 + 194.04 \text{ Do} + 633.20$$

$$Do = 7.94 \text{ m}$$

$$D = SF \times Do = 1.2 \times 7.94 = 9.53 \approx 10 \text{ m}$$

$$\text{Panjang Total Turap} = D + H = 10 \text{ m} + 13 \text{ m} = 23 \text{ m}$$

5. Perhitungan Momen Maksimum

$$Mx = -1.68x^3 - 21.17x^2 + 194.04x + 633.20$$

$$Mx/Dx = 0$$

$$Mx/Dx = -5.03x^2 - 42.34x + 194.04$$

$$x = 3.30 \text{ m}$$

$$\begin{aligned} M_{\text{maks}} &= -1.68(3.30^3) - 21.17(3.30^2) + 194.04(3.30) + 633.20 \\ &= 982.73 \text{ kNm} \end{aligned}$$

5.4.1.1 Perencanaan SPP (*Steel Pipe Pile*)

Direncanakan profil Steel Pipe Pile ASTM A252 Grade 2 yang dikombinasikan beton dengan data sebagai berikut :

$$\text{Diameter} = 800 \text{ mm}$$

$$\text{Tebal} = 19 \text{ mm}$$

$$E = 200000 \text{ Mpa} = 29007600 \text{ psi}$$

$$\sigma_{\text{allow}} = 24 \text{ kg/mm}^2 = 240000 \text{ kN/m}^2$$

$$I = 356000 \text{ cm}^4 = 8990 \text{ in}^4/\text{ft}$$

$$Z = 8890 \text{ cm}^3$$

1. Reduksi momen Rowe

a. Kelenturan relatif (*relative flexibility*) tiang,

$$\rho = \frac{(H+D)^4}{EI}$$

$$H = 13.0 \text{ m} = 511.81 \text{ in}$$

$$D = 10.0 \text{ m} = 393.70 \text{ in}$$

$$\begin{aligned}\rho &= \frac{(511.81 + 393.70)^4}{29007600 \times 8544} \\ &= 2.71\end{aligned}$$

Berdasarkan dari Gambar 2.14, maka didapatkan nilai rd sebesar 1.

b. Reduksi momen

$$\begin{aligned}\text{Momen design} &= M_{\text{maks}} \times r_d \\ &= 982.73 \text{ kNm} \times 1 \\ &= 982.73 \text{ kNm}\end{aligned}$$

c. Cek penampang profil (*required section modulus*)

$$\begin{aligned}Z_0 &= \frac{M_{\text{design}}}{\sigma_{\text{allow}}} \times 10^6 \\ &= \frac{982.73}{24000} \times 10^6 \\ &= 4094.73 \text{ cm}^3\end{aligned}$$

$$\begin{array}{ccc} Z_0 & \leq & Z \\ 4094.73 \text{ cm}^3 & \leq & 8990 \text{ cm}^3 \dots\dots \text{Ok !} \end{array}$$

Setelah didapatkan dimensi penampang yang memenuhi SPP disikan dengan beton dengan mutu K175 untuk menambah kekakuan dan memperkecil defleksi yang terjadi pada turap. Data SPP yang telah dikompositkan dengan beton adalah sebagai berikut :

$$\begin{aligned} E_m &= 254611141 \text{ KN/m}^2 \\ I_m &= 0.013 \text{ m}^4 \end{aligned}$$

2. Defleksi Turap *SPP*

- a. Perhitungan letak titik jepit (z_f) dari turap

Untuk tanah yang mempunyai modulus subgrade konstan :

$$z_f = 1.8 \text{ T}$$

$$T = \sqrt[5]{\frac{E \cdot P}{n_h}} = \sqrt[5]{\frac{254611141 \times 0.013}{11779}} = 3.09 \text{ m}$$

$$z_f = 1.8 \times 3.09 = 5.56 \text{ m}$$

Sehingga letak titik jepit turap *bored pile* 5.56 m dari ujung turap *bored pile*.

b. Defleksi lateral (y)

Besarnya defleksi horizontal (y) dari tiang vertikal akibat beban lateral dapa dicari dengan persamaan :

$$y = \frac{H(e + z_f)^3}{3EI}$$

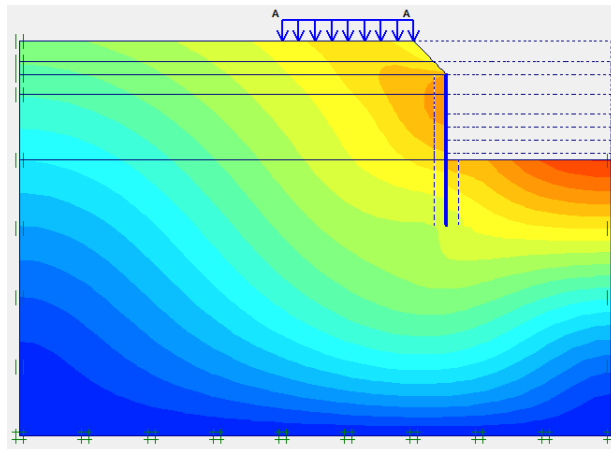
$$e = 3.26 \text{ m}$$

$$H = Ea_1 = 194.04 \text{ kN}$$

$$\begin{aligned} y &= \frac{194.04 (3.26 + 5.56)^3}{3 \times 254611141 \times 0.013} \\ &= 0.013 \text{ m} \end{aligned}$$

3. Hasil Program PLAXIS

Hasil *running* program PLAXIS dapat dilihat pada Gambar 5.4 dibawah ini. Pada Gambar 5.4 dapat dilihat deformasi terbesar yang terjadi ditunjukan pada area gambar yang berwarna kuning gelap.



Gambar 5.4 *Displacement Butiran Tanah Yang Terjadi Pada Turap SPP Kantilever Tanah Asli*

Berdasarkan hasil *running* program PLAXIS terhadap bidang *sliding* yang terjadi, didapatkan nilai *safety factor* sebesar 1.30. Dengan nilai SF =1.30 maka turap dengan material SPP yang berintikan beton aman terhadap kelongsoran.

4. Perencanaan *Capping Beam*

Dalam melakukan Dalam melakukan perencanaan *capping beam* dalam Tugas Akhir ini, *capping beam* hanya berfungsi sebagai pengikat antar tiang turap. Karena pada perencanaan turap perhitungannya menggunakan tiang tunggal, sehingga pada *capping beam* tidak ada momen yang terjadi. Untuk penulangan *capping beam* hanya menggunakan tulangan susut saja perhitungan penulangan sesuai dengan SNI 2847-2013 Pasal 7.12.2.1.

Data perencanaannya sebagai berikut :

$$b = 1.3 \text{ m}$$

$$h = 1.0 \text{ m}$$

$$f_{c'} = 29.05 \text{ MPa}$$

$$\text{Cover} = 40 \text{ mm}$$

$$\text{Diameter tulangan} = 19 \text{ mm}$$

$$d = 1000 - 40 - 13 - 19/2 = 937.5 \text{ mm}$$

$$\rho_{\text{perlu}} = \rho_{\text{minimum}} = 0,0018$$

$$A_{\text{Sperlu}} = 0,0018 \times 1600 \times 937.5 = 2193.75 \text{ mm}^2$$

Maka, digunakan tulangan D19-150

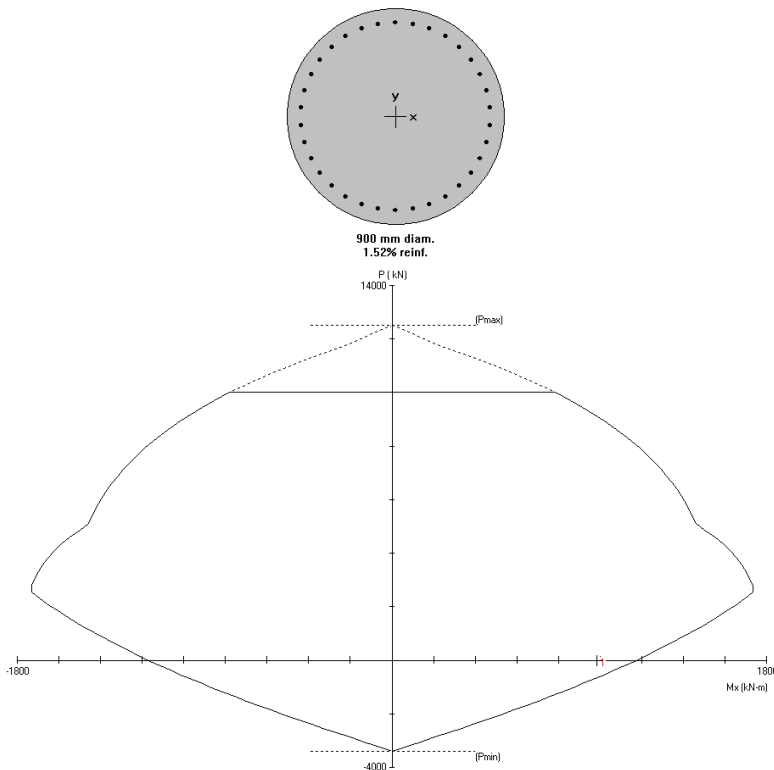
Untuk tulangan bagi dipakai 20% As = 438.75 mm²

Maka, digunakan tulangan D13-250

5.4.1.2 Perencanaan *Bored Pile*

1. Perencanaan Tulangan
- a. Tulangan Utama

Dengan menggunakan program pca Column, direncanakan *bored pile* berukuran 900 mm dengan mutu beton K350 dan mutu tulangan 390 MPa. Direncanakan tulangan utama berdiameter 22 mm dan jumlah tulangan 34. Gambar 5.5 berikut adalah gambar diagram interaksi penulangan dari pca Column.



Gambar 5.5 Diagram Interaksi Penulangan Turap *Bored Pile* Kantilever Tanah Asli

Dari hasil perhitungan didapatkan data *bored pile* sebagai berikut :

$$\text{Diameter} = 900 \text{ mm}$$

$$E_m = 27974.69 \text{ MPa} = 4057393 \text{ psi}$$

$$\sigma_{allow} = 350 \text{ kg/cm}^2 = 35000 \text{ kN/m}^2$$

$$I_{tr} = 3928779 \text{ cm}^4 = 94290.69 \text{ in}^4/\text{ft}$$

$$\phi M_n = 1145.5 \text{ kNm}$$

$$Z = 32729 \text{ cm}^3$$

b. Tulangan Geser

Dipakai pembebanan gaya geser terbesar pada bored pile , dimana $V_u = 194038$ N. Berdasarkan SNI 2847-2013 Pasal 11.1.1 desain penampang yang dikenai geser harus didasarkan pada :

$$\begin{aligned}\phi V_n &\geq V_u \\ V_n &= V_c + V_s \\ V_u &= 194038 \text{ N} \\ V_c &= 0.17 \lambda \sqrt{f'_c} \times \frac{1}{4} \pi D^2 \\ &= 0.17 \times 1 \times \sqrt{29.05} \times \frac{1}{4} \pi 900^2 \\ &= 582903.80 \text{ N}\end{aligned}$$

Direncanakan sengkang spiral D13 dengan jarak 200 mm

$$\begin{aligned}V_s &= \frac{A_v f_y t d}{s} \\ A_v &= 2 \times \frac{1}{4} \pi D^2 \\ &= 2 \times \frac{1}{4} \pi 13^2 \\ &= 265.46 \text{ mm}^2 \\ d &= 900 - 40 - 13 - 0.5 \times 22 = 836 \text{ mm} \\ f_y &= 240 \text{ MPa} \\ V_s &= \frac{265.46 \times 240 \times 836}{200} \\ &= 266314.07 \text{ N} \\ V_n &= 582903.80 \text{ N} + 266314.07 \text{ N} \\ &= 849217.87 \text{ N} \\ \phi V_n &\geq V_u \\ \phi \times 849217.87 \text{ N} &\geq 194038 \text{ N} \\ 636913.40 \text{ N} &\geq 194038 \text{ N} \text{ Ok !}\end{aligned}$$

2. Reduksi momen Rowe

a. Kelenturan relatif (*relative flexibility*) tiang,

$$\rho = \frac{(H+D)^4}{EI}$$

$$\begin{aligned}
 H &= 13.0 \text{ m} = 511.81 \text{ in} \\
 D &= 10.0 \text{ m} = 393.70 \text{ in} \\
 \rho &= \frac{(511.81 + 393.70)^4}{4057393 \times 94291} \\
 &= 1.76
 \end{aligned}$$

Berdasarkan dari Gambar 2.14, maka didapatkan nilai r_d sebesar 1.

b. Reduksi momen

$$\begin{aligned}
 \text{Momen design} &= M_{\text{maks}} \times r_d \\
 &= 982.73 \text{ kNm} \times 1 \\
 &= 982.73 \text{ kNm}
 \end{aligned}$$

c. Cek penampang profil (*required section modulus*)

$$\begin{aligned}
 Z_0 &= \frac{M_{\text{design}}}{\sigma_{\text{allow}}} \times 10^6 \\
 &= \frac{982.73}{35000} \times 10^6 \\
 &= 28078.13 \text{ cm}^3
 \end{aligned}$$

$$\begin{aligned}
 Z_0 &\leq Z \\
 28078.13 \text{ cm}^3 &\leq 32728.57 \text{ cm}^3 \dots\dots \text{Ok!}
 \end{aligned}$$

3. Defleksi Turap *Bored Pile*

a. Perhitungan letak titik jepit (z_f) dari turap

Untuk tanah yang mempunyai modulus subgrade yang bertambah secara linier dengan kedalamannya :

$$z_f = 1.8 T$$

$$T = \sqrt[5]{\frac{E \cdot I}{n_h}} = \sqrt[5]{\frac{27974690 \times 0.039}{11779}} = 2.48 \text{ m}$$

$$z_f = 1.8 \times 2.48 = 4.46 \text{ m}$$

Sehingga letak titik jepit turap *bored pile* 4.46 m dari ujung turap *bored pile*.

4. Perhitungan defleksi turap (y)

Besarnya defleksi horizontal (y) dari tiang vertikal akibat beban lateral dapa dicari dengan persamaan :

$$y = \frac{H(e + z_f)^3}{3EI}$$

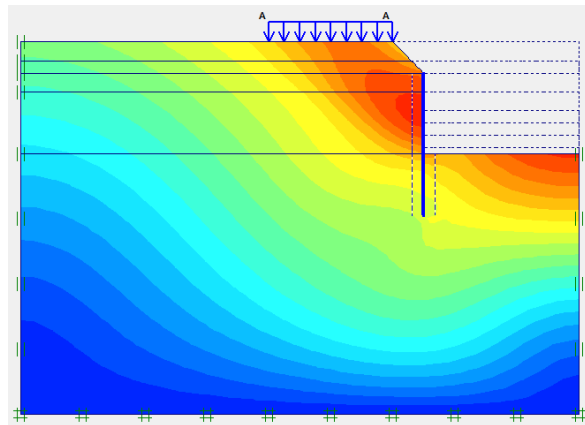
$$e = 3.26 \text{ m}$$

$$H = Ea_1 = 194.04 \text{ kN}$$

$$y = \frac{194.04 (3.26 + 4.46)^3}{3 \times 27974690 \times 0.039} \\ = 0.027 \text{ m}$$

5. Hasil Program PLAXIS

Hasil *running* program PLAXIS dapat dilihat pada Gambar 5.6 dibawah ini. Pada Gambar 5.6 dapat dilihat deformasi terbesar yang terjadi ditunjukan pada area gambar yang berwarna jingga.



Gambar 5.6 *Displacement Butiran Tanah Yang Terjadi Pada Turap Bored Pile Kantilever Tanah Asli*

Berdasarkan hasil *running* program PLAXIS terhadap bidang *sliding* yang terjadi, didapatkan nilai *safety factor* sebesar 1.30. Dengan nilai SF = 1.30 maka turap dengan material *bored pile* aman terhadap kelongsoran.

6. Perencanaan *Capping Beam*

Dalam melakukan perencanaan *capping beam* dalam Tugas Akhir ini, *capping beam* hanya berfungsi sebagai pengikat antar tiang turap. Karena pada perencanaan turap perhitungannya menggunakan tiang tunggal, sehingga pada *capping beam* tidak ada momen yang terjadi. Untuk penulangan *capping beam* hanya menggunakan tulangan susut saja perhitungan penulangan sesuai dengan SNI 2847-2013 Pasal 7.12.2.1.

Data perencanaannya sebagai berikut :

$$\begin{aligned} b &= 1.4 \text{ m} \\ h &= 1.0 \text{ m} \end{aligned}$$

$$f_c' = 29.05 \text{ MPa}$$

$$\text{Cover} = 40 \text{ mm}$$

$$\text{Dimeter tulangan} = 19 \text{ mm}$$

$$d = 1000 - 40 - 13 - 19/2 = 937.5 \text{ mm}$$

$$\rho_{\text{perlu}} = \rho_{\text{minimum}} = 0,0018$$

$$A_s_{\text{perlu}} = 0,0018 \times 1400 \times 937.5 = 2362.5 \text{ mm}^2$$

Maka, digunakan tulangan D19-150

Untuk tulangan bagi dipakai 20% $A_s = 472.5 \text{ mm}^2$

Maka, digunakan tulangan D13-250

5.4.2 Tanah *Behaving Like Sand*

1. Perhitungan koefisien tekanan tanah

Koefisien tekanan tanah aktif dan pasif diperoleh dengan menggunakan rumus Rankine yaitu :

- a. Koefisien tekanan tanah aktif

$$K_a = \tan^2 \left(45 - \frac{\phi}{2} \right), \text{ dimana :}$$

$$K_{a1} = \tan^2 \left(45 - \frac{\phi}{2} \right)$$

$$K_{a1} = \tan^2 \left(45 - \frac{30}{2} \right) \\ = 0.33$$

- b. Koefisien tekanan tanah pasif

$$K_p = \tan^2 \left(45 + \frac{\phi}{2} \right), \text{ dimana :}$$

$$K_{p1} = \tan^2 \left(45 + \frac{\phi}{2} \right)$$

$$K_{p1} = \tan^2 \left(45 + \frac{30}{2} \right) \\ = 3.00$$

Hasil dari perhitungan koefisien tekanan tanah aktif dan koefisien tekanan tanah pasif dapat dilihat pada Tabel 5.3.

Tabel 5.3 Data Perencaaan Turap Kantilever Tanah *Behaving Like Sand*

Lapisan Tanah Ke	Ketebalan (m)	γ' kN/m ³	Cu kN/m ³	ϕ	Ka	Kp
1	3	8.98	0	30	0.33	3.00
2	2	8.93	0	30	0.33	3.00
3	3	8.53	0	30	0.33	3.00
4	10	7.56	0	30	0.33	3.00
5	D	7.56	30	17.6	0.54	1.87

2. Perhitungan Tegangan Tanah

$$\begin{aligned}
 q &= q + (\gamma'_1 \times h_1) + (\gamma'_2 \times h_2) \\
 &= 10 + (8.98 \times 3) + (8.93 \times 2) \\
 &= 54.79 \text{ kN/m}^2
 \end{aligned}$$

a. Aktif

- Titik 1

$$\begin{aligned}
 \sigma v_1 &= q \\
 &= 54.79 \text{ kN/m}^2
 \end{aligned}$$

$$\begin{aligned}
 \sigma h_1 &= q \times K_a \\
 &= 54.79 \times 0.33 \\
 &= 18.26 \text{ kN/m}^2
 \end{aligned}$$

- Titik 2 atas

$$\begin{aligned}
 \sigma v_{2a} &= q + (\gamma'_3 \times h_3) \\
 &= 54.79 + (8.53 \times 3) \\
 &= 80.39 \text{ kN/m}^2
 \end{aligned}$$

$$\begin{aligned}
 \sigma h_{2a} &= \sigma v_{2a} \times K_a \\
 &= 80.39 \times 0.33 \\
 &= 26.80 \text{ kN/m}^2
 \end{aligned}$$

- Titik 2 bawah

$$\begin{aligned}\sigma v_{2b} &= q + (\gamma'_3 \times h_3) \\ &= 54.79 + (8.53 \times 3) \\ &= 80.39 \text{ kN/m}^2\end{aligned}$$

$$\begin{aligned}\sigma h_{2b} &= \sigma v_{2b} \times K_a 4 \\ &= 80.39 \times 0.33 \\ &= 26.80 \text{ kN/m}^2\end{aligned}$$

- Titik 3 atas

$$\begin{aligned}\sigma v_{3a} &= q + (\gamma'_3 \times h_3) + (\gamma'_4 \times h_4) \\ &= 54.79 + (8.53 \times 3) + (7.56 \times 10) \\ &= 155.99 \text{ kN/m}^2\end{aligned}$$

$$\begin{aligned}\sigma h_{3a} &= \sigma v_{3a} \times K_a 4 \\ &= 155.99 \times 0.33 \\ &= 52.00 \text{ kN/m}^2\end{aligned}$$

- Titik 3 bawah

$$\begin{aligned}\sigma v_{3b} &= q + (\gamma'_3 \times h_3) + (\gamma'_4 \times h_4) \\ &= 54.79 + (8.53 \times 3) + (7.56 \times 10) \\ &= 155.99 \text{ kN/m}^2\end{aligned}$$

$$\begin{aligned}\sigma h_{3b} &= \sigma v_{3b} \times K_a 5 - 2c_5 \sqrt{K_a 5} \\ &= 168.79 \times 0.54 - 2 \times 30 \times \sqrt{0.54} \\ &= 39.64 \text{ kN/m}^2\end{aligned}$$

- Titik 4

$$\begin{aligned}\sigma v_4 &= q + (\gamma'_3 \times h_3) + (\gamma'_4 \times h_4) + (\gamma'_5 \times D_o) \\ &= 54.79 + (8.53 \times 3) + (7.56 \times 10) + (7.56 \times D_o) \\ &= (7.56 D_o + 155.99) \text{ kN/m}^2\end{aligned}$$

$$\begin{aligned}
 \sigma h_4 &= \sigma v_4 \times K_a_5 - 2c_5 \sqrt{K_a_5} \\
 &= (7.56 D_o + 155.99) \times 0.54 - 2 \times 30 \times \sqrt{0.54} \\
 &= (4.05 D_o + 39.64) \text{ kN/m}^2
 \end{aligned}$$

b. Pasif

- Titik 3 bawah

$$\begin{aligned}
 \sigma v_{3b} &= q \\
 &= 0 \text{ kN/m}^2
 \end{aligned}$$

$$\begin{aligned}
 \sigma h_{3b} &= \sigma v_{3b} \times K_p_5 + 2c_5 \sqrt{K_p_5} \\
 &= 0 \times 0.54 + 2 \times 30 \times \sqrt{0.54} \\
 &= 81.98 \text{ kN/m}^2
 \end{aligned}$$

- Titik 4

$$\begin{aligned}
 \sigma v_4 &= (\gamma' s \times h_5) \\
 &= 7.56 \times D_o \\
 &= 7.56 D_o \text{ kN/m}^2
 \end{aligned}$$

$$\begin{aligned}
 \sigma h_4 &= \sigma v_{2a} \times K_p_5 + 2c_5 \sqrt{K_p_5} \\
 &= 7.56 D_o \times 1.87 + 2 \times 30 \times \sqrt{1.87} \\
 &= (14.11 D_o + 81.98) \text{ kN/m}^2
 \end{aligned}$$

3. Perhitungan Tekanan Tanah Aktif dan Pasif

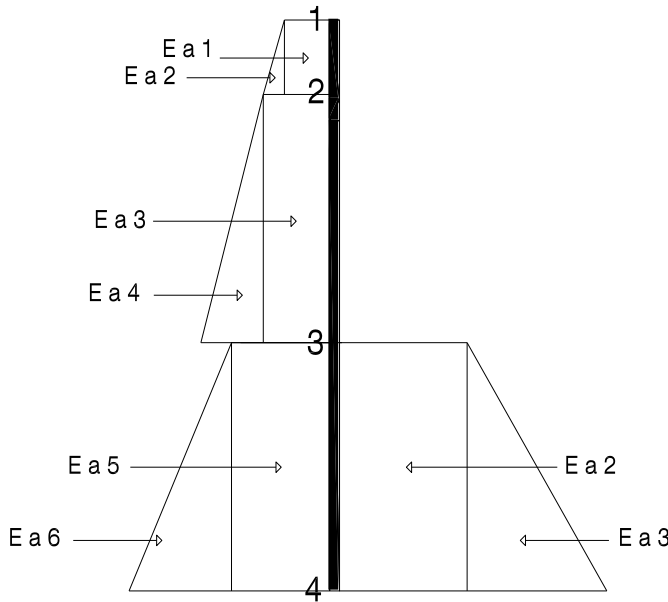
$$\begin{aligned}
 a. \quad E_{a1} &= (q \times K_a_3) \times h_3 \\
 &= 54.79 \times 0.33 \times 3 \\
 &= 54.79 \text{ kN/m}
 \end{aligned}$$

$$\begin{aligned}
 b. \quad E_{a2} &= \frac{1}{2} \times ((\gamma' s \times h_3) \times K_a_3) \times h_3 \\
 &= \frac{1}{2} \times ((8.53 \times 3) \times 0.33) \times 3 \\
 &= 12.80 \text{ kN/m}
 \end{aligned}$$

$$\begin{aligned}
 c. \quad E_{a3} &= (q + (\gamma' s \times h_3)) \times K_a_4 \times h_4 \\
 &= ((54.79 + (8.53 \times 3)) \times 0.33) \times 10 \\
 &= 267.97 \text{ kN/m}
 \end{aligned}$$

- d. $Ea_4 = \frac{1}{2} x ((\gamma'_4 x h_4) x K_{a4}) x h_4$
 $= \frac{1}{2} x ((7.56 x 10) x 0.33) x 10$
 $= 125.99 \text{ kN/m}$
- e. $Ea_5 = ((q + (\gamma'_3 x h_3) + (\gamma'_4 x h_4)) x K_{a5}) -$
 $2c_5\sqrt{K_{a5}} x h_5$
 $= (54.79 + (8.53 x 3)) + (7.56 x 10) x 0.54 - 2 x$
 $30 x \sqrt{0.54} x D_o$
 $= 39.64 D_o \text{ t/m}$
- f. $Ea_6 = \frac{1}{2} x (\gamma'_5 x D) x K_{a5} x h_5$
 $= \frac{1}{2} x (7.56 x D) x 0.54 x D_o$
 $= 2.02 D_o^2 \text{ t/m}$
- g. $Ep_1 = (q x K_{p5}) + 2c_5\sqrt{K_{p5}} x h_5$
 $= (0 x 1.87) + 2 x 30 x \sqrt{1.87} x D_o$
 $= 81.98 D_o \text{ kN/m}$
- h. $Ep_2 = \frac{1}{2} x ((\gamma'_5 x h_5) x K_{p5} x h_5)$
 $= \frac{1}{2} x (7.56 x D_o) x 1.87 x D$
 $= 7.06 D_o^2 \text{ kN/m}$

Pada Gambar 5.7 dapat dilihat hasil dari perhitungan tegangan dan tekanan tanah lateral pada turap kantilever pada kondisi tanah *behaving like sand*.



Gambar 5.7 Diagram Tegangan dan Tekanan Tanah Lateral Turap Kantilever Kondisi *Behaving Like Sand*

4. Perhitungan Kedalaman Turap

Untuk perhitungan momen yang terjadi pada turap dapat dilihat pada Tabel 5.4 dibawah ini.

Tabel 5.4 Gaya Turap Kantilever *Behaving Like Sand*

	Gaya	Jarak ke titik 4	Momen
Tekanan tanah aktif	Ea ₁ = 54.79	11.50 + Do	630.10 + 54.79 Do
	Ea ₂ = 12.80	11.00 + Do	140.79 + 12.80 Do
	Ea ₃ = 267.97	5.00 + Do	1339.83 + 267.97 Do
	Ea ₄ = 125.99	3.33 + Do	419.98 + 125.99 Do
	Ea ₅ = 39.64 Do	0.50 Do	19.82 Do ²
	Ea ₆ = 2.02 Do ²	0.33 Do	0.67 Do ³
Tekanan tanah pasif	Ep ₁ = 81.98 Do	0.50 Do	40.99 Do ²
	Ep ₂ = 7.06 Do ²	0.33 Do	2.35 Do ³

$$\Sigma M_{Do} = 0$$

$$\Sigma M_{Do} = -1.68 D_o^3 - 21.17 D_o^2 + 461.55 D_o + 2530.69$$

$$D_o = 10.20 \text{ m}$$

$$D = SF \times D_o = 1.2 \times 10.20 = 12.24 \approx 13 \text{ m}$$

$$\text{Panjang Total Turap} = D + H = 13 + 13 = 26 \text{ m}$$

5. Perhitungan Momen Maksimum

$$M_x = -1.68x^3 - 21.17x^2 + 461.55x + 2530.69$$

$$M_x/Dx = 0$$

$$M_x/Dx = -5.03x^2 - 42.34x + 461.55$$

$$x = 6.25 \text{ m}$$

$$\begin{aligned} M_{\max} &= -1.68(6.25^3) - 21.17(6.25^2) + 461.55(6.25) + \\ &\quad 2530.69 \\ &= 4178.99 \text{ kNm} \end{aligned}$$

5.4.2.1 Perencanaan SPP (*Steel Pipe Pile*)

Direncanakan profil *Steel Pipe Pile* ASTM A252 Grade 2 yang dikombinasikan beton dengan data SPP sebagai berikut :

$$\text{Diameter} = 1100 \text{ mm}$$

$$\text{Tebal} = 23 \text{ mm}$$

$$E = 200000 \text{ Mpa} = 29007600 \text{ psi}$$

$$\sigma_{allow} = 24 \text{ kg/mm}^2 = 240000 \text{ kN/m}^2$$

$$I = 1130000 \text{ cm}^4 = 27120 \text{ in}^4/\text{ft}$$

$$Z = 20500 \text{ cm}^3$$

1. Reduksi momen Rowe

a. Kelenturan relatif (*relative flexibility*) tiang,

$$\rho = \frac{(H+D)^4}{EI}$$

$$H = 13.0 \text{ m} = 511.81 \text{ in}$$

$$D = 13.0 \text{ m} = 511.81 \text{ in}$$

$$\rho = \frac{(511.81 + 511.81)^4}{29007600 \times 27120} \\ = 1.40$$

Berdasarkan dari Gambar 2.14, maka didapatkan nilai r_d sebesar 1.

b. Reduksi momen

$$\text{Momen design} = M_{\text{maks}} \times r_d \\ = 4178.99 \text{ kNm} \times 1 \\ = 4178.99 \text{ kNm}$$

c. Cek penampang profil (*required section modulus*)

$$Z_0 = \frac{M_{\text{design}}}{\sigma_{\text{allow}}} \times 10^6 \\ = \frac{4178.99}{240000} \times 10^6 \\ = 20358.19 \text{ cm}^3$$

$$Z_0 \leq Z \\ 17412.47 \text{ cm}^3 \leq 20500 \text{ cm}^3 \dots\dots \text{Ok}$$

Setelah didapatkan dimensi penampang yang memenuhi SPP disikan dengan beton dengan mutu K175 untuk menambah kekakuan dan memperkecil defleksi yang terjadi pada turap. Data SPP yang telah dikompositkan dengan beton adalah sebagai berikut :

$$E_m = 273723890 \text{ KN/m}^2 \\ I_m = 0.0719 \text{ m}^4$$

2. Defleksi Turap *SPP*

a. Perhitungan letak titik jepit (z_f) dari turap

Untuk tanah yang mempunyai modulus subgrade konstan :

$$z_f = 1.4 R$$

$$R = \sqrt[4]{\frac{E_m I_m}{K}} = \sqrt[4]{\frac{273723890 \times 0.0719}{1386 \times 13}} = 5.75 \text{ m}$$

$$z_f = 1.4 \times 5.75 = 8.05 \text{ m}$$

Sehingga letak titik jepit turap *bored pile* 8.05 m dari ujung turap *bored pile*.

b. Defleksi lateral (y)

Besarnya defleksi horizontal (y) dari tiang vertikal akibat beban lateral dapat dicari dengan persamaan :

$$y = \frac{H(e + z_f)^3}{3 EI}$$

$$\begin{aligned} e &= \frac{Ea_1.e_1 + Ea_2.e_2 + Ea_3.e_3 + Ea_4.e_4}{Ea_1 + Ea_2 + Ea_3 + Ea_4} \\ &= \frac{54.79 \times 11.50 + 12.80 \times 11.00 + 267.97 \times 5.00 + 125.99 \times 3.33}{54.79 + 12.80 + 267.97 + 125.99} \\ &= 5.48 \text{ m} \end{aligned}$$

$$H = \Sigma E a$$

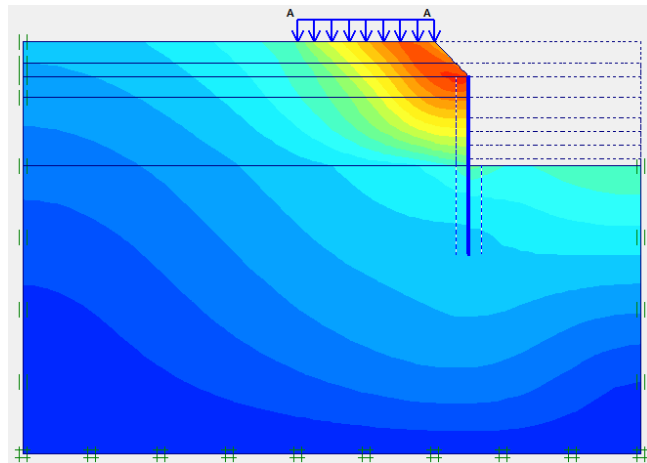
$$= 54.79 + 12.80 + 267.97 + 125.99 = 461.55 \text{ kN}$$

$$y = \frac{461.55 (5.48 + 8.05)^3}{3 \times 273723890 \times 0.0719}$$

$$= 0.019 \text{ m}$$

3. Hasil Program PLAXIS

Hasil *running* program PLAXIS dapat dilihat pada Gambar 5.8 dibawah ini. Pada Gambar 5.8 dapat dilihat deformasi terbesar yang terjadi ditunjukan pada area gambar yang berwarna jingga.



Gambar 5.8 *Displacement Butiran Tanah Yang Terjadi Pada Turap Kantilever SPP Behaving Like Sand*

Berdasarkan hasil *running* program PLAXIS terhadap bidang *sliding* yang terjadi, didapatkan nilai *safety factor* sebesar 1.35. Dengan nilai SF =1.35 maka turap dengan material SPP yang berintikan beton aman terhadap kelongsoran.

4. Perencanaan *Capping Beam*

Dalam melakukan perencanaan *capping beam* dalam Tugas Akhir ini, *capping beam* hanya berfungsi sebagai pengikat antar tiang turap. Karena pada perencanaan turap perhitungannya menggunakan tiang tunggal, sehingga pada *capping beam* tidak ada momen yang terjadi. Untuk penulangan *capping beam* hanya menggunakan tulangan susut saja perhitungan penulangan sesuai dengan SNI 2847-2013 Pasal 7.12.2.1.

Data perencanaannya sebagai berikut :

$$b = 1.6 \text{ m}$$

$$h = 1.0 \text{ m}$$

$$f_{c'} = 29.05 \text{ MPa}$$

$$\text{Cover} = 75 \text{ mm}$$

Dimeter tulangan = 19 mm

$$d = 1000 - 40 - 13 - 19/2 = 937.5 \text{ mm}$$

$$\rho_{\text{perlu}} = \rho_{\text{minimum}} = 0,0018$$

$$A_s_{\text{perlu}} = 0,0018 \times 1600 \times 937.5 = 2700 \text{ mm}^2$$

Maka, digunakan tulangan D19-150

Untuk tulangan bagi dipakai 20% As = 540 mm²

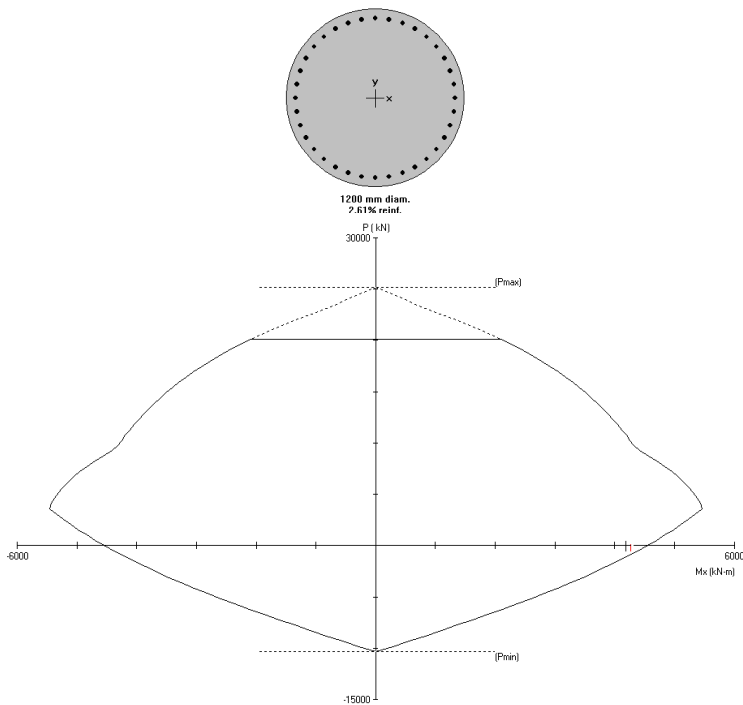
Maka, digunakan tulangan D13-200

5.4.2.2 Perencanaan *Bored Pile*

1 Perencanaan Tulangan

a. Tulangan Utama

Dengan menggunakan program pca Column, direncanakan *bored pile* berukuran 1200 mm dengan mutu beton K350 dan mutu tulangan 390 MPa. Direncanakan tulangan utama berdiameter 32 mm dengan jumlah tulangan 36. Gambar 5.11 berikut adalah gambar diagram interaksi penulangan dari pca Column.



Gambar 5.9 Diagram Interaksi Penulangan Turap *Bored Pile*
Kantilever Tanah *Behaving Like Sand*

Dari hasil perhitungan didapatkan data *bored pile* sebagai berikut :

$$\text{Diameter} = 1200 \text{ mm}$$

$$E_m = 29711.46 \text{ MPa} = 4309290 \text{ psi}$$

$$\sigma_{\text{allow}} = 350 \text{ kg/cm}^2 = 35000 \text{ kN/m}^2$$

$$I_{tr} = 14089319 \text{ cm}^4 = 338144 \text{ in}^4/\text{ft}$$

$$\phi M_n = 5142 \text{ kNm}$$

$$Z = 146914 \text{ cm}^3$$

b. Tulangan Geser

Dipakai pembebanan gaya geser terbesar pada bored pile , dimana $V_u = 470683$ N. Berdasarkan SNI 2847-2013 Pasal 11.1.1 desain penampang yang dikenai geser harus didasarkan pada :

$$\phi V_n \geq V_u$$

$$V_n = V_c + V_s$$

$$V_u = 470683$$
 N

$$V_c = 0.17 \lambda \sqrt{f'_c} \times \frac{1}{4} \pi D^2$$

$$= 0.17 \times 1 \times \sqrt{29.05} \times \frac{1}{4} \pi 1200^2$$

$$= 1036273.43$$
 N

Direncanakan sengkang spiral D13 dengan jarak 200 mm

$$V_s = \frac{A_v f_y t d}{s}$$

$$A_v = 2 \times \frac{1}{4} \pi D^2$$

$$= 2 \times \frac{1}{4} \pi 13^2$$

$$= 265.46$$
 mm²

$$d = 1200 - 40 - 13 - 0.5 \times 36 = 1129$$
 mm

$$f_y = 240$$
 MPa

$$V_s = \frac{265.46 \times 240 \times 1129}{200}$$

$$= 359651.41$$
 N

$$V_n = 1036273.43 + 359651.41$$
 N

$$= 1395924.84$$
 N

$$\phi V_n \geq V_u$$

$$\phi \times 1395924.84 \geq 470683$$
 N

$$1046943.63 \geq 470683$$
 N Ok !

2. Reduksi momen Rowe

a. Kelenturan relative (*relative flexibility*) tiang,

$$\rho = \frac{(H+D)^4}{EI}$$

$$H = 13.0 \text{ m} = 511.81 \text{ in}$$

$$D = 13.0 \text{ m} = 511.81 \text{ in}$$

$$\rho = \frac{(511.81 + 511.81)^4}{4429101 \times 358251}$$

$$= 0.75$$

Berdasarkan dari Gambar 2.14, maka didapatkan nilai r_d sebesar 1.

b. Reduksi momen

$$\begin{aligned} \text{Momen design} &= M_{\max} \times r_d \\ &= 4178.99 \text{ kNm} \times 1 \\ &= 4178.99 \text{ kNm} \end{aligned}$$

c. Cek penampang profil (*required section modulus*)

$$\begin{aligned} Z_0 &= \frac{M_{\text{design}}}{\sigma_{\text{allow}}} \times 10^6 \\ &= \frac{4178.99}{35000} \times 10^6 \\ &= 119399.79 \text{ cm}^3 \end{aligned}$$

$$\begin{aligned} Z_0 &\leq Z \\ 119399.79 \text{ cm}^3 &\leq 129811.00 \text{ cm}^3 \dots\dots \text{Ok!} \end{aligned}$$

3. Defleksi Turap *Bored Pile*

a. Perhitungan letak titik jepit (z_f) dari turap

Untuk tanah yang mempunyai modulus subgrade konstan

$$z_f = 1.4 R$$

$$R = \sqrt[4]{\frac{E \cdot I}{K}} = \sqrt[4]{\frac{29711456.37 \times 0.141}{1386 \times 13}} = 3.90 \text{ m}$$

$$z_f = 1.4 \times 3.90 = 5.47 \text{ m}$$

Sehingga letak titik jepit turap *bored pile* 5.08 m dari ujung turap *bored pile*.

b. Defleksi lateral (y)

Besarnya defleksi horizontal (y) dari tiang vertikal akibat beban lateral dapa dicari dengan persamaan :

$$y = \frac{H(e + z_f)^3}{3 E I}$$

$$e = \frac{Ea_1 \cdot e_1 + Ea_2 \cdot e_2 + Ea_3 \cdot e_3 + Ea_4 \cdot e_4}{Ea_1 + Ea_2 + Ea_3 + Ea_4}$$

$$= \frac{54.79 \times 11.50 + 12.80 \times 11.00 + 267.97 \times 5.00 + 125.99 \times 3.33}{54.79 + 12.80 + 267.97 + 125.99}$$

$$= 5.48 \text{ m}$$

$$H = \Sigma E a$$

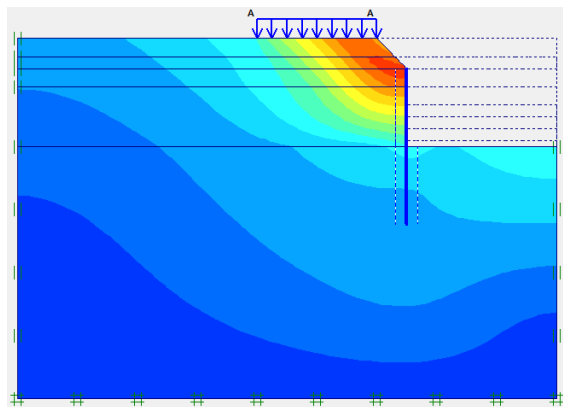
$$= 54.79 + 12.80 + 267.97 + 125.99 = 461.55 \text{ kN}$$

$$y = \frac{461.55 (5.48 + 5.47)^3}{3 \times 29711456.37 \times 0.141}$$

$$= 0.048 \text{ m}$$

4. Hasil Program PLAXIS

Hasil *running* program PLAXIS dapat dilihat pada Gambar 5.10 dibawah ini. Pada Gambar 5.10 dapat dilihat deformasi terbesar yang terjadi ditunjukan pada area gambar yang berwarna jingga.



Gambar 5.10 *Displacement Butiran Tanah Yang Terjadi Pada Turap Kantilever Bored Pile Behaving Like Sand*

Berdasarkan hasil *running* program PLAXIS terhadap bidang *sliding* yang terjadi, didapatkan nilai *safety factor* sebesar 1.36. Dengan nilai SF = 1.36 maka turap dengan material *bored pile* aman terhadap kelongsoran.

5. Perencanaan *Capping Beam*

Dalam melakukan perencanaan *capping beam* dalam Tugas Akhir ini, *capping beam* hanya berfungsi sebagai pengikat antar tiang turap. Karena pada perencanaan turap perhitungannya menggunakan tiang tunggal, sehingga pada *capping beam* tidak ada momen yang terjadi. Untuk penulangan *capping beam* hanya menggunakan tulangan susut saja perhitungan penulangan sesuai dengan SNI 2847-2013 Pasal 7.12.2.1.

Data perencanaannya sebagai berikut :

$$b = 1.7 \text{ m}$$

$$h = 1.0 \text{ m}$$

$$f_{c'} = 29.05 \text{ MPa}$$

$$\text{Cover} = 40 \text{ mm}$$

$$\text{Diameter tulangan} = 19 \text{ mm}$$

$$d = 1000 - 40 - 13 - 19/2 = 937.5 \text{ mm}$$

$$\rho_{\text{perlu}} = \rho_{\text{minimum}} = 0,0018$$

$$A_{\text{Sperlu}} = 0,0018 \times 1700 \times 937.5 = 2868.75 \text{ mm}^2$$

Maka, digunakan tulangan D19-150

Untuk tulangan bagi dipakai 20% As = 573.75 mm²

Maka, digunakan tulangan D13-200

5.4.3 Hasil Perhitungan Turap Kantilever

Berdasarkan hasil perhitungan turap kantilever dengan kondisi tanah asli dan *behaving like sand* dengan material SPP dan *bored pile* dapat dilihat pada Tabel 5.5.

Tabel 5.5 Hasil Perhitungan Turap Kantilever

Turap Kantilever				
Kondisi Tanah	Tanah Asli		<i>Behaving Like Sand</i>	
Jenis Turap	SPP	<i>Bored Pile</i>	SPP	<i>Bored Pile</i>
Diameter (mm)	800	900	1100	1200
Panjang	23	23	26	26
Total Turap (m)				
Jarak Turap (m)	0.85	0.95	1.15	1.25
SF	1.30	1.30	1.35	1.36

5.5 Perencanaan Turap Berangkur

5.5.1 Tanah Asli

Perencanaan turap dilakukan dengan langkah-langkah sebagai berikut.

1. Perhitungan koefisien tekanan tanah

Koefisien tekanan tanah aktif dan pasif diperoleh dengan menggunakan rumus Rankine yaitu :

- a. Koefisien tekanan tanah aktif

$$K_a = \tan^2 \left(45 - \frac{\phi}{2} \right), \text{ dimana :}$$

$$K_{a1} = \tan^2 \left(45 - \frac{\phi}{2} \right)$$

$$\begin{aligned} K_{a1} &= \tan^2 \left(45 - \frac{16}{2} \right) \\ &= 0.57 \end{aligned}$$

- b. Koefisien tekanan tanah pasif

$$K_p = \tan^2 \left(45 + \frac{\phi}{2} \right), \text{ dimana :}$$

$$K_{p1} = \tan^2 \left(45 + \frac{\phi}{2} \right)$$

$$\begin{aligned} K_{p1} &= \tan^2 \left(45 + \frac{16}{2} \right) \\ &= 1.76 \end{aligned}$$

Hasil dari perhitungan koefisien tekanan tanah aktif dan koefisien tekanan tanah pasif dapat dilihat pada Tabel 5.6 dibawah ini.

Tabel 5.6 Data Perencanaan Turap Berangkur Tanah Asli

Lapisan Tanah Ke	Ketebalan (m)	γ' kN/m ³	Cu kN/m ³	ϕ	Ka	Kp
1	3	8.98	31	16	0.57	1.76
2	2	8.93	34	14	0.61	1.64
3	3	8.53	38	12	0.66	1.52
4	10	7.56	30	17.6	0.54	1.87
5	D	7.56	30	17.6	0.54	1.87

2. Perhitungan Tegangan Tanah

$$\begin{aligned} q &= q + (\gamma'_1 \times h_1) + (\gamma'_2 \times h_2) \\ &= 10 + (8.98 \times 3) + (8.93 \times 2) \\ &= 54.79 \text{ kN/m}^2 \end{aligned}$$

a. Aktif

- Titik 1

$$\begin{aligned} \sigma v_1 &= q \\ &= 54.79 \text{ kN/m}^2 \end{aligned}$$

$$\begin{aligned} \sigma h_1 &= q \times K_a - 2c_3\sqrt{K_a} \\ &= 54.79 \times 0.66 - 2 \times 38 \times \sqrt{0.66} \\ &= -25.61 \text{ kN/m}^2 \end{aligned}$$

- Titik 2 atas

$$\begin{aligned} \sigma v_{2a} &= q + (\gamma'_3 \times h_3) \\ &= 54.79 + (8.53 \times 3) \\ &= 80.39 \text{ kN/m}^2 \end{aligned}$$

$$\begin{aligned} \sigma h_{2a} &= \sigma v_{2a} \times K_a - 2c_3\sqrt{K_a} \\ &= 80.39 \times 0.66 - 2 \times 38 \times \sqrt{0.66} \\ &= -8.83 \text{ kN/m}^2 \end{aligned}$$

- Titik 2 bawah

$$\begin{aligned} \sigma v_{2b} &= q + (\gamma'_3 \times h_3) \\ &= 54.79 + (8.53 \times 3) \\ &= 80.39 \text{ kN/m}^2 \end{aligned}$$

$$\begin{aligned} \sigma h_{2b} &= \sigma v_{2b} \times K_a - 2c_4\sqrt{K_a} \\ &= 80.39 \times 0.54 - 2 \times 30 \times \sqrt{0.54} \\ &= -0.85 \text{ kN/m}^2 \end{aligned}$$

- Titik 3 atas

$$\begin{aligned} \sigma v_{3a} &= q + (\gamma'_3 \times h_3) + (\gamma'_4 \times h_4) \\ &= 54.79 + (8.53 \times 3) + (7.56 \times 10) \\ &= 155.99 \text{ kN/m}^2 \end{aligned}$$

$$\begin{aligned}\sigma h_{3a} &= \sigma v_{3a} x K_a - 2c_4\sqrt{K_a} \\ &= 155.99 x 0.54 - 2 x 30 x \sqrt{0.54} \\ &= 39.64 \text{ kN/m}^2\end{aligned}$$

- Titik 3 bawah

$$\begin{aligned}\sigma v_{3b} &= q + (\gamma'_3 x h_3) + (\gamma'_4 x h_4) \\ &= 54.79 + (8.53 x 3) + (7.56 x 10) \\ &= 155.99 \text{ kN/m}^2\end{aligned}$$

$$\begin{aligned}\sigma h_{3b} &= \sigma v_{3b} x K_a - 2c_5\sqrt{K_a} \\ &= 155.99 x 0.54 - 2 x 30 x \sqrt{0.54} \\ &= 39.64 \text{ kN/m}^2\end{aligned}$$

- Titik 4

$$\begin{aligned}\sigma v_4 &= q + (\gamma'_3 x h_3) + (\gamma'_4 x h_4) + (\gamma'_5 x D_o) \\ &= 54.79 + (8.53 x 3) + (7.56 x 10) + (7.56 x D_o) \\ &= (7.56 D_o + 155.99) \text{ kN/m}^2\end{aligned}$$

$$\begin{aligned}\sigma h_4 &= \sigma v_4 x K_a - 2c_5\sqrt{K_a} \\ &= (7.56 D_o + 155.99) x 0.54 - 2 x 30 x \sqrt{0.54} \\ &= (4.05 D_o + 39.64) \text{ kN/m}^2\end{aligned}$$

b. Pasif

- Titik 3 bawah

$$\begin{aligned}\sigma v_{3b} &= q \\ &= 0 \text{ kN/m}^2\end{aligned}$$

$$\begin{aligned}\sigma h_{3b} &= \sigma v_{3b} x K_p + 2c_5\sqrt{K_p} \\ &= 0 x 0.54 + 2 x 30 x \sqrt{0.54} \\ &= 81.98 \text{ kN/m}^2\end{aligned}$$

- Titik 4

$$\begin{aligned}
 \sigma v_4 &= (\gamma' 5 \times h_5) \\
 &= 7.56 \times D_o \\
 &= 7.56 D_o \text{ kN/m}^2 \\
 \sigma h_4 &= \sigma v_{2a} \times K_p 5 + 2c_5 \sqrt{K_p 5} \\
 &= 7.56 D_o \times 1.87 + 2 \times 30 \times \sqrt{1.87} \\
 &= (14.11 D_o + 81.98) \text{ kN/m}^2
 \end{aligned}$$

3. Perhitungan Tekanan Tanah Aktif dan Pasif

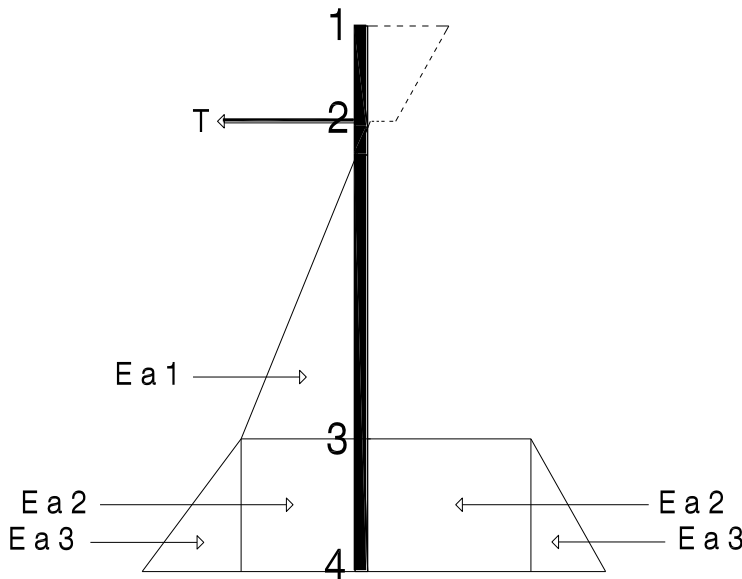
$$\begin{aligned}
 \frac{h_c}{10 - h_c} &= \frac{0.85}{39.64} \\
 39.64 h_c &= 8.5 - 0.85 h_c \\
 h_c &= 0.21 \text{ m} \\
 10 - h_c &= 9.79 \text{ m} \\
 h_{a1} &= 9.79 \text{ m}
 \end{aligned}$$

- $$\begin{aligned}
 E a_1 &= \frac{1}{2} \times (q + (\gamma' 3 \times h_3) + (\gamma' 4 \times h_4)) \times K_a 4 - 2c_4 \sqrt{K_a 4} \\
 &= \frac{1}{2} \times (54.79 + (8.53 \times 3) + (7.56 \times 10)) \times 0.54 - 2 \times \\
 &\quad 30 \times \sqrt{0.54} \\
 &= 194.04 \text{ kN/m}
 \end{aligned}$$
- $$\begin{aligned}
 E a_2 &= ((q + (\gamma' 3 \times h_3) + (\gamma' 4 \times h_4)) \times K_a 5 - 2c_5 \sqrt{K_a 5}) \times h_5 \\
 &= (54.79 + (8.53 \times 3)) + (7.56 \times 10) \times 0.54 - 2 \times 30 \times \\
 &\quad \sqrt{0.54} \times D_o \\
 &= 39.64 D_o \text{ kN/m}
 \end{aligned}$$
- $$\begin{aligned}
 E a_3 &= \frac{1}{2} \times (\gamma' 5 \times D) \times 0.54 \times h_5 \\
 &= \frac{1}{2} \times (7.56 \times D) \times 0.54 \times D_o \\
 &= 2.02 D_o^2 \text{ kN/m}
 \end{aligned}$$

$$\begin{aligned}
 d. \quad Ep_1 &= (q \times Kp_5) + 2c_5\sqrt{Kp_5} \times h_5 \\
 &= (0 \times 1.87) + 2 \times 30 \times \sqrt{1.87} \times Do \\
 &= 81.98 \text{ Do kN/m}
 \end{aligned}$$

$$\begin{aligned}
 e. \quad Ep_2 &= \frac{1}{2} \times ((\gamma' s \times h_5) \times Kp_5 \times h_5) \\
 &= \frac{1}{2} \times (7.56 \times Do) \times 1.87 \times D \\
 &= 7.06 \text{ Do}^2 \text{ kN/m}
 \end{aligned}$$

Pada Gambar 5.11 dapat dilihat hasil dari perhitungan tegangan dan tekanan tanah lateral pada turap berangkur pada kondisi tanah asli.



Gambar 5.11 Diagram Tegangan dan Tekanan Tanah Lateral Turap Berangkur Kondisi Tanah Asli

4. Perhitungan Kedalaman Turap

Untuk perhitungan momen yang terjadi pada turap dapat dilihat pada Tabel 5.7 dibawah ini.

Tabel 5.7 Gaya Turap Berangkurr Tanah Asli

	Gaya	Jarak ke angker	Momen
Tekanan tanah aktif	$Ea_1 = 194.04$	6.74	1307.21
	$Ea_2 = 39.64 Do$	0.50 Do + 10	$396.42 Do + 19.82 Do^2$
	$Ea_3 = 2.02 Do^2$	0.67 Do + 10	$40.07 Do^2 + 1.35 Do^3$
Tekanan tanah pasif	$Ep_1 = 81.98 Do$	0.50 Do + 10	$40.99 Do^2 + 819.8 Do$
	$Ep_2 = 7.06 Do^2$	0.67 Do + 10	$70.6 Do^2 + 4.70 Do^3$

$$\Sigma MDo = 0$$

$$\Sigma MDo = 3.5 Do^3 + 71.48 Do^2 + 423.38 Do - 1307.21$$

$$Do = 2.19 \text{ m}$$

$$D = SF \times Do = 1.2 \times 2.19 = 2.63 \approx 3 \text{ m}$$

$$\text{Panjang Total Turap} = D + H = 3 \text{ m} + 13 \text{ m} = 16 \text{ m}$$

5. Gaya Tarik Angker

Untuk $D = 2.19 \text{ m}$

$$T = \Sigma P_a - \Sigma P_p$$

$$\Sigma P_a = 2.02 Do^2 + 39.64 Do + 194.04$$

$$= 2.02 (2.19)^2 + 39.64 (2.19) + 194.04 = 290.57 \text{ kN}$$

$$\Sigma P_p = 7.06 Do^2 + 81.98 Do$$

$$= 7.06 (2.19)^2 + 81.98 (2.19) = 213.38 \text{ kN}$$

$$T = 290.57 \text{ kN} - 213.38 \text{ kN} = 77.19 \text{ kN}$$

6. Momen maksimum

Momen maksimum dimisalkan terletak di atas dasar galian dan $x = 0$ terletak pada perpotongan turap dengan angkur. Nilai x positif, bila arahnya ke bawah dihitung dari perpotongan dengan *ground anchor*.

$$\Sigma H = 0$$

$$\frac{1}{2} \times ((q + (\gamma'_3 \cdot h_3) + (\gamma'_4 \cdot x)) \times K_a - 2c_4\sqrt{K_a} \times x) - T = 0$$

$$\frac{1}{2} \times ((54.79 + (8.53 \cdot 3) + (7.56 \cdot x)) \times 0.54 - 2 \times 30$$

$$x \sqrt{0.54} \times x - 77.19 = 0$$

$$2.02x^2 - 0.43x - 77.19 = 0$$

$$x = 6.28 \text{ m}$$

jarak $x = 6.28 \text{ m}$ dibawah perpotongan turap dengan *ground anchor* atau $(10-6.28) = 3.72$ diatas dasar galian. Jadi permisalan bahwa momen maks berada diatas dasar galian benar.

$$\begin{aligned} M_{\text{maks}} &= (2.02x^2 - 0.43x)x/3 - 77.19(x) \\ &= (2.02(6.28)^2 - 0.43(6.28))x6.28/3 - 82.31(6.28) \\ &= -410.50 \text{ kNm} \end{aligned}$$

5.5.1.1 Perencanaan SPP (*Steel Pipe Pile*)

Direncanakan profil *Steel Pipe Pile* ASTM A252 Grade 2 yang dikombinasikan beton dengan data SPP sebagai berikut :

Diameter	= 500 mm
Tebal	= 19 mm
E	= 200000 MPa = 29007600 psi
σ_{allow}	= 20 kg/mm ² = 200000 kN/m ²
I	= 83200 cm ⁴ = 1996.8 in ⁴ /ft
Z	= 3330 cm ³

1. Reduksi momen Rowe
 - a. Kelenturan relatif (*relative flexibility*) tiang,

$$\rho = \frac{(H+D)^4}{EI}$$

$$H = 13.0 \text{ m} = 511.81 \text{ in}$$

$$D = 3.0 \text{ m} = 118.11 \text{ in}$$

$$\rho = \frac{(511.81 + 118.11)^4}{29007600 \times 1996.8} \\ = 2.72$$

Berdasarkan dari Gambar 2.14, maka didapatkan nilai r_d sebesar 1.

b. Reduksi momen

$$\text{Momen design} = M_{\text{maks}} \times r_d \\ = 410.50 \text{ kNm} \times 1 = 410.50 \text{ kNm}$$

c. Cek penampang profil (*required section modulus*)

$$Z_0 = \frac{M_{\text{design}}}{\sigma_{\text{allow}}} \times 10^6 \\ = \frac{410.50}{200000} \times 10^6 \\ = 2052.50 \text{ cm}^3$$

$$Z_0 \leq Z \\ 2052.50 \text{ cm}^3 \leq 3330 \text{ cm}^3 \dots\dots \text{Ok !}$$

Setelah didapatkan dimensi penampang yang memenuhi SPP disikan dengan beton dengan mutu K175 untuk menambah kekakuan dan memperkecil defleksi yang terjadi pada turap. Data SPP yang telah dikompositkan dengan beton adalah sebagai berikut :

$$E_m = 237659676 \text{ KN/m}^2 \\ I_m = 0.0031 \text{ m}^4$$

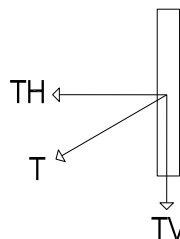
2. Perencanaan *Ground Anchor*

a. Penentuan Jarak *Ground Anchor*

Digunakan jarak antar *ground anchor* 2.2 m.

Maka $T = \text{jarak pemasangan} \times T$

$$= 2.2 \times 77.19 = 169.82 \text{ kN}$$



Gambar 5.12 Gaya *Tie Back* SPP Tanah Asli

Gaya yang harus ditahan oleh *Tie Back* (T) seperti yang terlihat pada Gambar 5.12.

$$T = \frac{TH}{\cos \alpha} = \frac{169.82}{\cos 8} = 171.49 \text{ kN}$$

b. *Anchor Tendon Capacity*

Dipakai 7 buah strand dengan diameter 0.375 inch. Data dari A 416/A416M-06 Grade 270, diperoleh :

$$A_{each} = 54.8 \text{ mm}^2$$

$$\text{Breaking Load} = 102.3 \text{ kN}$$

$$\text{Yield Load} = 87.0 \text{ kN}$$

$$D_t = 9.53 \text{ mm}$$

$$A_{tot} = \text{jumlah strand} \times A_{each} \\ = 7 \times 54.8 = 383.60 \text{ mm}^2$$

$$f_u = \frac{\text{Breaking Load}}{A_{each}}$$

$$= \frac{102.3 \times 1000}{54.8} = 1866.79 \text{ MPa}$$

Tegangan ijin batang Tarik

$$\begin{aligned} T_{\text{design}} &= 0.60 \times f_u \times A \\ &= 0.60 \times (1866.79 \times 383.60 / 1000) \\ &= 429.66 \text{ kN} \end{aligned}$$

$$\begin{aligned} T_{\text{proof}} &= 0.80 \times f_u \times A \\ &= 0.80 \times (1866.79 \times 383.60 / 1000) \\ &= 572.88 \text{ kN} \end{aligned}$$

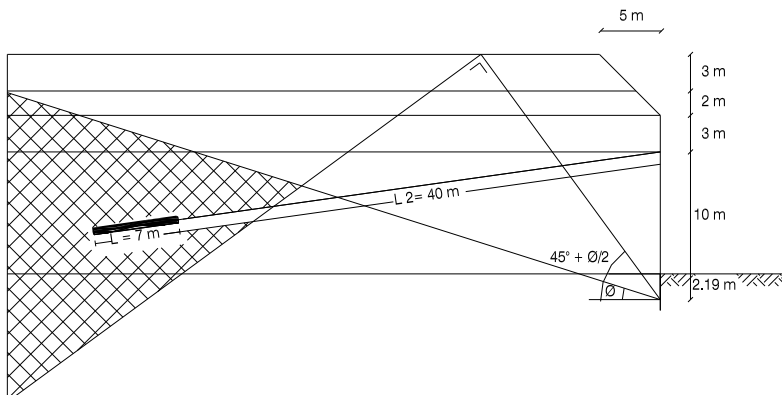
Gaya tarik aktual yang terjadi

$$\begin{aligned} T_{\text{design}} &= T \\ &= 171.49 \text{ kN} \end{aligned}$$

$$\begin{aligned} T_{\text{proof}} &= 1.3T \\ &= 1.3 \times 171.49 \text{ kN} = 222.93 \text{ kN} \end{aligned}$$

$$\begin{aligned} T_{\text{aktual}} &< T_{\text{ijin}} \\ 222.93 \text{ kN} &< 572.88 \text{ kN} \text{ Ok !} \end{aligned}$$

c. Kapasitas *Ground Anchor*



Gambar 5.13 Posisi *Ground Anchor* SPP Tanah Asli

$$\begin{aligned}
 D &= 0.15 \text{ m} \\
 d_2 &= 14 \text{ m} \\
 \gamma_{\text{total}} &= (8.98 \times 3) + (8.93 \times 2) + (8.53 \times 3) + (7.56 \times 6) \\
 &= 115.75 \text{ kN} \\
 \phi &= 17.60 \\
 C_u &= 30.00 \\
 \delta &= 2/3 \times \phi = 11.73 \\
 C_w &= 0.56 \times C_u = 16.8 \\
 r &= \sqrt{1 + \frac{c_w}{c_u}} = \sqrt{1 + \frac{16.8}{30}} = 1.25 \\
 K &= 1 - \sin\phi = 0.70 \\
 \text{Adhesi, ca} &= r \times C_u = 37.47 \\
 L &= 7 \text{ m} \\
 L_2 &= 40 \text{ m} \\
 Tu &= \pi D L (\gamma_{\text{total}} d_2 K \tan\delta + ca) \\
 &= \pi 0.15 \times 7 (115.75 \times 14 \times 0.70 \tan 11.73 + 37.47) \\
 &= 763.40 \text{ kN} \\
 T_{\text{aktual}} &< 0.85 Tu \\
 237.71 \text{ kN} &< 763.40 \text{ kN ok !}
 \end{aligned}$$

3. Defleksi Turap SPP

- a. Perhitungan panjang jepitan kritis tanah terhadap tiang
 Kedalaman atau panjang kritis dari tiang yang harus terjepit dalam tanah dapat ditentukan dengan metoda dari PHILIPPONAT seperti dibawah ini :

$$D_c = 1.5 \text{ m atau } 3 \times \text{diameter}$$

$$= 3 \times 0.5 = 1.5 \text{ m}$$

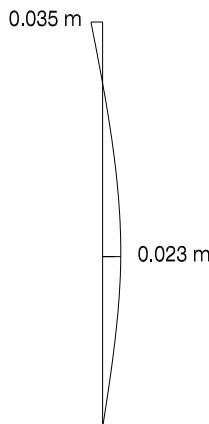
$D_c \leq$ kedalaan turap tertanam

$1.5 \text{ m} \leq 3 \text{ m}$ ok !

Jadi panjang tertanam turap memenuhi panjang jepitan kritisnya.

b. Kontrol Defleksi

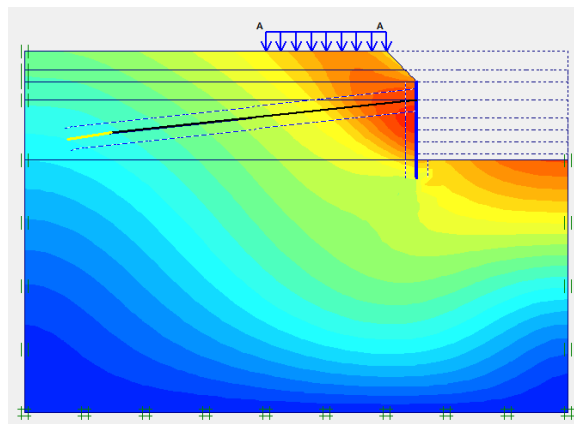
Dengan menggunakan program SAP, diperoleh deformasi akibat gaya-gaya yang terjadi.besarnya deformasi dapat dilihat pada Gambar 5.14.



Gambar 5.14 Defleksi SPP dengan *Ground Anchor* Tanah Asli

4. Hasil Program PLAXIS

Hasil *running* program PLAXIS dapat dilihat pada Gambar 5.15 dibawah ini. Pada Gambar 5.15 dapat dilihat deformasi terbesar yang terjadi ditunjukan pada area gambar yang berwarna jingga.



Gambar 5.15 *Displacement Butiran Tanah Yang Terjadi Pada SPP Turap Berangkur Tanah Asli*

Berdasarkan hasil *running* program PLAXIS terhadap bidang *sliding* yang terjadi, didapatkan nilai *safety factor* sebesar 1.45. Dengan nilai SF = 1.45 maka turap dengan material *bored pile* berangkur aman terhadap kelongsoran.

5. Perencanaan *Capping Beam*

Dalam melakukan perencanaan *capping beam* dalam Tugas Akhir ini, *capping beam* hanya berfungsi sebagai pengikat antar tiang turap. Karena pada perencanaan turap perhitungannya menggunakan tiang tunggal, sehingga pada *capping beam* tidak ada momen yang terjadi. Untuk penulangan *capping beam* hanya menggunakan tulangan susut saja perhitungan penulangan sesuai dengan SNI 2847-2013 Pasal 7.12.2.1.

Data perencanaannya sebagai berikut :

$$\begin{aligned} b &= 1.0 \text{ m} \\ h &= 1.0 \text{ m} \\ f_{c'} &= 29.05 \text{ MPa} \end{aligned}$$

Cover = 40 mm

Diameter tulangan = 19 mm

$$d = 1000 - 40 - 13 - 19/2 = 937.5 \text{ mm}$$

$$\rho_{\text{perlu}} = \rho_{\text{minimum}} = 0,0018$$

$$A_{\text{Sperlu}} = 0,0018 \times 1600 \times 937.5 = 1687.5 \text{ mm}^2$$

Maka, digunakan tulangan D19-150

Untuk tulangan bagi dipakai 20% As = 337.5 mm²

Maka, digunakan tulangan D13-300

6. Perencanaan Walling

Direncanakan baja profil WF 350.175.6.9 dengan data sebagai berikut :

$$d = 346 \text{ mm}$$

$$b_f = 174 \text{ mm}$$

$$t_w = 9 \text{ mm}$$

$$t_f = 14 \text{ mm}$$

$$\sigma_{\text{allow}} = 240 \text{ MPa} = 240000 \text{ kN/m}^2$$

$$Z = 689 \text{ cm}^3$$

a. Max bending moment in the wale

$$M = T \cdot L$$

$$M = 222.93 \times 2.2 = 490.45 \text{ kNm}$$

b. Cek penampang profil (*required section modulus*)

$$Z_0 = \frac{M}{2 \times \sigma_{\text{allow}}} \times 10^6$$

$$Z_0 = \frac{490.45}{2 \times 240000} \times 10^6 = 1021.78 \text{ cm}^3$$

$$\begin{aligned} Z_0 &\leq 2 \times Z \\ 1021.78 \text{ cm}^3 &\leq 2 \times 689 \text{ cm}^3 \end{aligned}$$

$$1021.78 \text{ cm}^3 \leq 1378 \text{ cm}^3 \dots \dots \text{ Ok !}$$

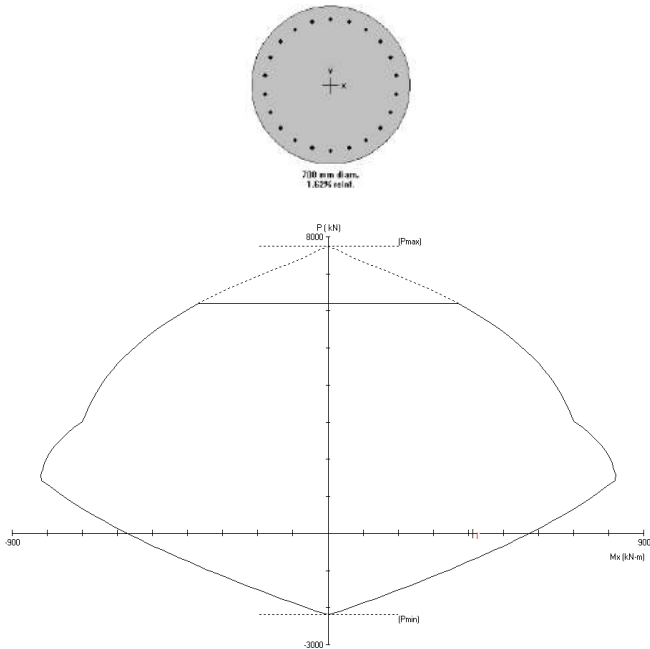
Digunakan profi WF 350.175.6.9 sebanyak 2 buah.

5.5.1.2 Perencanaan *Bored Pile*

1. Perencanaan Tulangan

a. Tulangan Utama

Dengan menggunakan program pca Column, direncanakan *bored pile* berukuran 700 mm dengan mutu beton K350 dan mutu tulangan 390 MPa. Direncanakan tulangan utama berdiameter 19 mm dengan jumlah tulangan 22. Gambar 5.16 berikut adalah gambar diagram interaksi penulangan dari pca Column.



Gambar 5.16 Diagram Interaksi Penulangan Turap *Bored Pile* Berangkur Tanah Asli

Dari hasil perhitungan didapatkan data *bored pile* sebagai berikut :

$$\begin{aligned}
 \text{Diameter} &= 700 \text{ mm} \\
 E_m &= 28176.29 \text{ Mpa} = 4086633 \text{ psi} \\
 \sigma_{\text{allow}} &= 350 \text{ kg/cm}^2 = 35000 \text{ kN/m}^2 \\
 I_{\text{tr}} &= 1456740 \text{ cm}^4 = 34961.76 \text{ in}^4/\text{ft} \\
 \phi M_n &= 571.7 \text{ kNm} \\
 Z &= 16334 \text{ cm}^3
 \end{aligned}$$

b. Tulangan Geser

Dipakai pembebatan gaya geser terbesar pada bored pile , dimana $V_u = 137810$ N. Berdasarkan SNI 2847-2013 Pasal 11.1.1 desain penampang yang dikenai geser harus didasarkan pada :

$$\begin{aligned}
 \phi V_n &\geq V_u \\
 V_n &= V_c + V_s \\
 V_u &= 137810 \text{ N} \\
 V_c &= 0.17 \lambda \sqrt{f'_c} \times \frac{1}{4} \pi D^2 \\
 &= 0.17 \times 1 \times \sqrt{29.05} \times \frac{1}{4} \pi 700^2 \\
 &= 352620.82 \text{ N}
 \end{aligned}$$

Direncanakan sengkang spiral D13 dengan jarak 200 mm

$$\begin{aligned}
 V_s &= \frac{A_v f_{yt} d}{s} \\
 A_v &= 2 \times \frac{1}{4} \pi D^2 \\
 &= 2 \times \frac{1}{4} \pi 13^2 \\
 &= 265.46 \text{ mm}^2 \\
 d &= 700 - 40 - 13 - 0.5 \times 22 = 636 \text{ mm} \\
 f_y &= 240 \text{ MPa} \\
 V_s &= \frac{265.46 \times 240 \times 636}{200} \\
 &= 202602.57 \text{ N}
 \end{aligned}$$

$$\begin{aligned}V_n &= 352620.82 \text{ N} + 202602.57 \text{ N} \\&= 555223.39 \text{ N}\end{aligned}$$

$$\begin{aligned}\phi V_n &\geq V_u \\ \phi \times 555223.3 \text{ N} &\geq 137810 \text{ N} \\ 416417.54 \text{ N} &\geq 137810 \text{ N} \text{ Ok !}\end{aligned}$$

2. Reduksi momen Rowe

a. Kelenturan relatif (*relative flexibility*) tiang,

$$\begin{aligned}\rho &= \frac{(H+D)^4}{EI} \\ H &= 13.0 \text{ m} = 511.81 \text{ in} \\ D &= 3.0 \text{ m} = 118.11 \text{ in} \\ \rho &= \frac{(511.81 + 118.11)^4}{4086633 \times 34962} \\ &= 1.10\end{aligned}$$

Berdasarkan dari Gambar 2.14, maka didapatkan nilai r_d sebesar 1.

b. Reduksi momen

$$\begin{aligned}\text{Momen design} &= M_{\text{maks}} \times r_d \\ &= 410.50 \text{ kNm} \times 1 \\ &= 410.50 \text{ kNm}\end{aligned}$$

c. Cek penampang profil (*required section modulus*)

$$\begin{aligned}Z_0 &= \frac{M_{\text{design}}}{\sigma_{\text{allow}}} \times 10^6 \\ &= \frac{410.50}{35000} \times 10^6 \\ &= 11728.59 \text{ cm}^3\end{aligned}$$

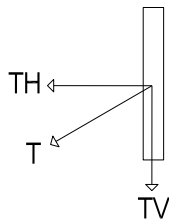
$$\begin{aligned}Z_0 &\leq Z \\ 11728.59 \text{ cm}^3 &\leq 16334 \text{ cm}^3 \dots\dots \text{Ok !}\end{aligned}$$

3. Perencanaan *Ground Anchor*

a. Penentuan Jarak *Ground Anchor*

Digunakan jarak antar *ground anchor* 2.25 m.

Maka $T = \text{jarak pemasangan} \times T$
 $= 2.25 \times 77.19 = 173.68 \text{ kN}$



Gambar 5.17 Gaya *Tie Back* SPP Behaving Like Sand

Gaya yang harus ditahan oleh *Tie Back* (T) seperti yang terlihat pada Gambar 5.17.

$$T = \frac{TH}{\cos \alpha} = \frac{173.68}{\cos 8} = 175.38 \text{ kN}$$

b. *Anchor Tendon Capacity*

Dipakai 7 buah strand dengan diameter 0.375 inch. Data dari A 416/A416M-06 Grade 270, diperoleh :

A_{each}	$= 54.80 \text{ mm}^2$
Breaking Load	$= 102.30 \text{ kN}$
Yield Load	$= 87.00 \text{ kN}$
D_t	$= 11.11 \text{ mm}$
A_{tot}	$= \text{jumlah strand} \times A_{\text{each}}$
	$= 7 \times 54.80 = 383.60 \text{ mm}^2$

f_u	$= \frac{\text{Breaking Load}}{A_{\text{each}}}$
	$= \frac{102.30 \times 1000}{54.80} = 1866.79 \text{ MPa}$

Tegangan ijin batang Tarik

$$\begin{aligned} T_{\text{design}} &= 0.60 \times f_u \times A \\ &= 0.60 \times (1866.79 \times 383.60 / 1000) = 429.66 \text{ kN} \end{aligned}$$

$$\begin{aligned} T_{\text{proof}} &= 0.80 \times f_u \times A \\ &= 0.80 \times (1866.79 \times 383.60 / 1000) = 572.88 \text{ kN} \end{aligned}$$

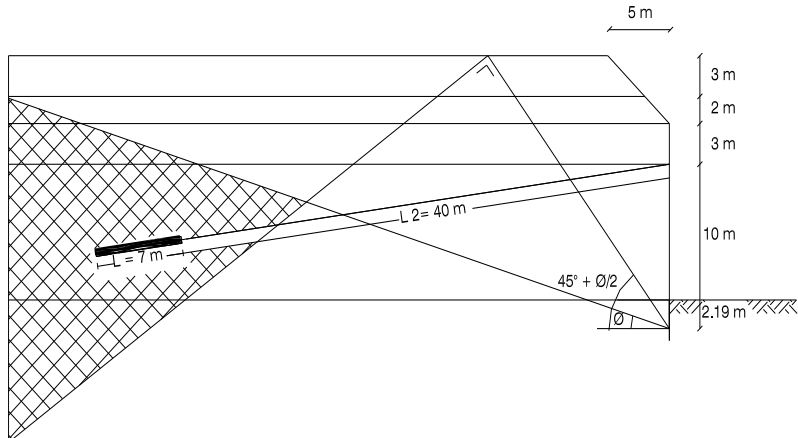
Gaya Tarik aktual yang terjadi

$$\begin{aligned} T_{\text{design}} &= T \\ &= 175.38 \text{ kN} \end{aligned}$$

$$\begin{aligned} T_{\text{proof}} &= 1.3T \\ &= 1.3 \times 175.38 \text{ kN} \\ &= 228.00 \text{ kN} \end{aligned}$$

$$\begin{aligned} T_{\text{aktual}} &< T_{\text{ijin}} \\ 228.00 \text{ kN} &< 572.88 \text{ kN} \text{ Ok !} \end{aligned}$$

c. Kapastas *Ground Anchor*



Gambar 5.18 Posisi *Ground Anchor Bored Pile* Tanah Asli

$$\begin{aligned}
 D &= 0.15 \text{ m} \\
 d_2 &= 14 \text{ m} \\
 \gamma_{\text{total}} &= (8.98 \times 3) + (8.93 \times 2) + (8.53 \times 3) + (7.56 \times 6) \\
 &= 115.75 \text{ kN} \\
 \varphi &= 17.60 \\
 C_u &= 30.00 \\
 \delta &= 2/3 \times \varphi = 11.73 \\
 C_w &= 0.56 \times c_u = 16.8 \\
 r &= \sqrt{1 + \frac{c_w}{c_u}} = \sqrt{1 + \frac{16.8}{30}} = 1.25 \\
 K &= 1 - \sin\varphi = 0.70 \\
 \text{Adhesi, ca} &= r \times c_u = 37.47 \\
 L &= 7 \text{ m} \\
 L_2 &= 37 \text{ m} \\
 T_u &= \pi D L (\gamma_{\text{total}} d_2 K \tan\delta + \text{ca}) \\
 &= \pi 0.15 \times 7 (115.75 \times 14 \times 0.70 \tan 11.73 + 37.47) \\
 &= 898.12 \text{ kN}
 \end{aligned}$$

$$\begin{aligned}
 T_{\text{aktual}} &< 0.85 T_u \\
 243.12 \text{ kN} &< 763.4 \text{ kN} \text{ Ok !}
 \end{aligned}$$

4. Defleksi Turap *SPP*

- a. Perhitungan panjang jepitan kritis tanah terhadap tiang

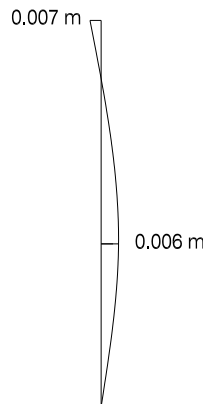
Kedalaman atau panjang kritis dari tiang yang harus terjepit dalam tanah dapat ditentukan dengan metoda dari PHILIPPONAT seperti dibawah ini :

$$\begin{aligned}
 D_c &= 1.5 \text{ m atau } 3 \times \text{diameter} \\
 &= 3 \times 0.7 = 2.1 \text{ m}
 \end{aligned}$$

$$\begin{aligned}
 D_c &\leq \text{kedalaman turap tertanam} \\
 2.1 \text{ m} &< 3 \text{ m ok !}
 \end{aligned}$$

b. Kontrol Defleksi

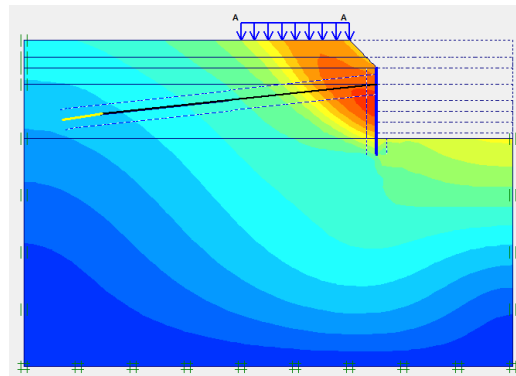
Dengan menggunakan program SAP, diperoleh deformasi akibat gaya-gaya yang terjadi. Besarnya deformasi dapat dilihat pada Gambar 5.24.



Gambar 5.19 Defleksi *Bored Pile* Tanah Asli dengan *Ground Anchor*

5. Hasil Program PLAXIS

Hasil *running* program PLAXIS dapat dilihat pada Gambar 5.20 dibawah ini. Pada Gambar 5.20 dapat dilihat deformasi terbesar yang terjadi ditunjukkan pada area gambar yang berwarna jingga.



Gambar 5.20 *Displacement Butiran Tanah Yang Terjadi Pada Bored Pile Turap Berangkur Tanah Asli*

Berdasarkan hasil *running* program PLAXIS terhadap bidang *sliding* yang terjadi, didapatkan nilai *safety factor* sebesar 1.45. Dengan nilai SF = 1.45 maka turap dengan material *bored pile* dengan angkur aman terhadap kelongsoran.

6. Perencanaan *Capping Beam*

Dalam melakukan perencanaan *capping beam* dalam Tugas Akhir ini, *capping beam* hanya berfungsi sebagai pengikat antar tiang turap. Karena pada perencanaan turap perhitungannya menggunakan tiang tunggal, sehingga pada *capping beam* tidak ada momen yang terjadi. Untuk penulangan *capping beam* hanya menggunakan tulangan susut saja perhitungan penulangan sesuai dengan SNI 2847-2013 Pasal 7.12.2.1.

Data perencanaannya sebagai berikut :

$$b = 1.2 \text{ m}$$

$$h = 1.0 \text{ m}$$

$$f'_c = 29.05 \text{ MPa}$$

$$\text{Cover} = 40 \text{ mm}$$

$$\text{Dimeter tulangan} = 19 \text{ mm}$$

$$d = 1000 - 40 - 13 - 19/2 = 937.5 \text{ mm}$$

$$\rho_{\text{perlu}} = \rho_{\text{minimum}} = 0,0018$$

$$A_s_{\text{perlu}} = 0,0018 \times 1200 \times 937.5 = 2025 \text{ mm}^2$$

Maka, digunakan tulangan D19-150

Untuk tulangan bagi dipakai 20% As = 405 mm²

Maka, digunakan tulangan D13-250

7. Perencanaan Walling

Direncanakan baja profil WF dengan data sebagai berikut :

$$d = 346 \text{ mm}$$

$$bf = 174 \text{ mm}$$

$$\sigma_{\text{allow}} = 240 \text{ MPa} = 240000 \text{ kN/m}^2$$

$$Z = 689 \text{ cm}^3$$

a. Max bending moment in the wale

$$M = T \cdot L$$

$$M = 228.00 \times 2.25$$

$$= 513.00 \text{ kNm}$$

b. Cek penampang profil (*required section modulus*)

$$Z_0 = \frac{M}{2 \times \sigma_{\text{allow}}} \times 10^6$$

$$Z_0 = \frac{513.00}{2 \times 240000} \times 10^6 \\ = 1068.75 \text{ cm}^3$$

$$Z_0 \leq 2 \times Z$$

$$1068.75 \text{ cm}^3 \leq 2 \times 689 \text{ cm}^3$$

$$1068.75 \text{ cm}^3 \leq 1378 \text{ cm}^3 \dots\dots \text{Ok !}$$

Digunakan profi WF 350 x 175 sebanyak 2 buah.

5.5.2 Tanah *Behaving Like Sand*

1. Perhitungan koefisien tekanan tanah

Koefisien tekanan tanah aktif dan pasif diperoleh dengan menggunakan rumus Rankine yaitu :

a. Koefisien tekanan tanah aktif

$$K_a = \tan^2 \left(45 - \frac{\phi}{2} \right), \text{ dimana :}$$

$$K_{a1} = \tan^2 \left(45 - \frac{\phi}{2} \right)$$

$$K_{a1} = \tan^2 \left(45 - \frac{30}{2} \right) \\ = 0.33$$

b. Koefisien tekanan tanah pasif

$$K_p = \tan^2 \left(45 + \frac{\phi}{2} \right), \text{ dimana :}$$

$$K_{p1} = \tan^2 \left(45 + \frac{\phi}{2} \right)$$

$$K_{p1} = \tan^2 \left(45 + \frac{30}{2} \right) \\ = 3.00$$

Hasil dari perhitungan koefisien tekanan tanah aktif dan koefisien tekanan tanah pasif dapat dilihat pada Tabel 5.8 dibawah ini.

Tabel 5.8 Data Perencanaan Turap Berangkur Tanah
Behaving Like Sand

Lapisan Tanah Ke	Ketebalan (m)	γ' kN/m ³	Cu kN/m ³	ϕ	Ka	Kp
1	3	8.98	0	30	0.33	3.00
2	2	8.93	0	30	0.33	3.00
3	3	8.53	0	30	0.33	3.00
4	10	7.56	0	30	0.33	3.00
5	D	7.56	30	17.6	0.54	1.87

2. Perhitungan Tegangan Tanah

$$\begin{aligned} q &= q + (\gamma'_1 \times h_1) + (\gamma'_2 \times h_2) \\ &= 10 + (8.98 \times 3) + (8.93 \times 2) \\ &= 54.79 \text{ kN/m}^2 \end{aligned}$$

a. Aktif

- Titik 1

$$\begin{aligned} \sigma v_1 &= q \\ &= 54.79 \text{ kN/m}^2 \end{aligned}$$

$$\begin{aligned} \sigma h_1 &= q \times K_a \\ &= 54.79 \times 0.33 \\ &= 18.26 \text{ kN/m}^2 \end{aligned}$$

- Titik 2 atas

$$\begin{aligned} \sigma v_{2a} &= q + (\gamma'_3 \times h_3) \\ &= 54.79 + (8.53 \times 3) \\ &= 80.39 \text{ kN/m}^2 \end{aligned}$$

$$\begin{aligned} \sigma h_{2a} &= \sigma v_{2a} \times K_a \\ &= 80.39 \times 0.33 \\ &= 26.80 \text{ kN/m}^2 \end{aligned}$$

- Titik 2 bawah

$$\begin{aligned} \sigma v_{2b} &= q + (\gamma'_3 \times h_3) \\ &= 54.79 + (8.53 \times 3) \\ &= 80.39 \text{ kN/m}^2 \end{aligned}$$

$$\begin{aligned} \sigma h_{2b} &= \sigma v_{2b} \times K_a \\ &= 80.39 \times 0.33 \\ &= 26.80 \text{ kN/m}^2 \end{aligned}$$

- Titik 3 atas

$$\sigma v_{3a} = q + (\gamma'_3 \times h_3) + (\gamma'_4 \times h_4)$$

$$\begin{aligned}
 &= 54.79 + (8.53 \times 3) + (7.56 \times 10) \\
 &= 155.99 \text{ kN/m}^2
 \end{aligned}$$

$$\begin{aligned}
 \sigma h_{3a} &= \sigma v_{3a} \times K_a 4 \\
 &= 155.99 \times 0.33 \\
 &= 52.00 \text{ kN/m}^2
 \end{aligned}$$

- Titik 3 bawah

$$\begin{aligned}
 \sigma v_{3b} &= q + (\gamma'_3 \times h_3) + (\gamma'_4 \times h_4) \\
 &= 54.79 + (8.53 \times 3) + (7.56 \times 10) \\
 &= 155.99 \text{ kN/m}^2
 \end{aligned}$$

$$\begin{aligned}
 \sigma h_{3b} &= \sigma v_{3b} \times K_a 5 - 2c_5 \sqrt{K_a 5} \\
 &= 168.79 \times 0.54 - 2 \times 30 \times \sqrt{0.54} \\
 &= 39.64 \text{ kN/m}^2
 \end{aligned}$$

- Titik 4

$$\begin{aligned}
 \sigma v_4 &= q + (\gamma'_3 \times h_3) + (\gamma'_4 \times h_4) + (\gamma'_5 \times D_o) \\
 &= 54.79 + (8.53 \times 3) + (7.56 \times 10) + (7.56 \times D_o) \\
 &= (7.56 D_o + 155.99) \text{ kN/m}^2
 \end{aligned}$$

$$\begin{aligned}
 \sigma h_4 &= \sigma v_4 \times K_a 5 - 2c_5 \sqrt{K_a 5} \\
 &= (7.56 D_o + 155.99) \times 0.54 - 2 \times 30 \times \sqrt{0.54} \\
 &= (4.05 D_o + 39.64) \text{ kN/m}^2
 \end{aligned}$$

b. Pasif

- Titik 3 bawah

$$\begin{aligned}
 \sigma v_{3b} &= q \\
 &= 0 \text{ kN/m}^2
 \end{aligned}$$

$$\begin{aligned}
 \sigma h_{3b} &= \sigma v_{3b} \times K_p 5 + 2c_5 \sqrt{K_p 5} \\
 &= 0 \times 0.54 + 2 \times 30 \times \sqrt{0.54} \\
 &= 81.98 \text{ kN/m}^2
 \end{aligned}$$

- Titik 4

$$\begin{aligned}\sigma v_4 &= (\gamma' s \times h_5) \\ &= 7.56 \times D_o \\ &= 7.56 D_o \text{ kN/m}^2\end{aligned}$$

$$\begin{aligned}\sigma h_4 &= \sigma v_{2a} \times K_p + 2c_s \sqrt{K_p} \\ &= 7.56 D_o \times 1.87 + 2 \times 30 \times \sqrt{1.87} \\ &= (14.11 D_o + 81.98) \text{ kN/m}^2\end{aligned}$$

3. Perhitungan Tekanan Tanah Aktif dan Pasif

a. $Ea_1 = (q \times K_a) \times h_3$
 $= 54.79 \times 0.33 \times 3$
 $= 54.79 \text{ kN/m}$

b. $Ea_2 = \frac{1}{2} \times ((\gamma' s \times h_3) \times K_a) \times h_3$
 $= \frac{1}{2} \times ((8.53 \times 3) \times 0.33) \times 3$
 $= 12.80 \text{ kN/m}$

c. $Ea_3 = (q + (\gamma' s \times h_3)) \times K_a \times h_4$
 $= ((54.79 + (8.53 \times 3)) \times 0.33) \times 10$
 $= 267.97 \text{ kN/m}$

d. $Ea_4 = \frac{1}{2} \times ((\gamma' s \times h_4) \times K_a) \times h_4$
 $= \frac{1}{2} \times ((7.56 \times 10) \times 0.33) \times 10$
 $= 125.99 \text{ kN/m}$

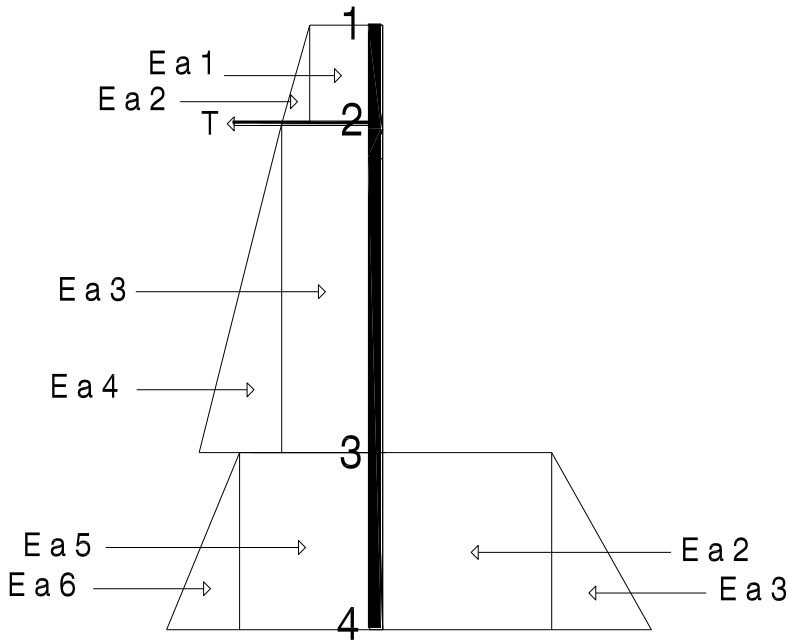
e. $Ea_5 = ((q + (\gamma' s \times h_3) + (\gamma' s \times h_4)) \times K_a - 2c_s \sqrt{K_a}) \times h_5$
 $= (54.79 + (8.53 \times 3)) + (7.56 \times 10) \times 0.54 - 2 \times 30 \times \sqrt{0.54} \times D_o$
 $= 39.64 D_o \text{ t/m}$

f. $Ea_6 = \frac{1}{2} \times (\gamma' s \times D) \times K_a \times h_5$
 $= \frac{1}{2} \times (7.56 \times D) \times 0.54 \times D_o$
 $= 2.02 D_o^2 \text{ t/m}$

g. $E_p = \frac{1}{2} \times ((\gamma' s \times h_5) \times K_p + 2c_s \sqrt{K_p}) \times h_5$

$$\begin{aligned}
 &= \frac{1}{2} \times (7.56 \times D_o) \times 1.87 + 2 \times 30 \times \sqrt{1.87} \times D_o \\
 &= (7.06 D_o^2 + 81.98 D_o) \text{ kN/m}
 \end{aligned}$$

Pada Gambar 5.21 dapat dilihat hasil dari perhitungan tegangan dan tekanan tanah lateral pada turap berangkur pada kondisi tanah *behaving like sand*.



Gambar 5.21 Diagram Tegangan dan Tekanan Tanah Lateral Turap Berangkur Kondisi *Behaving Like Sand*

4. Perhitungan Kedalaman Turap

Untuk perhitungan momen yang terjadi pada turap dapat dilihat pada Tabel 5.9 dibawah ini.

Tabel 5.9 Gaya Turap Berangkur *Behaving Like Sand*

	Gaya	Jarak ke angker	Momen
Tekanan tanah aktif	Ea ₁ = 54.79	1.50	82.19
	Ea ₂ = 12.80	1.00	12.80
	Ea ₃ = 267.97	5.00	1339.83
	Ea ₄ = 125.99	6.67	839.95
	Ea ₅ = 39.64 Do	0.50 Do + 10	396.42 Do + 19.82 Do ²
	Ea ₆ = 2.02 Do ²	0.67 Do + 10	20.25 Do ² 0.67 Do ³
Tekanan tanah pasif	Ep ₁ = 81.98 Do	0.50 Do + 10	819.80 Do 40.99 Do ²
	Ep ₂ = 7.06 Do ² + 81.98 Do	0.67 Do + 10	70.60 Do ² + 4.70 Do ³

$$\Sigma MDo = 0$$

$$\Sigma MDo = 3.35 Do^3 + 71.48 Do^2 + 423.38 Do - 2084.79$$

$$Do = 3.09 \text{ m}$$

$$D = SF \times Do = 1.2 \times 3.09 = 3.71 \approx 4 \text{ m}$$

$$\text{Panjang Total Turap} = D + H = 4 \text{ m} + 13 \text{ m} = 17 \text{ m}$$

5. Gaya Tarik Angker

Untuk D = 2.96 m

$$T = \Sigma P_a - \Sigma P_p$$

$$\Sigma P_a = 2.02 Do^2 + 39.64 Do + 461.55$$

$$= 2.02 (3.09)^2 + 39.64 (3.09) + 461.55 = 603.37 \text{ kN}$$

$$\Sigma P_p = 7.06 Do^2 + 81.98 Do$$

$$= 7.06 (3.09)^2 + 81.98 (3.09) = 320.69 \text{ kN}$$

$$T = 603.37 \text{ kN} - 320.69 = 282.68 \text{ kN}$$

6. Momen maksimum

Momen maksimum dimisalkan terletak di atas dasar galian dan x = 0 terletak pada perpotongan turap dengan angkur. Nilai x positif, bila arahnya ke bawah dihitung dari perpotongan dengan *ground anchor*.

$$\Sigma H = 0$$

$$\begin{aligned}
 & (\sigma h_1 \cdot h_3) + \frac{1}{2} (\sigma h_{2a} \cdot h_3) + (\sigma h_{2b} \cdot x) + \frac{1}{2} ((q + (\gamma'_3 \cdot h_3) + (\gamma'_4 \cdot x)) \times K_a - T = 0 \\
 & (18.26 \times 3) + \frac{1}{2} (26.80 \times 3) + (26.80 \times x) + \frac{1}{2} ((54.79 + (8.53 \times 3) + (7.56 \times x)) \times 0.33 - 282.68 = 0 \\
 & 54.79 + 40.19 + 26.80 + 13.40x + 1.26x^2 - 282.68 = 0 \\
 & 1.26x^2 + 40.19 - 187.70 = 0 \\
 & x = 4.13 \text{ m}
 \end{aligned}$$

jarak $x = 4.13$ m dibawah perpotongan turap dengan *ground anchor* atau $(10-4.13) = 5.87$ m diatas dasar galian. Jadi permisalan bahwa momen maks berada diatas dasar galian benar.

$$\begin{aligned}
 M_{\text{maks}} &= 54.79 (\frac{1}{2} \times 3 + 4.13) + 40.19 (\frac{1}{3} \times 3 + 4.13) - ((26.80 \times 4.13) \times (\frac{1}{2} \times 4.13)) - ((13.40 \times 4.13) + (1.26 \times 4.13^2) \times (\frac{1}{3} \times 4.13)) - (2.92.14 \times 4.13) \\
 &= 308.47 + 206.20 - 228.53 - 84.92 - 1167.48 \\
 &= -966.26 \text{ kNm}
 \end{aligned}$$

5.5.2.1 Perencanaan SPP (*Steel Pipe Pile*)

Direncanakan profil *Steel Pipe Pile* ASTM A252 Grade 2 yang dikombinasikan beton dengan data SPP sebagai berikut :

Diameter	= 700 mm
Tebal	= 19 mm
E	= 200000 MPa = 29007600 psi
σ_{allow}	= 20 kg/mm ² = 200000 kN/m ²
I	= 236000 cm ⁴ = 5664 in ⁴ /ft
Z	= 6470 cm ³

1. Reduksi momen Rowe
 - a. Kelenturan relatif (*relative flexibility*) tiang,

$$\rho = \frac{(H+D)^4}{EI}$$

$$H = 13.0 \text{ m} = 511.81 \text{ in}$$

$$D = 4.0 \text{ m} = 157.48 \text{ in}$$

$$\rho = \frac{(511.81 + 157.48)^4}{29007600 \times 5664}$$

$$= 1.22$$

Berdasarkan dari Gambar 2.14, maka didapatkan nilai r_d sebesar 1.

b. Reduksi momen

$$\begin{aligned} \text{Momen design} &= M_{\text{maks}} \times r_d \\ &= 966.26 \text{ kNm} \times 1 \\ &= 966.26 \text{ kNm} \end{aligned}$$

c. Cek penampang profil (*required section modulus*)

$$\begin{aligned} Z_0 &= \frac{M_{\text{design}}}{\sigma_{\text{allow}}} \times 10^6 \\ &= \frac{966.26}{200000} \times 10^6 \\ &= 4831.31 \text{ cm}^3 \end{aligned}$$

$$\begin{aligned} Z_0 &\leq Z \\ 4831.31 \text{ cm}^3 &\leq 6470 \text{ cm}^3 \dots\dots \text{Ok!} \end{aligned}$$

Setelah didapatkan dimensi penampang yang memenuhi SPP disikan dengan beton dengan mutu K175 untuk menambah kekakuan dan memperkecil defleksi yang terjadi pada turap. Data SPP yang telah dikompositkan dengan beton adalah sebagai berikut :

$$\begin{aligned} E_m &= 254611141 \text{ KN/m}^2 \\ I_m &= 0.012 \text{ m}^4 \end{aligned}$$

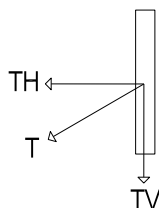
2. Perencanaan *Ground Anchor*

a. Penentuan Jarak *Ground Anchor*

Digunakan jarak antar *ground anchor* 1.5 m.

Maka $T = \text{jarak pemasangan} \times T$

$$= 1.5 \times 282.68 = 424.02 \text{ kN}$$



Gambar 5.22 Gaya Tie Back SPP Behaving Like Sand

Gaya yang harus ditahan oleh *Tie Back* (T) seperti yang terlihat pada Gambar 5.22.

$$T = \frac{TH}{\cos \alpha} = \frac{424.02}{\cos 15} = 438.98 \text{ kN}$$

b. *Anchor Tendon Capacity*

Dipakai 7 buah strand dengan diameter 0.563 inch. Data dari A 416/A416M-06 Grade 270, diperoleh :

$$A_{\text{each}} = 123.90 \text{ mm}^2$$

$$\text{Breaking Load} = 230.0 \text{ kN}$$

$$\text{Yield Load} = 195.5 \text{ kN}$$

$$D_t = 14.29 \text{ mm}$$

$$A_{\text{tot}} = \text{jumlah strand} \times A_{\text{each}}$$

$$= 7 \times 123.90 = 867.30 \text{ mm}^2$$

$$f_u = \frac{\text{Breaking Load}}{A_{\text{each}}}$$

$$= \frac{230.0 \times 1000}{123.90} = 1856.34 \text{ MPa}$$

Tegangan ijin batang Tarik

$$T_{\text{design}} = 0.60 \times f_u \times A$$

$$= 0.60 \times (1856.34 \times 867.30 / 1000)$$

$$= 966.00 \text{ kN}$$

$$T_{\text{proof}} = 0.80 \times f_u \times A$$

$$= 0.80 \times (1861.89 \times 1327.9 / 1000)$$

$$= 1288.00 \text{ kN}$$

Gaya Tarik aktual yang terjadi

$$T_{\text{design}} = T$$

$$T = 438.98 \text{ kN}$$

$$T_{\text{proof}} = 1.3T$$

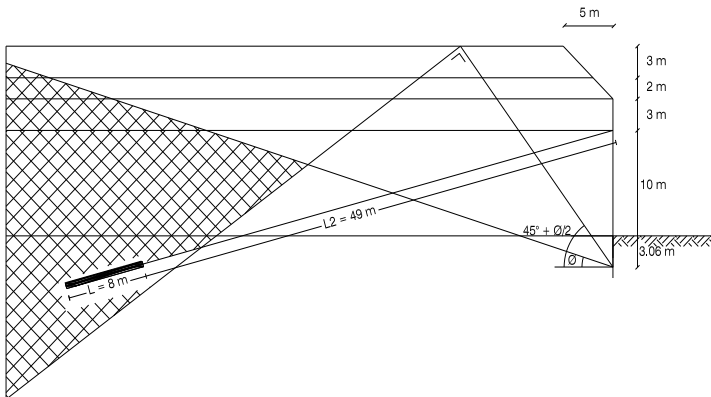
$$= 1.3 \times 438.98 \text{ kN}$$

$$= 570.68 \text{ kN}$$

$$T_{\text{aktual}} < T_{\text{ijin}}$$

$$570.68 \text{ kN} < 1288.00 \text{ kN} \text{ Ok !}$$

c. Kapasitas *Ground Anchor*



Gambar 5.23 Posisi *Ground Anchor* SPP *Behaving Like Sand*

$$\begin{aligned}
 D &= 0.15 \text{ m} \\
 d_2 &= 22 \text{ m} \\
 \gamma_{\text{total}} &= (8.98 \times 3) + (8.93 \times 2) + (8.53 \times 3) + (7.56 \times 10) \\
 &\quad + (7.56 \times 5) \\
 &= 183.78 \text{ kN} \\
 \varphi &= 17.60 \\
 C_u &= 30.00 \\
 \delta &= 2/3 \times \varphi = 11.73 \\
 C_w &= 0.56 \times C_u = 16.8 \\
 r &= \sqrt{1 + \frac{c_w}{c_u}} = \sqrt{1 + \frac{16.8}{30}} = 1.25 \\
 K &= 1 - \sin\varphi = 0.70 \\
 \text{Adhesi, ca} &= r \times C_u = 37.47 \\
 L &= 8 \text{ m} \\
 L_2 &= 49 \text{ m} \\
 T_u &= \pi D L (\gamma_{\text{total}} d_2 K \operatorname{tg}\delta + ca) \\
 &= \pi 0.15 \times 8 (183.78 \times 22 \times 0.70 \operatorname{tg}11.73 + 37.47) \\
 &= 2349.85 \text{ kN}
 \end{aligned}$$

$$\begin{aligned}
 T_{\text{aktual}} &< 0.85 T_u \\
 570.68 \text{ kN} &< 1997.37 \text{ kN} \text{ ok !}
 \end{aligned}$$

3. Defleksi Turap SPP

- a. Perhitungan panjang jepitan kritis tanah terhadap tiang

Kedalaman atau panjang kritis dari tiang yang harus terjepit dalam tanah dapat ditentukan dengan metoda dari PHILIPPONAT seperti dibawah ini :

$$D_c = 3 \text{ m atau } 6 \times \text{diameter}$$

$$= 6 \times 0.7 = 4.2 \text{ m}$$

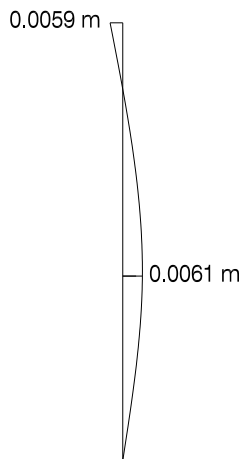
$$D_c \leq \text{kedalaan turap tertanam}$$

$$4.2 \text{ m} < 4 \text{ m} \text{ Tidak ok !}$$

Karena panjang jepitan kritis tidak terpenuhi, maka dilakukan penambahan panjang turap yang tertanam. Jadi panjang tertanam turap agar memenuhi panjang jepitan kritisnya direncanakan sebesar 5 m.

b. Kontrol Defleksi

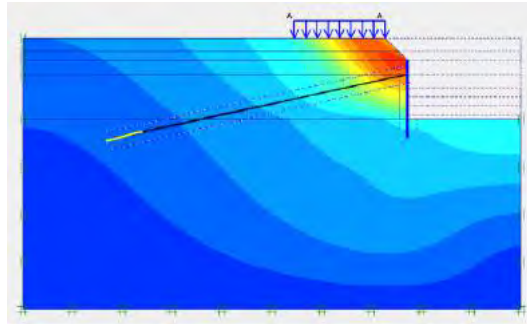
Dengan menggunakan program SAP, diperoleh deformasi akibat gaya-gaya yang terjadi. Besarnya deformasi dapat dilihat pada Gambar 5.24.



Gambar 5.24 Defleksi SPP *Behaving Like Sand* dengan *Ground Anchor*

4. Hasil Program PLAXIS

Hasil *running* program PLAXIS dapat dilihat pada Gambar 5.25 dibawah ini. Pada Gambar 5.25 dapat dilihat deformasi terbesar yang terjadi ditunjukkan pada area gambar yang berwarna jingga.



Gambar 5.25 *Displacement Butiran Tanah Yang Terjadi Pada SPP Turap Berangkur Tanah Asli*

Berdasarkan hasil *running* program PLAXIS terhadap bidang *sliding* yang terjadi, didapatkan nilai *safety factor* sebesar 1.60. Dengan nilai SF = 1.60 maka turap dengan material *bored pile* berangkur aman terhadap kelongsoran.

5. Perencanaan *Capping Beam*

Dalam melakukan perencanaan *capping beam* dalam Tugas Akhir ini, *capping beam* hanya berfungsi sebagai pengikat antar tiang turap. Karena pada perencanaan turap perhitungannya menggunakan tiang tunggal, sehingga pada *capping beam* tidak ada momen yang terjadi. Untuk penulangan *capping beam* hanya menggunakan tulangan susut saja perhitungan penulangan sesuai dengan SNI 2847-2013 Pasal 7.12.2.1.

Data perencanaannya sebagai berikut :

$$b = 1.7 \text{ m}$$

$$h = 1.0 \text{ m}$$

$$f'_c = 29.05 \text{ MPa}$$

$$\text{Cover} = 40 \text{ mm}$$

$$\text{Dimeter tulangan} = 19 \text{ mm}$$

$$d = 1000 - 40 - 13 - 19/2 = 937.5 \text{ mm}$$

$$\rho_{\text{perlu}} = \rho_{\text{minimum}} = 0,0018$$

$$A_s_{\text{perlu}} = 0,0018 \times 1200 \times 937,5 = 2025 \text{ mm}^2$$

Maka, digunakan tulangan D19-150

Untuk tulangan bagi dipakai 20% $A_s = 405 \text{ mm}^2$

Maka, digunakan tulangan D13-250

6. Perencanaan Walling

Direncanakan baja profil WF 400.200.7.11 dengan data sebagai berikut :

$$d = 396 \text{ mm}$$

$$b_f = 199 \text{ mm}$$

$$t_w = 7 \text{ mm}$$

$$t_f = 11 \text{ mm}$$

$$\sigma_{\text{allow}} = 240 \text{ MPa} = 240000 \text{ kN/m}^2$$

$$Z = 1088 \text{ cm}^3$$

a. Max bending moment in the wale

$$M = T \cdot L$$

$$M = 570,68 \times 1,5$$

$$= 856,02 \text{ kNm}$$

b. Cek penampang profil (*required section modulus*)

$$Z_0 = \frac{M}{2 \times \sigma_{\text{allow}}} \times 10^6$$

$$Z_0 = \frac{856,02}{2 \times 240000} \times 10^6 \\ = 1783,37 \text{ cm}^3$$

$$Z_0 \leq 2 \times Z$$

$$1783,37 \text{ cm}^3 \leq 2 \times 1088 \text{ cm}^3$$

$$1783,37 \text{ cm}^3 \leq 2176 \text{ cm}^3 \dots\dots \text{Ok !}$$

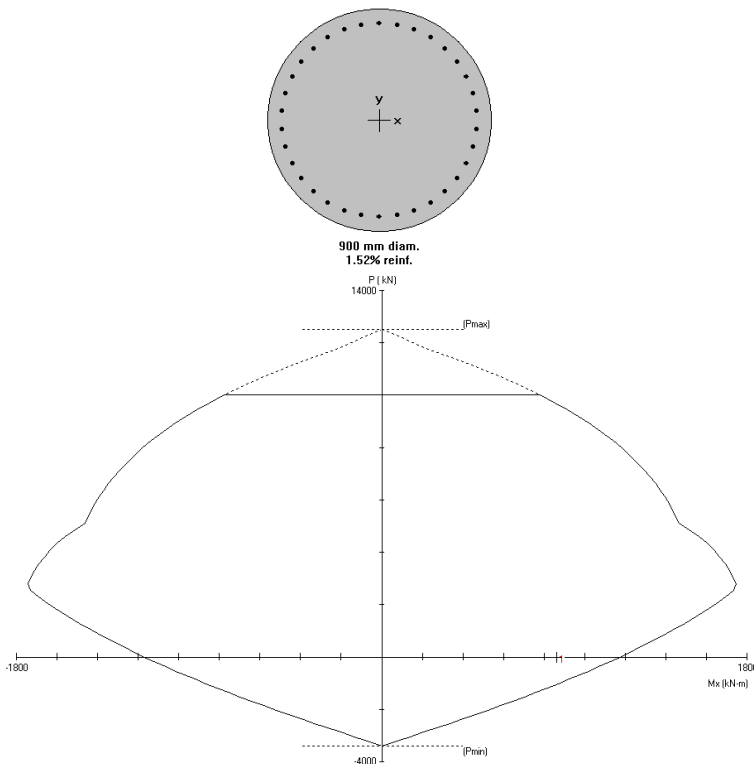
Digunakan profi WF 450.200.9.14 sebanyak 2 buah.

5.5.2.2 Perencanaan *Bored Pile*

1. Perencanaan Tulangan

a. Tulangan Utama

Dengan menggunakan program pca Column, direncanakan *bored pile* berukuran 900 mm dengan mutu beton K350 dan mutu tulangan 390 MPa. Direncanakan tulangan utama berdiameter 19 mm dengan jumlah tulangan 34. Gambar 5.26 berikut adalah gambar diagram interaksi penulangan dari pca Column.



Gambar 5.26 Diagram Interaksi Penulangan Turap *Bored Pile*
Berangkurr Tanah *Behaving Like Sand*

Dari hasil perhitungan didapatkan data *bored pile* sebagai berikut :

$$\begin{aligned}
 \text{Diameter} &= 900 \text{ mm} \\
 E_m &= 27974.69 \text{ Mpa} = 4057393 \text{ psi} \\
 \sigma_{\text{allow}} &= 350 \text{ kg/cm}^2 = 35000 \text{ kN/m}^2 \\
 I_{\text{tr}} &= 3928779 \text{ cm}^4 = 94290.69 \text{ in}^4/\text{ft} \\
 \phi M_n &= 1172.7 \text{ kNm} \\
 Z &= 33506 \text{ cm}^3
 \end{aligned}$$

b. Tulangan Geser

Dipakai pembebanan gaya geser terbesar pada bored pile , dimana $V_u = 213420 \text{ N}$. Berdasarkan SNI 2847-2013 Pasal 11.1.1 desain penampang yang dikenai geser harus didasarkan pada :

$$\begin{aligned}
 \phi V_n &\geq V_u \\
 V_n &= V_c + V_s \\
 V_u &= 213420 \text{ N} \\
 V_c &= 0.17 \lambda \sqrt{f'_c} \times \frac{1}{4} \pi D^2 \\
 &= 0.17 \times 1 \times \sqrt{29.05} \times \frac{1}{4} \pi 900^2 \\
 &= 582903.80 \text{ N}
 \end{aligned}$$

Direncanakan sengkang spiral D13 dengan jarak 200 mm

$$\begin{aligned}
 V_s &= \frac{A_v f_{yt} d}{s} \\
 A_v &= 2 \times \frac{1}{4} \pi D^2 \\
 &= 2 \times \frac{1}{4} \pi 13^2 \\
 &= 265.46 \text{ mm}^2 \\
 d &= 900 - 40 - 13 - 0.5 \times 22 = 836 \text{ mm} \\
 f_y &= 240 \text{ MPa} \\
 V_s &= \frac{265.46 \times 240 \times 836}{200} \\
 &= 266791.90 \text{ N}
 \end{aligned}$$

$$\begin{aligned} V_n &= 582903.80 \text{ N} + 266791.90 \text{ N} \\ &= 849695.71 \text{ N} \end{aligned}$$

$$\begin{aligned} \phi V_n &\geq V_u \\ \phi \times 849695.71 \text{ N} &\geq 213420 \text{ N} \\ 637271.78 \text{ N} &\geq 213420 \text{ N} \quad \text{Ok !} \end{aligned}$$

2. Reduksi momen Rowe
- a. Kelenturan relatif (*relative flexibility*) tiang,

$$\begin{aligned} \rho &= \frac{(H+D)^4}{EI} \\ H &= 13.0 \text{ m} = 511.81 \text{ in} \\ D &= 4.0 \text{ m} = 157.48 \text{ in} \\ \rho &= \frac{(511.81 + 157.48)^4}{4057393 \times 94290.69} \\ &= 0.52 \end{aligned}$$

Berdasarkan dari Gambar 2.14, maka didapatkan nilai r_d sebesar 1.

- b. Reduksi momen

$$\begin{aligned} \text{Momen design} &= M_{\text{maks}} \times r_d \\ &= 966.26 \text{ kNm} \times 1 \\ &= 966.26 \text{ kNm} \end{aligned}$$

- c. Cek penampang profil (*required section modulus*)

$$\begin{aligned} Z_0 &= \frac{M_{\text{design}}}{\sigma_{\text{allow}}} \times 10^6 \\ &= \frac{966.26}{35000} \times 10^6 \\ &= 27607.47 \text{ cm}^3 \end{aligned}$$

$$\begin{aligned} Z_0 &\leq Z \\ 27607.47 \text{ cm}^3 &\leq 33505.71 \text{ cm}^3 \dots\dots \text{Ok !} \end{aligned}$$

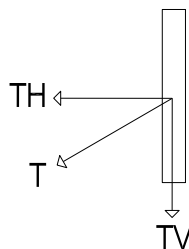
3. Perencanaan *Ground Anchor*

a. Penentuan Jarak *Ground Anchor*

Digunakan jarak antar *ground anchor* 1.90 m.

Maka $T = \text{jarak pemasangan} \times T$

$$= 1.90 \times 282.68 = 537.10 \text{ kN}$$



Gambar 5.27 Gaya Tie Back Bored Pile Behaving Like Sand

$$T = \frac{TH}{\cos \alpha} = \frac{537.10}{\cos 15} = 556.04 \text{ kN}$$

b. *Anchor Tendon Capacity*

Dipakai 7 buah strand dengan diameter 0.600 inch. Data dari A 416/A416M-06 Grade 270, diperoleh :

$$A_{each} = 140 \text{ mm}^2$$

$$\text{Breaking Load} = 260.7 \text{ kN}$$

$$\text{Yield Load} = 221.5 \text{ kN}$$

$$D_t = 15.24 \text{ mm}$$

$$A_{tot} = \text{jumlah strand} \times A_{each}$$

$$= 7 \times 140 = 980.00 \text{ mm}^2$$

$$f_u = \frac{\text{Breaking Load}}{A_{each}}$$

$$= \frac{260.7 \times 1000}{140} = 1862.14 \text{ Mpa}$$

Tegangan ijin batang Tarik

$$\begin{aligned} T_{\text{design}} &= 0.60 \times f_u \times A \\ &= 0.60 \times (1862.14 \times 980.00 / 1000) \end{aligned}$$

$$= 1094.94 \text{ kN}$$

$$\begin{aligned} T_{\text{proof}} &= 0.80 \times f_u \times A \\ &= 0.80 \times (1862.14 \times 980.00 / 1000) \\ &= 1459.92 \text{ kN} \end{aligned}$$

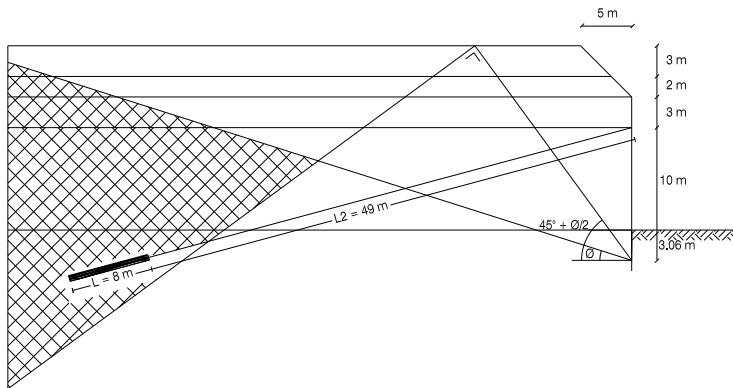
Gaya Tarik aktual yang terjadi

$$\begin{aligned} T_{\text{design}} &= T \\ &= 556.04 \text{ kN} \end{aligned}$$

$$\begin{aligned} T_{\text{proof}} &= 1.3T \\ &= 1.3 \times 556.04 \text{ kN} \\ &= 722.86 \text{ kN} \end{aligned}$$

$$\begin{aligned} T_{\text{aktual}} &< T_{\text{ijin}} \\ 722.86 \text{ kN} &< 1459.92 \text{ kN} \text{ Ok !} \end{aligned}$$

d. Kapastas *Ground Anchor*



Gambar 5.28 Posisi *Ground Anchor Bored Pile Behaving Like Sand*

$$\begin{aligned}
 D &= 0.15 \text{ m} \\
 d_2 &= 22 \text{ m} \\
 \gamma_{\text{total}} &= (8.98 \times 3) + (8.93 \times 2) + (8.53 \times 3) + (7.56 \times 10) \\
 &\quad + (7.56 \times 5) \\
 &= 183.78 \text{ kN} \\
 \phi &= 17.60 \\
 C_u &= 30.00 \\
 \delta &= 2/3 \times \phi = 11.73 \\
 C_w &= 0.56 \times C_u = 16.8 \\
 r &= \sqrt{1 + \frac{c_w}{c_u}} = \sqrt{1 + \frac{16.8}{30}} = 1.25 \\
 K &= 1 - \sin\phi = 0.70 \\
 \text{Adhesi, ca} &= r \times C_u = 37.47 \\
 L &= 8 \text{ m} \\
 L_2 &= 49 \text{ m} \\
 T_u &= \pi D L (\gamma_{\text{total}} d_2 K \tan\delta + ca) \\
 &= \pi 0.15 \times 8 (183.78 \times 22 \times 0.70 \tan 11.73 + 37.47) \\
 &= 2349.85 \text{ kN}
 \end{aligned}$$

$$\begin{aligned}
 T_{\text{aktual}} &< 0.85 T_u \\
 722.86 \text{ kN} &< 1997.37 \text{ kN} \text{ ok !}
 \end{aligned}$$

4. Defleksi Turap *SPP*

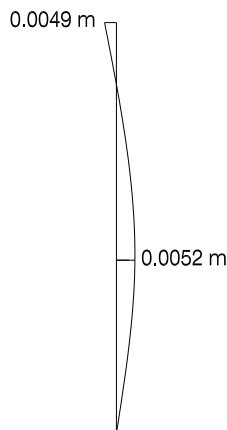
- a. Perhitungan panjang jepitan kritis tanah terhadap tiang
 Kedalaman atau panjang kritis dari tiang yang harus terjepit dalam tanah dapat ditentukan dengan metoda dari PHILIPPONAT seperti dibawah ini :

$$\begin{aligned}
 D_c &= 3 \text{ m atau } 6 \times \text{diameter} \\
 &= 6 \times 0.9 = 6.3 \text{ m} \\
 D_c &\leq \text{kedalaan turap tertanam} \\
 6.3 \text{ m} &< 4 \text{ m Tidak ok !}
 \end{aligned}$$

Karena panjang jepitan kritis tidak terpenuhi, maka dilakukan penambahan panjang turap yang tertanam. Jadi panjang tertanam turap agar memenuhi panjang jepitan kritisnya direncanakan sebesar 7 m.

b. Kontrol Defleksi

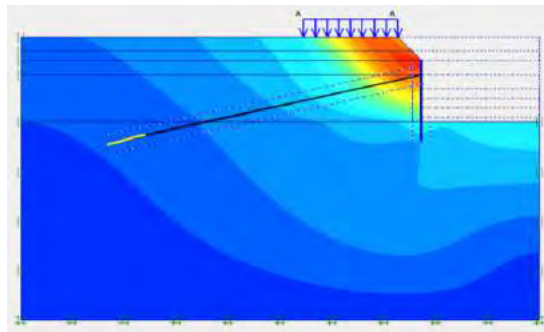
Dengan menggunakan program SAP, diperoleh deformasi akibat gaya-gaya yang terjadi. Besarnya deformasi dapat dilihat pada Gambar 5.36.



Gambar 5.29 Defleksi *Bored Pile Behaving Like Sand* dengan *Ground Anchor*

5. Hasil Program PLAXIS

Hasil *running* program PLAXIS dapat dilihat pada Gambar 5.30 dibawah ini. Pada Gambar 5.30 dapat dilihat deformasi terbesar yang terjadi ditunjukkan pada area gambar yang berwarna jingga.



Gambar 5.30 *Displacement Butiran Tanah Yang Terjadi Pada Bored Pile Turap Berangkur Behaving Like Sand*

Berdasarkan hasil *running* program PLAXIS terhadap bidang *sliding* yang terjadi, didapatkan nilai *safety factor* sebesar 1.59. Dengan nilai SF = 1.59 maka turap dengan material *bored pile* berangkur aman terhadap kelongsoran.

6. Perencanaan *Capping Beam*

Dalam melakukan perencanaan *capping beam* dalam Tugas Akhir ini, *capping beam* hanya berfungsi sebagai pengikat antar tiang turap. Karena pada perencanaan turap perhitungannya menggunakan tiang tunggal, sehingga pada *capping beam* tidak ada momen yang terjadi. Untuk penulangan *capping beam* hanya menggunakan tulangan susut saja perhitungan penulangan sesuai dengan SNI 2847-2013 Pasal 7.12.2.1.

Data perencanaannya sebagai berikut :

$$b = 1.4 \text{ m}$$

$$h = 1.0 \text{ m}$$

$$f_{c'} = 29.05 \text{ MPa}$$

$$\text{Cover} = 40 \text{ mm}$$

$$\text{Dimeter tulangan} = 19 \text{ mm}$$

$$d = 1000 - 40 - 13 - 19/2 = 937.5 \text{ mm}$$

$$\rho_{\text{perlu}} = \rho_{\text{minimum}} = 0,0018$$

$$A_s_{\text{perlu}} = 0,0018 \times 1400 \times 937,5 = 2362,5 \text{ mm}^2$$

Maka, digunakan tulangan D19-125

Untuk tulangan bagi dipakai 20% $A_s = 472,5 \text{ mm}^2$

Maka, digunakan tulangan D13-250

7. Perencanaan Walling

Direncanakan baja profil WF 450.200.9.14 dengan data sebagai berikut :

$$d = 450 \text{ mm}$$

$$b_f = 200 \text{ mm}$$

$$t_w = 9 \text{ mm}$$

$$t_f = 14 \text{ mm}$$

$$\sigma_{\text{allow}} = 240 \text{ MPa} = 240000 \text{ kN/m}^2$$

$$Z = 1621 \text{ cm}^3$$

a. Max bending moment in the wale

$$M = T \cdot L$$

$$M = 722,86 \times 1,9$$

$$= 1373,43 \text{ kNm}$$

b. Cek penampang profil (*required section modulus*)

$$Z_0 = \frac{M}{2 \times \sigma_{\text{allow}}} \times 10^6$$

$$Z_0 = \frac{1373,43}{2 \times 240000} \times 10^6 \\ = 2957,08 \text{ cm}^3$$

$$Z_0 \leq 2 \times Z \\ 2861,31 \text{ cm}^3 \leq 2 \times 1621 \text{ cm}^3$$

$$2861,31 \text{ cm}^3 \leq 3242 \text{ cm}^3 \dots \dots \text{ Ok !}$$

Digunakan profi WF 450.200.9.14 sebanyak 2 buah.

5.5.3 Hasil Perhitungan Turap Berangkur

Berdasarkan hasil perhitungan turap berangkur dengan kondisi tanah asli dan *behaving like sand* dengan material SPP dan *bored pile* dapat dilihat pada Tabel 5.10.

Tabel 5.10 Hasil Perhitungan Turap Berangkur

Turap Berangkur				
Kondisi Tanah	Tanah Asli		<i>Behaving Like Sand</i>	
Jenis Turap	SPP	<i>Bored Pile</i>	SPP	<i>Bored Pile</i>
Diameter (mm)	500	700	700	900
Panjang (m)	16	16	18	20
Total Turap				
Jarak Turap (m)	0.55	0.75	0.75	0.95
Panjang Angkur (m)	47	47	57	57
Jarak Angkur (m)	2.20	2.25	1.50	1.90
SF	1.45	1.45	1.60	1.59

5.6 Perhitungan Harga Bahan dari Alternatif Perkuatan

Pada sub bab ini akan dibahas berapa besar volume dan harga bahan yang dibutuhkan sebagai alternatif perkuatan. Perhitungan ini hasil perhitungan volume dan harga bahan dari kedua alternatif perkuatan .

5.6.1 Analisa Harga Turap Kantilever

Pada Tabel 5.11 ditampilkan jumlah total harga dari perkuatan turap kantilever. Total harga meliputi dari jumlah *pile* dan *capping beam* pada masing-masing jenis perkuatan. Untuk detail perhitungan dapat dilihat pada lampiran 2.

Tabel 5.11 Harga Perkuatan Turap Kantilever

No	Jenis perkuatan	Harga	Jumlah	Tota Harga
1	TurapKantilever Tanah Asli			
1.1	- <i>Steel Pipe Pile</i> - <i>Capping Beam</i> - <i>Subdrain</i>	Rp 135,531,649.97 Rp 156,471,163.64 Rp 1,713,047.64	81 80	Rp 10,978,063,648 Rp 156,471,164 Rp 137,043,811
	Jumlah			Rp 11,271,578,623
1.2	- <i>Bored Pile</i> - <i>Capping Beam</i> - <i>Subdrain</i>	Rp 47,392,155.82 Rp 163,611,163.64 Rp 1,713,047.64	73 72	Rp 3,459,627,375 Rp 163,611,164 Rp 123,339,430
	Jumlah			Rp 3,746,577,969
2	TurapKantilever <i>Behaing Like Sand</i>			
2.1	- <i>Steel Pipe Pile</i> - <i>Capping Beam</i> - <i>Subdrain</i>	Rp 258,321,116.40 Rp 190,951,700.68 Rp 1,713,047.64	61 60	Rp 15,757,588,101 Rp 190,951,701 Rp 102,782,859
	Jumlah			Rp 16,051,322,660
2.2	- <i>Bored Pile</i> - <i>Capping Beam</i> - <i>Subdrain</i>	Rp 122,292,680.31 Rp 198,944,997.13 Rp 1,713,047.64	56 55	Rp 6,848,390,097 Rp 198,944,997 Rp 94,217,620
	Jumlah			Rp 7,141,552,715

5.6.2 Analisa Harga Turap Berangkur

Pada Tabel 5.12 ditampilkan jumlah total harga dari perkuatan turap mengguakan *ground anchor*. Total harga meliputi dari jumlah *pile*, *capping beam*, dan *ground anchor* pada masing-masing jenis perkuatan. Untuk detail perhitungan dapat dilihat pada lampiran 2.

Tabel 5.12 Harga Perkuatan Turap Berangkur

No	Jenis perkuatan	Harga	Jumlah	Tota Harga
1	Turap berangkur Tanah Asli			
1.1	- <i>Steel Pipe Pile</i> - <i>Ground anchor</i> - <i>Capping Beam</i> - <i>Walling</i> - <i>Subdrain</i>	Rp 56,368,397 Rp 28,935,589 Rp 115,526,246 Rp 38,615,715 Rp 1,713,048	125 33 124	Rp 7,046,049,636 Rp 954,874,451 Rp 115,526,246 Rp 38,615,715 Rp 212,417,908
	Jumlah			
1.2	- <i>Bored Pile</i> - <i>Ground anchor</i> - <i>Capping Beam</i> - <i>Walling</i> - <i>Subdrain</i>	Rp 21,161,263 Rp 28,935,589 Rp 144,329,822 Rp 74,261,708 Rp 1,713,048	92 32 91	Rp 1,946,836,156 Rp 925,938,861 Rp 144,329,822 Rp 74,261,708 Rp 155,887,335
	Jumlah			
2	Turap berangkur <i>Behaving Like Sand</i>			
2.1	- <i>Steel Pipe Pile</i> - <i>Ground anchor</i> - <i>Capping Beam</i> - <i>Walling</i> - <i>Subdrain</i>	Rp 91,600,652 Rp 64,593,712 Rp 144,329,822 Rp 74,261,708 Rp 1,713,048	92 47 91	Rp 8,427,259,960 Rp 3,035,904,444 Rp 144,329,822 Rp 74,261,708 Rp 155,887,335
	Jumlah			
2.2	- <i>Bored Pile</i> - <i>Ground anchor</i> - <i>Capping Beam</i> - <i>Walling</i> - <i>Subdrain</i>	Rp 27,894,833 Rp 72,901,899 Rp 163,611,164 Rp 74,261,708 Rp 1,713,048	73 38 72	Rp 2,036,322,825 Rp 2,770,272,170 Rp 163,611,164 Rp 74,261,708 Rp 123,339,430
	Jumlah			
				Rp 5,167,807,297

“Halaman ini sengaja dikosongkan”

Table 3.2 : Bor and SPT titik B - 1

Bore No : B - 1
Project : PABRIK KACA TOL PANDAAN - GEMPOL
Location : STA. 6 + 550 KABUPATEN PASURUAN

Coordinates of GPS (UTM)	X =	068822
	Y =	915706
Diameter of Bore	:	73 mm
Diameter of Casing	:	89 mm

BORE LOG

Spiral Welded Steel Pipe

Available Specification

Production Range

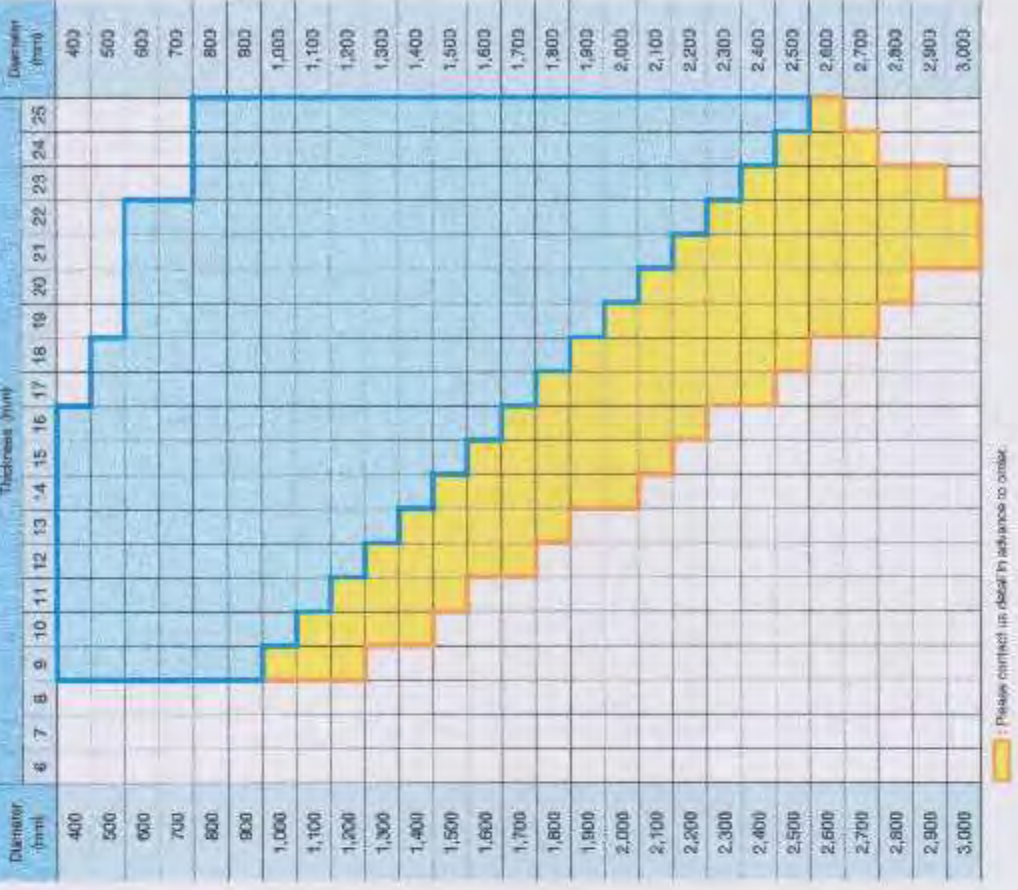
JIS A526.1 A5290

Grade	Chemical Composition (%)										Mechanical Properties									
	C	Ni	P	S	Cr	Mn	Ni	Al	V	Nb	Ceq	Ult. Yield Tensile Strength, MPa	Ult. Yield Tensile Strength, MPa	Ult. Tensile Strength, MPa	Yield Strength, MPa	Impact Energy, J at 50°C, Average (Impact Energy, J at 50°C, Average Length, mm)	Impact Energy, J at -20°C, Average (Impact Energy, J at -20°C, Average Length, mm)			
JIS G3106	0.16	-	(0.04)	0.04	-	-	-	-	-	-	0.08	335	-	335	235	16	-	-	-	
JIS G3107	0.16	(0.07)	(0.05)	-	-	-	-	-	-	-	0.08	335	-	335	235	16	-	-	-	
JIS G3108	0.16	(0.07)	(0.05)	-	-	-	-	-	-	-	0.08	335	-	335	235	16	-	-	-	

Yield Stress 235 MPa

*For other yield stresses, please contact us directly or reference to chart.

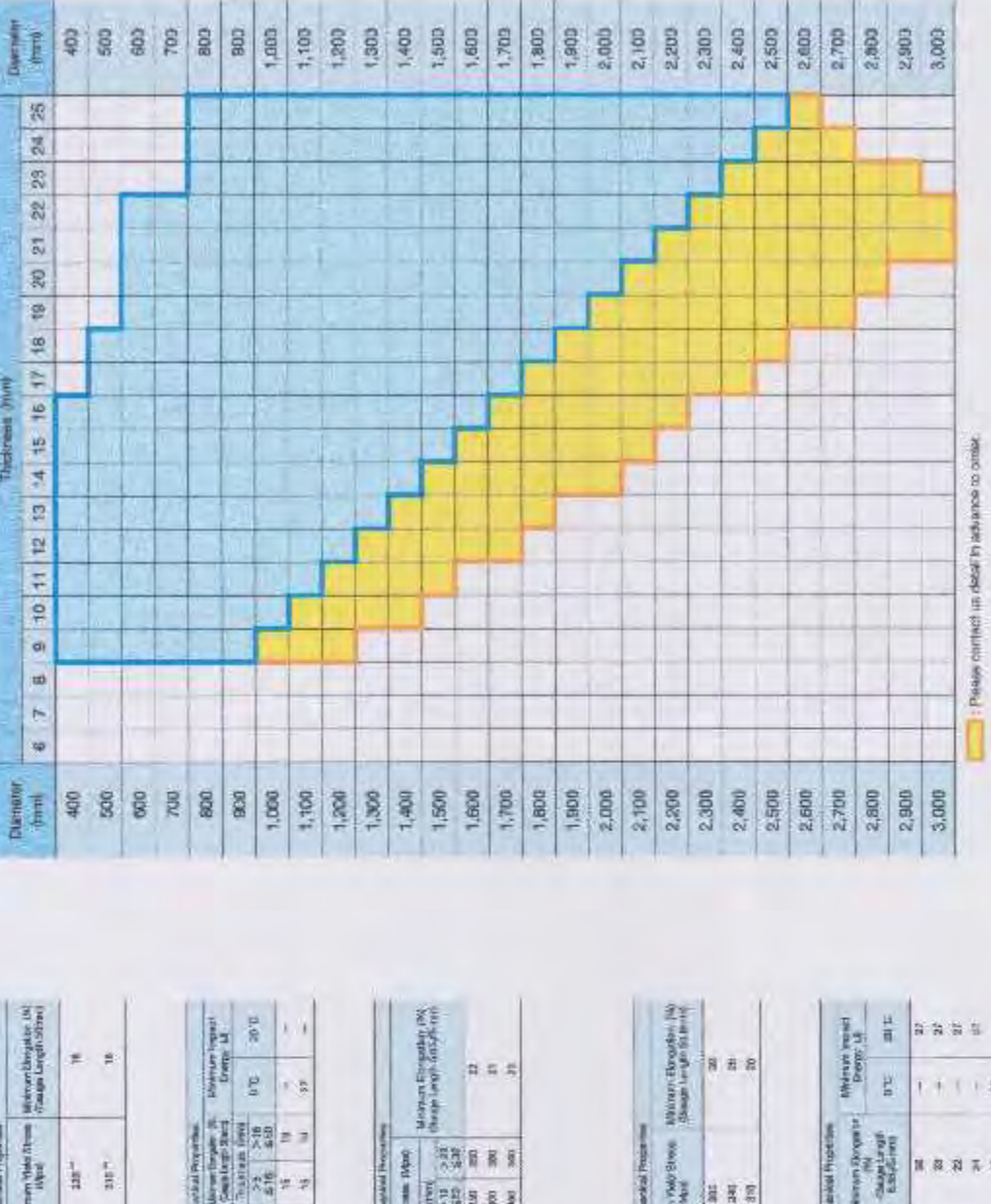
JIS G 3106



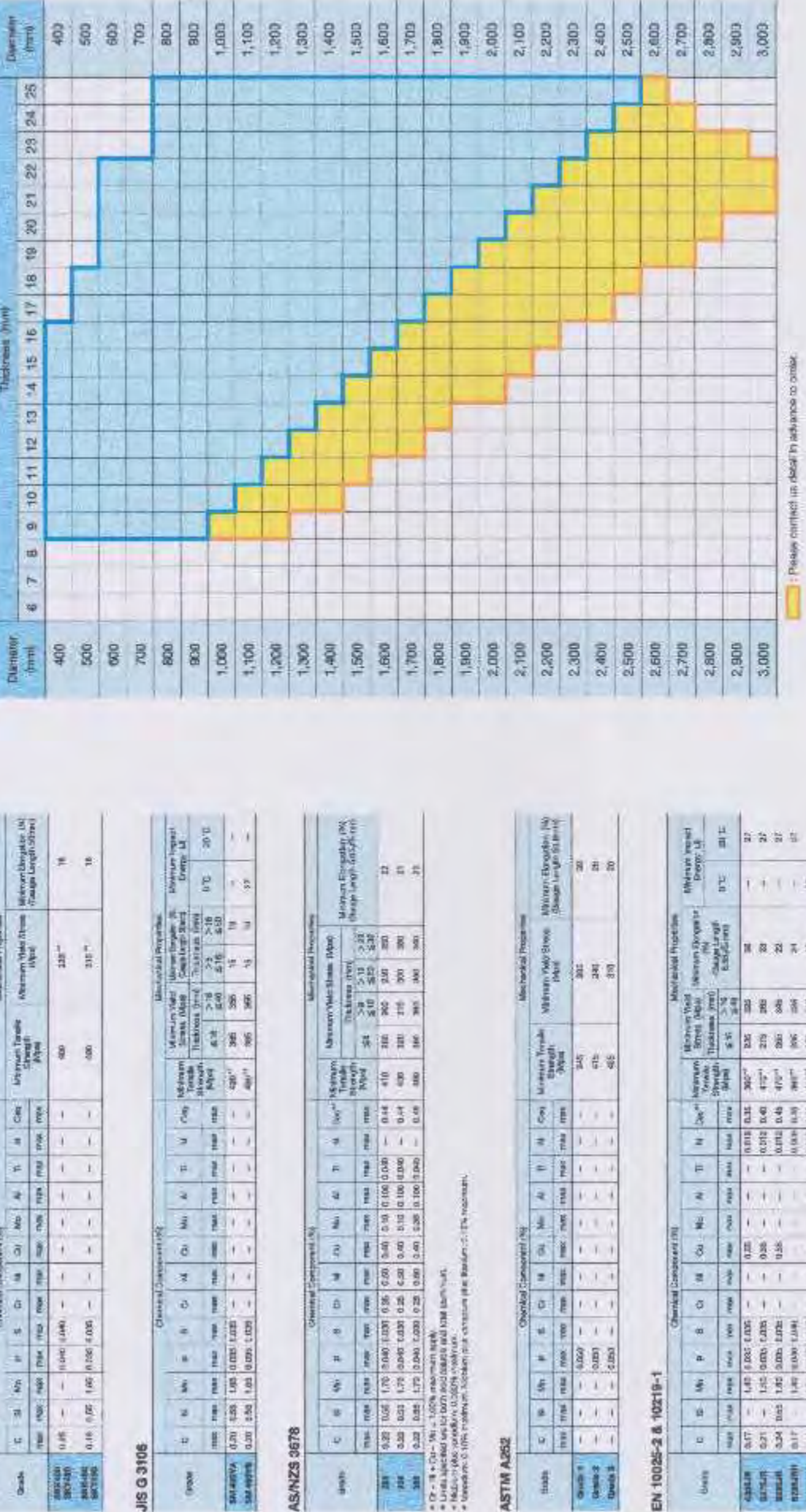
EN 10026-2 & 10219-1

Grade	Chemical Composition (%)										Mechanical Properties									
	C	Ni	P	S	Cr	Mn	Ni	Al	V	Nb	Ceq	Ult. Yield Tensile Strength, MPa	Ult. Yield Tensile Strength, MPa	Ult. Tensile Strength, MPa	Yield Strength, MPa	Impact Energy, J at 50°C, Average (Impact Energy, J at 50°C, Average Length, mm)	Impact Energy, J at -20°C, Average (Impact Energy, J at -20°C, Average Length, mm)			
EN 10026-2	0.17	-	0.02	0.035	-	-	0.25	-	-	-	0.08	305	-	305	205	20	-	-	-	
EN 10026-2	0.21	-	0.03	0.035	-	-	0.26	-	-	-	0.08	305	-	305	205	20	-	-	-	
EN 10026-2	0.24	0.03	0.03	0.035	-	-	0.28	-	-	-	0.08	305	-	305	205	20	-	-	-	
EN 10026-2	0.17	-	0.04	0.035	-	-	0.25	-	-	-	0.08	305	-	305	205	20	-	-	-	
EN 10026-2	0.20	0.03	0.035	0.035	-	-	0.28	-	-	-	0.08	305	-	305	205	20	-	-	-	

Yield Stress 235 MPa



JIS A262



Yield Stress 235 MPa

*For other yield stresses, please contact us directly or reference to chart.

^a As recommended by standard holder or vendor.
^b Only limited range of material available.
^c Available on request.
^d Only limited range of material available.
^e Only limited range of material available.

: Please contact us directly or reference to chart.



NOTE 2—This product is a composite of seven wires and is produced to mechanical properties only. The chemical composition of all wires or any individual wire is not pertinent to this application, and heat identity is not necessarily maintained. It is possible that wire from more than one heat may be used in the manufacture of a reel or pack. Traceability is based on pack identity as maintained and reported by the manufacturer.

5.3 *Treatment*—After stranding, low-relaxation strand shall be subjected to a continuous thermal-mechanical treatment to produce the prescribed mechanical properties. For stress-relieved (normal-relaxation) strand, only thermal treatment is necessary. Temper colors which result from the stress-relieving operation are considered normal for the finished appearance of this strand.

6. Mechanical Properties

6.1 Methods of testing for mechanical properties are described in Annex A7 of Test Methods and Definitions A 370. Low-relaxation strand shall also be tested as prescribed in Methods E 328.

6.2 *Breaking Strength*—The breaking strength of the finished strand shall conform to the requirements prescribed in Table 1.

6.3 *Yield Strength*—Yield strength in kN [pounds] shall be measured at 1 % extension under load. The minimum yield strength shall be 90 % for low-relaxation strand and 85 % for stress-relieved (normal-relaxation) strand of the breaking strength listed in Table 1. Initial loads for the test and minimum yield strengths are listed in Table 2.

6.3.1 The extension under load shall be measured by an extensometer calibrated with the smallest division not larger than 0.0001 mm/mm [0.0001 in./in.] of gage length.

6.4 *Elongation*—The total elongation under load shall not be less than 3.5 % using a gage length of not less than 600 mm [24 in.]. It shall be permissible to determine the total elongation value by adding, to the 1.0 % yield extension, the percent extension or movement between the jaws gripping the strand after yield determination. The percent is calculated on the new base length of jaw-to-jaw distance.

6.5 *Relaxation Properties*—Low-relaxation strand shall have relaxation losses of not more than 2.5 % when initially loaded to 70 % of specified minimum breaking strength or not

more than 3.5 % when loaded to 80 % of specified minimum breaking strength of the strand after 1000 h tested under the conditions listed in 6.5.1 through 6.5.7.

6.5.1 If required, relaxation evidence shall be provided from the manufacturer's records of tests on similarly dimensioned strand of the same grade.

6.5.2 The temperature of the test specimen shall be maintained at $20 \pm 2^\circ\text{C}$ [$68 \pm 3.5^\circ\text{F}$].

6.5.3 The test specimen shall not be subjected to loading prior to the relaxation test.

6.5.4 The initial load shall be applied uniformly over a period of not less than 3 min and not more than 5 min, and the gage length shall be maintained constant; load relaxation readings shall commence 1 min after application of the total load.

6.5.5 Over-stressing of the test specimen during the loading operation shall not be permitted.

6.5.6 The duration of the test shall be 1000 h or a shorter period of at least 200 h, provided it can be shown by records that an extrapolation of the shorter period test results to 1000 h will provide similar relaxation values as the full 1000 h test.

6.5.7 The test gage length shall be at least 60 times the nominal diameter. If this gage length exceeds the capacity of the extensometer or testing machine, then it shall be permitted to substitute a gage length of 40 times the nominal strand diameter.

7. Dimensions and Permissible Variations

7.1 The size of the finished strand shall be expressed as the nominal diameter of the strand in millimetres [inches].

7.2 The diameter of the center wire of any strand shall be larger than the diameter of any outer wire in accordance with Table 3.

7.3 Permissible Variations in Diameter:

7.3.1 All Grade 1725 [250] strand shall conform to a size tolerance of ± 0.40 mm [± 0.016 in.] from the nominal diameter measured across the crowns of the wires.

7.3.2 All Grade 1860 [270] strand shall conform to a size tolerance of $+0.65, -0.15$ mm [$+0.026, -0.006$ in.] from the nominal diameter measured across the crowns of the wire.

TABLE 1 Breaking Strength Requirements

Strand Designation No.	Diameter of Strand, mm [in.]	Minimum Breaking Strength of Strand, kN [lbf]	Steel Area of Strand, mm ² [in. ²]	Weight of Strand kg/1000 m [lb/1000 ft]
Grade 1725 [250]				
6	6.4 [0.250]	40.0 [9 000]	23.2 [0.036]	182 [122]
8	7.9 [0.313]	64.5 [14 500]	37.4 [0.058]	294 [197]
9	9.5 [0.375]	89.0 [20 000]	51.6 [0.080]	405 [272]
11	11.1 [0.438]	120.1 [27 000]	69.7 [0.108]	548 [367]
13	12.7 [0.500]	160.1 [36 000]	92.9 [0.144]	730 [490]
15	15.2 [0.600]	240.2 [54 000]	139.4 [0.216]	1094 [737]
Grade 1860 [270]				
9	9.53 [0.375]	102.3 [23 000]	54.8 [0.085]	432 [290]
11	11.11 [0.438]	137.9 [31 000]	74.2 [0.115]	582 [390]
13	12.70 [0.500]	183.7 [41 300]	98.7 [0.153]	775 [520]
13a	13.20 [0.520]	200.2 [45 000]	107.7 [.0167]	844 [568]
14	14.29 [0.563]	230.0 [51 700]	123.9 [.0192]	970 [651]
15	15.24 [0.600]	260.7 [58 600]	140.0 [0.217]	1102 [740]
18	17.78 [0.700]	353.2 [79 400]	189.7 [0.294]	1487 [1000]

TABLE 2 Yield Strength Requirements

Strand Designation No.	Nominal Diameter of Strand mm [in.]	Initial Load, kN [lbf]	Minimum Load at 1 % Extension, kN [lbf]	
			Low-Relaxation	Normal-Relaxation
Grade 1725 [250]				
6	6.4 [0.250]	4.0 [900]	36.0 [8 100]	34.0 [7 650]
8	7.9 [0.313]	6.5 [1 450]	58.1 [13 050]	54.7 [12 300]
9	9.5 [0.375]	8.9 [2 000]	80.1 [18 000]	75.6 [17 000]
11	11.1 [0.438]	12.0 [2 700]	108.1 [24 300]	102.3 [23 000]
13	12.7 [0.500]	16.0 [3 600]	144.1 [32 400]	136.2 [30 600]
15	15.2 [0.600]	24.0 [5 400]	216.2 [48 600]	204.2 [45 900]
Grade 1860 [270]				
9	9.53 [0.375]	10.2 [2 300]	92.1 [20 700]	87.0 [19 550]
11	11.11 [0.438]	13.8 [3 100]	124.1 [27 900]	117.2 [26 350]
13	12.70 [0.500]	18.4 [4 130]	165.3 [37 170]	156.1 [35 100]
13a	13.20 [0.520]	20.0 [4 500]	180.1 [40 500]	170.1 [38 250]
14	14.29 [0.563]	23.0 [5 170]	207.0 [46 530]	195.5 [43 950]
15	15.24 [0.600]	26.1 [5 860]	234.6 [52 740]	221.5 [49 800]
18	17.78 [0.700]	35.3 [7 940]	318.0 [71 500]	300.2 [67 500]

TABLE 3 Diameter Relation Between Center and Outer Wires

Strand Designation No.	Nominal Diameter of Strands, mm [in.]	Minimum Difference Between Center Wire Diameter and Diameter of Any Outer Wire, mm [in.]
Grade 1725 [250]		
6	6.4 [0.250]	0.025 [0.001]
8	7.9 [0.313]	0.038 [0.0015]
9	9.5 [0.375]	0.051 [0.002]
11	11.1 [0.438]	0.064 [0.0025]
13	12.7 [0.500]	0.076 [0.003]
15	15.2 [0.600]	0.102 [0.004]
Grade 1860 [270]		
9	9.53 [0.375]	0.0508 [0.002]
11	11.11 [0.438]	0.0635 [0.0025]
13	12.70 [0.500]	0.0762 [0.003]
13a	13.20 [0.520]	0.0762 [0.003]
14	14.29 [0.563]	0.0889 [0.0035]
15	15.24 [0.600]	0.1016 [0.004]
18	17.78 [0.700]	0.1143 [0.0045]

7.3.3 Variation in cross-sectional area and in unit stress resulting therefrom shall not be cause for rejection provided that the diameter differences of the individual wires and the diameters of the strand are within the tolerances specified.

7.4 It shall be permitted to furnish, under this specification, specially dimensioned low-relaxation and stress-relieved (normal-relaxation) strands with nominal diameters up to 19 mm [0.750 in.]. The breaking strength shall be defined, and the yield strength, as defined in 6.3, shall not be less than 90 % and 85 % of the specified minimum breaking strength for low-relaxation and stress-relieved (normal relaxation) strands, respectively. All other requirements shall apply.

8. Workmanship, Finish, and Appearance

8.1 Joints:

8.1.1 There shall be no strand joints or strand splices in any length of the completed strand unless specifically permitted by the purchaser.

8.1.2 During the process of manufacture of individual wires for stranding, welding shall be permitted only prior to or at the size of the last thermal treatment, for example, patenting or

controlled cooling. There shall be no welds in the wire after it has been drawn through the first die in the wire drawing except as provided in 8.1.3.

8.1.3 During fabrication of the strand, butt-welded joints are permitted in the individual wires, provided there shall not be more than one such joint in any 45-m [150-ft] section of the completed strand.

8.1.4 When specifically ordered as "Weldless," a product free of welds shall be furnished. When "Weldless" is specified, the strand is produced as one continuous length with no welds as allowed by 8.1.3.

8.2 The finished strand shall be uniform in diameter and shall be free of imperfections not consistent with good commercial strand practices.

8.3 When the strand is cut without seizings, the wire shall not fly out of position. If any wire flies out of position and can be replaced by hand, the strand shall be considered satisfactory.

8.4 The strand shall not be oiled or greased. Slight rusting, provided it is not sufficient to cause pits visible to the unaided eye, shall not be cause for rejection.

Sifat Mekanis Batang Struktural									
	Jenis	tu (Mpa)	f_y (Mpa)		i_x = $\sqrt{\frac{I_x}{A}}$		Z_x = $\frac{t_w d^2}{4} + (b_f - t_w) * (d - t_f) t_f$		
WF	HJ 34	340	210						
	BJ 37	370	240						
	BJ 41	410	250						
	BJ 50	50	290						
	BJ55	51	410						
Sectional Dimension									
d	x	b/f	w	t_f	t	H2	Sec.of Area	Unit Weight	Geometrical Moment of Inertia (cm ⁴)
mm	mm	mm	mm	mm	mm	mm	mm ²	kg/m	I_x I_y S_x S_y S_t
WF	346 x 174	6.0	9.0	14.0	300.0	52.68	41.35	11100	792 14.82 3.88 642 91 689 13.9
	350 x 175	7.0	11.0	14.0	300.0	63.14	49.56	11600	984 14.68 3.95 777 112 841 17.2
	346 x 250	9.0	14.0	20.0	272.0	101.50	79.68	21700	3650 14.62 6.00 1276 292 13600 15.22 8.84 2303 777 2493 1175
	350 x 350	12.0	19.0	20.0	272.0	173.90	136.51	40300	1450 16.65 4.48 1010 146 1088 222 9.05 48.86
WF	396 x 199	7.0	11.0	16.0	342.0	72.16	56.65	20600	1740 16.79 4.55 1185 174 1286 266 7.69 42.75
	400 x 200	8.0	13.0	16.0	342.0	84.12	66.03	23700	72.0 16.87 7.28 1985 481 2116 729 9.38 31.40
	390 x 300	10.0	16.0	22.0	314.0	136.00	106.76	38700	66600 22400 17.45 10.12 2330 120 3600 1695 1695 9.52 24.15
	400 x 400	13.0	21.0	22.0	314.0	218.70	171.68	66600	1870 18.61 4.40 1489 187 1621 289 7.14 42.89
WF	450 x 200	9.0	14.0	18.0	386.0	96.76	75.96	33500	56100 18.88 7.18 2550 541 2728 822 8.33 32.36
	440 x 300	11.0	18.0	24.0	356.0	157.40	123.56	41900	1840 20.34 4.26 1690 185 1836 287 7.11 47.56
WF	496 x 199	9.0	14.0	26.0	428.0	101.30	79.52	47800	2140 20.46 4.33 1912 214 2096 332 6.25 42.80
	500 x 200	10.0	16.0	20.0	428.0	114.20	89.65	60400	6760 20.37 6.82 2506 451 2663 689 1.000 36.36
	482 x 300	11.0	15.0	26.0	400.0	145.50	114.22	8110	20.84 7.04 2910 541 3100 824 8.33 36.36
	488 x 300	11.0	18.0	26.0	400.0	163.50	128.35	71000	68700 1980 23.88 4.05 2305 199 2535 311 6.63 52.20
WF	596 x 199	10.0	15.0	22.0	522.0	120.50	94.59	10550	2280 24.03 4.12 2387 228 2863 357 5.88 47.45
	600 x 200	11.0	17.0	22.0	522.0	134.40	105.50	77600	103000 7670 24.30 6.63 3580 511 3782 785 8.82 41.00
	582 x 300	12.0	17.0	28.0	492.0	174.50	136.98	118000	9020 24.76 6.85 4014 601 4309 920 7.50 41.00
	588 x 300	12.0	20.0	28.0	492.0	192.50	151.11	184.87	201000 10800 30.54 7.08 5743 720 6249 1108 6.25 45.85
WF	700 x 300	13.0	24.0	28.0	596.0	215.50	184.87	292000	117000 33.05 6.61 7300 780 7995 1207 5.77 49.43
	800 x 300	14.0	26.0	28.0	692.0	267.40	209.91	411000	126000 36.42 6.38 9133 840 10174 1314 5.36 49.25
WF	900 x 300	16.0	28.0	28.0	788.0	309.80	243.19	411000	

$$i_y = \sqrt{\frac{I_y}{A}}$$

$$i_y = \sqrt{\frac{b_f d^2}{2} + (b_f - t_w)(d - t_f)t_f}$$

*Table 8.3.2 SNT/03-1/29-2002

**PSS/1994 Chapter 10

Jenis Pekerjaan	Bahan	Diameter m	tebal m	jumlah	Panjang m	Luas mm ²	volume m ³	berat/m kg	BOQ	satuan	Harga	Total Harga per Pile	Jumlah	Total Harga Perkuatan
Subdrain	Kerikil	0.4		24		3.0159289	3.015928947	m ³	Rp 428,000.00	Rp 1,290,817.59	1	Rp 1,290,817.59		
	Geotextile NW			24	30.15928947		30.15928947	m ³	Rp 14,000.00	Rp 422,230.05		Rp 422,230.05		Rp 1,713,047.64
							Total							

No	Jenis Perkuatan	Bahan	Diameter mm	Panjang m	Luas mm ²	Volume m ³	berat kg	BOQ	satuan	Harga	Total Harga	Jumlah	Jumlah Total Harga
1	SPP diameter 700 tebal 19mm	Ground Anchor	Grout 1	100	40	7853.981634	0.3141593	0.298815265	m ³	Rp 1,500,000.00	Rp 448,222.90	33	Rp 14,791,355.64
				150	7	17671.45868	0.1237002			Rp 1,500,000.00	Rp 181,522.52	33	Rp 5,990,243.03
			Strand	47	383.60	0.0180292	7850	141.52922	kg	Rp 200,000.00	Rp 28,305,844.00	33	Rp 934,092,852.00
						Total							Rp 954,874,450.67
2	Bored Pile Diameter 700	Ground Anchor	Grout 1	100	40	7853.981634	0.3141593	0.298815265	m ³	Rp 1,500,000.00	Rp 448,222.90	32	Rp 14,343,132.74
				150	7	17671.45868	0.1237002			Rp 1,500,000.00	Rp 181,522.52	32	Rp 5,808,720.52
			Strand	47	383.60	0.0180292	7850	141.52922	kg	Rp 200,000.00	Rp 28,305,844.00	32	Rp 905,787,008.00
						Total							Rp 925,938,861.25
3	SPP diameter 700 tebal 19mm	Ground Anchor	Grout 1	100	40	7853.981634	0.3141593	0.279467265	m ³	Rp 1,500,000.00	Rp 419,200.90	47	Rp 19,702,442.21
				150	7	17671.45868	0.1237002			Rp 1,500,000.00	Rp 176,443.67	47	Rp 8,292,852.31
			Strand	47	867.30	0.0407631	7850	319.990335	kg	Rp 200,000.00	Rp 63,998,067.00	47	Rp 3,007,909,149.00
						Total							Rp 3,035,904,443.51
4	Bored Pile Diameter 900	Ground Anchor	Grout 1	100	40	7853.981634	0.3141593	0.274959265	m ³	Rp 1,500,000.00	Rp 412,438.90	38	Rp 15,672,678.13
				150	7	17671.45868	0.1237002			Rp 1,500,000.00	Rp 175,260.32	38	Rp 6,659,892.01
			Strand	47	980.00	0.04606	7850	361.571	kg	Rp 200,000.00	Rp 72,314,200.00	38	Rp 2,747,939,600.00
						Total							Rp 2,770,272,170.14

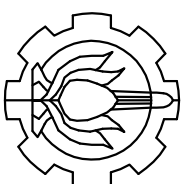
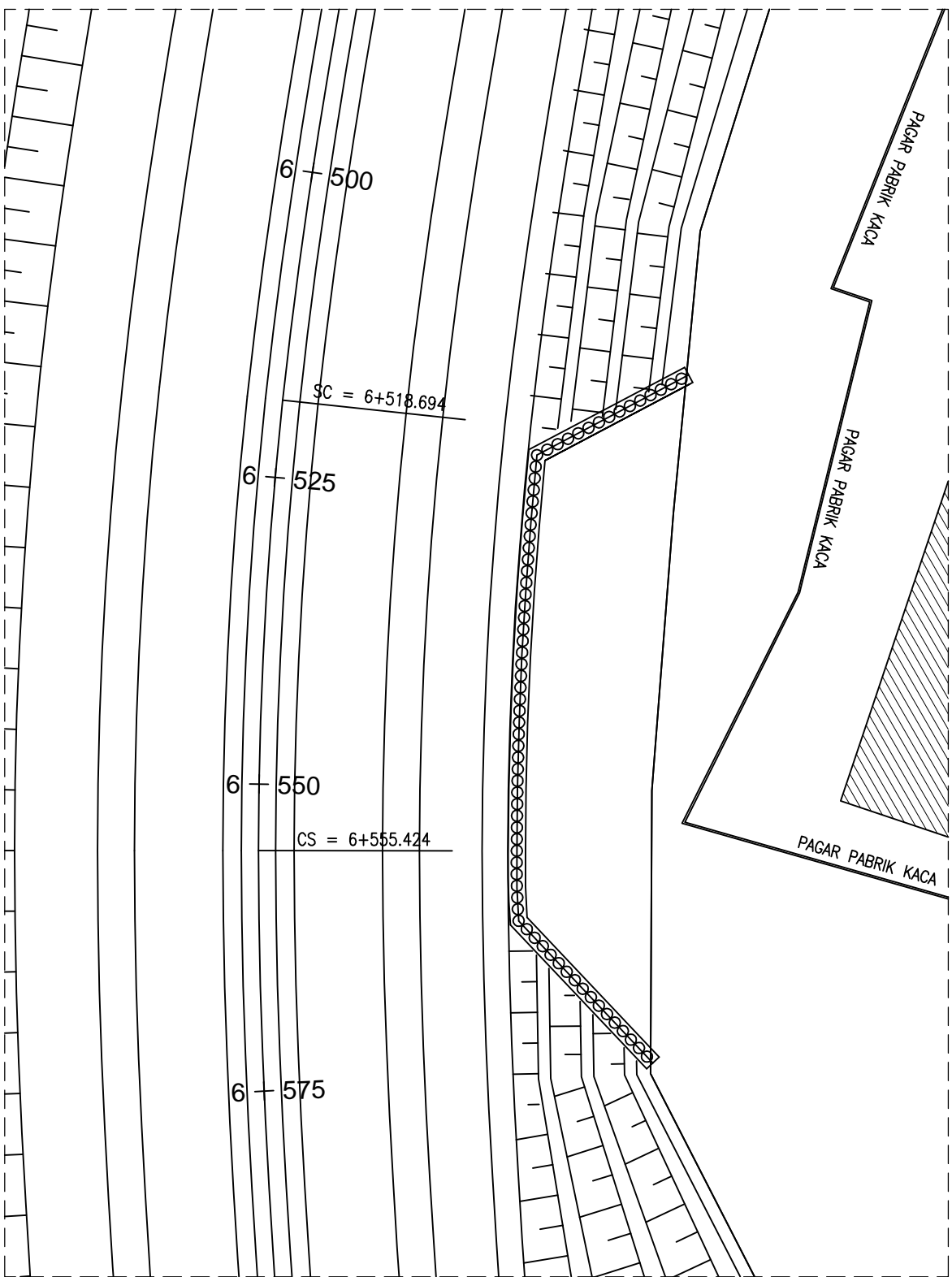
HARGA SATUAN POKOK KEGIATAN (HSPK)

NOMOR	URAIAN KEGIATAN	Koef.	SATUAN	HARGA SATUAN (Rp)	HARGA (Rp)
24.03.01.01	Pekerjaan Beton K-100 Bahan: 20.01.01.02.01.F Semen PC 40 Kg 20.01.01.04.04.F Pasir Cor/Beton 20.01.01.05.04.01.F Batu Pecah Mesin 1/2 cm 23.02.02.02.01.F Air Kerja Upah: 23.02.04.01.01.F Mandor 23.02.04.01.02.F Kepala Tukang 23.02.04.01.03.F Tukang 23.02.04.01.04.F Pembantu Tukang	6.175 0.543125 0.5257894737 215 0.083 0.028 0.275 1.65	Zak M3 M3 Liter Orang Hari Orang Hari Orang Hari Orang Hari	63,000 232,100 466,000 27 120,000 110,000 105,000 99,000	389,025.00 126,059.31 245,017.89 5,805.00 765,907.21 9,960.00 3,080.00 28,875.00 163,350.00 205,265.00 Nilai HSPK : 971,172.21
24.03.01.02	Pekerjaan Beton K-125 Bahan: 20.01.01.02.01.F Semen PC 40 Kg 20.01.01.04.04.F Pasir Cor/Beton 20.01.01.05.04.01.F Batu Pecah Mesin 1/2 cm 23.02.02.02.01.F Air Kerja Upah: 23.02.04.01.01.F Mandor 23.02.04.01.02.F Kepala Tukang 23.02.04.01.03.F Tukang 23.02.04.01.04.F Pembantu Tukang	6.9 0.5175 0.5326315789 215 0.083 0.028 0.275 1.65	Zak M3 M3 Liter Orang Hari Orang Hari Orang Hari Orang Hari	63,000 232,100 466,000 27 120,000 110,000 105,000 99,000	434,700.00 120,111.75 248,206.32 5,805.00 808,823.07 9,960.00 3,080.00 28,875.00 163,350.00 205,265.00 Nilai HSPK : 1,014,088.07
24.03.01.03	Pekerjaan Beton K-150 Bahan: 20.01.01.02.01.F Semen PC 40 Kg 20.01.01.04.04.F Pasir Cor/Beton 20.01.01.05.04.01.F Batu Pecah Mesin 1/2 cm 23.02.02.02.01.F Air Kerja Upah: 23.02.04.01.01.F Mandor 23.02.04.01.02.F Kepala Tukang 23.02.04.01.03.F Tukang 23.02.04.01.04.F Pembantu Tukang	7.475 0.499375 0.5352631579 215 0.083 0.028 0.275 1.65	Zak M3 M3 Liter Orang Hari Orang Hari Orang Hari Orang Hari	63,000 232,100 466,000 27 120,000 110,000 105,000 99,000	470,925.00 115,904.94 249,432.63 5,805.00 842,067.57 9,960.00 3,080.00 28,875.00 163,350.00 205,265.00 Nilai HSPK : 1,047,332.57
24.03.01.04	Lantai Kerja K-100 Bahan: 20.01.01.02.01.F Semen PC 40 Kg 20.01.01.04.04.F Pasir Beton 20.01.01.05.04.01.F Batu Pecah Mesin 1/2 cm 23.02.02.02.01.F Air (biaya air tawar) Upah: 23.02.04.01.01.F Mandor 23.02.04.01.02.F Kepala Tukang Batu 23.02.04.01.03.F Tukang batu 23.02.04.01.04.F Pembantu Tukang	5.75 0.558125 0.5405263158 215 0.06 0.02 0.2 1.2	Zak m3 m3 Liter O.H O.H O.H O.H	63,000 232,100 466,000 27 120,000 110,000 105,000 99,000	362,250.00 129,540.81 251,885.26 5,805.00 749,481.08 7,200.00 2,200.00 21,000.00 118,800.00 149,200.00 Nilai HSPK : 898,681.08
24.03.01.05	Pekerjaan Beton K-175 Bahan: 20.01.01.02.01.F Semen PC 40 Kg 20.01.01.04.04.F Pasir Cor/Beton 20.01.01.05.04.01.F Batu Pecah Mesin 1/2 cm 23.02.02.02.01.F Air Kerja Upah: 23.02.04.01.01.F Mandor 23.02.04.01.02.F Kepala Tukang 23.02.04.01.03.F Tukang 23.02.04.01.04.F Pembantu Tukang	8.15 0.480625 0.5415789474 215 0.083 0.028 0.275 1.65	Zak M3 M3 Liter Orang Hari Orang Hari Orang Hari Orang Hari	63,000 232,100 466,000 27 120,000 110,000 105,000 99,000	513,450.00 111,553.06 252,375.79 5,805.00 883,183.85 9,960.00 3,080.00 28,875.00 163,350.00 205,265.00 Nilai HSPK : 1,088,448.85
24.03.01.06	Pekerjaan Beton K-200 Bahan: 20.01.01.02.01.F Semen PC 40 Kg 20.01.01.04.04.F Pasir Cor/Beton 20.01.01.05.04.01.F Batu Pecah Mesin 1/2 cm 23.02.02.02.01.F Air Kerja Upah: 23.02.04.01.01.F Mandor 23.02.04.01.02.F Kepala Tukang 23.02.04.01.03.F Tukang 23.02.04.01.04.F Pembantu Tukang	8.8 0.456875 0.5426315789 215 0.083 0.028 0.275 1.65	Zak M3 M3 Liter Orang Hari Orang Hari Orang Hari Orang Hari	63,000 232,100 466,000 27 120,000 110,000 105,000 99,000	554,400.00 106,040.69 252,866.32 5,805.00 919,112.00 9,960.00 3,080.00 28,875.00 163,350.00 205,265.00 Nilai HSPK : 1,124,377.00
24.03.01.07	Pekerjaan Beton K-225 Bahan:		m3		

20.01.01.02.01.F	Semen PC 40 Kg	9.275	Zak	63,000	584,325.00
20.01.01.04.04.F	Pasir Cor/Beton	0.43625	M3	232,100	101,253.63
20.01.01.05.04.01.F	Batu Pecah Mesin 1/2 cm	0.5510526316	M3	466,000	256,790.53
23.02.02.02.01.F	Air Kerja	215	Liter	27	5,805.00
	Upah:			Jumlah:	948,174.15
23.02.04.01.01.F	Mandor	0.083	Orang Hari	120,000	9,960.00
23.02.04.01.02.F	Kepala Tukang	0.028	Orang Hari	110,000	3,080.00
23.02.04.01.03.F	Tukang	0.275	Orang Hari	105,000	28,875.00
23.02.04.01.04.F	Pembantu Tukang	1.65	Orang Hari	99,000	163,350.00
	Upah:			Jumlah:	205,265.00
				Nilai HSPK :	1,153,439.15
24.03.01.08	Pekerjaan Beton K-250		m3		
	Bahan:				
20.01.01.02.01.F	Semen PC 40 Kg	9.6	Zak	63,000	604,800.00
20.01.01.04.04.F	Pasir Cor/Beton	0.4325	M3	232,100	100,383.25
20.01.01.05.04.01.F	Batu Pecah Mesin 1/2 cm	0.5468421053	M3	466,000	254,828.42
23.02.02.02.01.F	Air Kerja	215	Liter	27	5,805.00
	Upah:			Jumlah:	965,816.67
23.02.04.01.01.F	Mandor	0.083	Orang Hari	120,000	9,960.00
23.02.04.01.02.F	Kepala Tukang	0.028	Orang Hari	110,000	3,080.00
23.02.04.01.04.F	Pembantu Tukang	1.65	Orang Hari	99,000	163,350.00
	Upah:			Jumlah:	176,390.00
				Nilai HSPK :	1,142,206.67
24.03.01.09	Pekerjaan Beton K-275		m3		
	Bahan:				
20.01.01.02.01.F	Semen PC 40 Kg	10.15	Zak	63,000	639,450.00
20.01.01.04.04.F	Pasir Cor/Beton	0.4275	M3	232,100	99,222.75
20.01.01.05.04.01.F	Batu Pecah Mesin 1/2 cm	0.54	M3	466,000	251,640.00
23.02.02.02.01.F	Air Kerja	215	Liter	27	5,805.00
	Upah:			Jumlah:	996,117.75
23.02.04.01.01.F	Mandor	0.083	Orang Hari	120,000	9,960.00
23.02.04.01.02.F	Kepala Tukang	0.028	Orang Hari	110,000	3,080.00
23.02.04.01.03.F	Tukang	0.275	Orang Hari	105,000	28,875.00
23.02.04.01.04.F	Pembantu Tukang	1.65	Orang Hari	99,000	163,350.00
	Upah:			Jumlah:	205,265.00
				Nilai HSPK :	1,201,382.75
24.03.01.10	Pekerjaan Beton K-300		m3		
	Bahan:				
20.01.01.02.01.F	Semen PC 40 Kg	10.325	Zak	63,000	650,475.00
20.01.01.04.04.F	Pasir Cor/Beton	0.425625	M3	232,100	98,787.56
20.01.01.05.04.01.F	Batu Pecah Mesin 1/2 cm	0.5373684211	M3	466,000	250,413.68
23.02.02.02.01.F	Air Kerja	215	Liter	27	5,805.00
	Upah:				1,005,481.25
23.02.04.01.01.F	Mandor	0.083	Orang Hari	120,000	9,960.00
23.02.04.01.02.F	Kepala Tukang	0.028	Orang Hari	110,000	3,080.00
23.02.04.01.03.F	Tukang	0.275	Orang Hari	105,000	28,875.00
23.02.04.01.04.F	Pembantu Tukang	1.65	Orang Hari	99,000	163,350.00
	Upah:			Jumlah:	205,265.00
				Nilai HSPK :	1,210,746.25
24.03.01.11	Pekerjaan Beton K-325		m3		
	Bahan:				
20.01.01.02.01.F	Semen PC 40 Kg	10.975	Zak	63,000	691,425.00
20.01.01.04.04.F	Pasir Cor/Beton	0.41875	M3	232,100	97,191.88
20.01.01.05.04.01.F	Batu Pecah Mesin 1/2 cm	0.5294736842	M3	466,000	246,734.74
23.02.02.02.01.F	Air Kerja	215	Liter	27	5,805.00
	Upah:			Jumlah:	1,041,156.61
23.02.04.01.01.F	Mandor	0.105	Orang Hari	120,000	12,600.00
23.02.04.01.02.F	Kepala Tukang	0.035	Orang Hari	110,000	3,850.00
23.02.04.01.03.F	Tukang	0.35	Orang Hari	105,000	36,750.00
23.02.04.01.04.F	Pembantu Tukang	2.1	Orang Hari	99,000	207,900.00
	Upah:			Jumlah:	261,100.00
				Nilai HSPK :	1,302,256.61
24.03.01.12	Pekerjaan Beton K-350		m3		
	Bahan:				
20.01.01.02.01.F	Semen PC 40 Kg	11.2	Zak	63,000	705,600.00
20.01.01.04.04.F	Pasir Cor/Beton	0.416875	M3	232,100	96,756.69
20.01.01.05.04.01.F	Batu Pecah Mesin 1/2 cm	0.5263157895	M3	466,000	245,263.16
23.02.02.02.01.F	Air Kerja	215	Liter	27	5,805.00
	Upah:			Jumlah:	1,053,424.85
23.02.04.01.01.F	Mandor	0.105	Orang Hari	120,000	12,600.00
23.02.04.01.02.F	Kepala Tukang	0.035	Orang Hari	110,000	3,850.00
23.02.04.01.03.F	Tukang	0.35	Orang Hari	105,000	36,750.00
23.02.04.01.04.F	Pembantu Tukang	2.1	Orang Hari	99,000	207,900.00
	Upah:			Jumlah:	261,100.00
				Nilai HSPK :	1,314,524.85
24.03.01.13	Pekerjaan Beton (1Pc : 2 Ps : 3 Kr)		m3		
	Bahan:				
20.01.01.02.01.F	Semen PC 40 Kg	9.275	Zak	63,000	584,325.00
20.01.01.04.04.F	Pasir Cor/Beton	0.43625	M3	232,100	101,253.63
20.01.01.05.04.01.F	Batu Pecah Mesin 1/2 cm	0.5510526316	M3	466,000	256,790.53
23.02.02.02.01.F	Air Kerja	215	Liter	27	5,805.00
	Upah:			Jumlah:	948,174.15
23.02.04.01.01.F	Mandor	0.083	Orang Hari	120,000	9,960.00

pid	ansid	Kerjalan	Unit	Volum	Harga Satuan	Jumlah
Pembangunan Dermaga Penyeberangan : Konstruksi Pelindung MB						
409		KONSTRUKSI PELINDUNG MB (2 BUAH)				
409		-Beton bertulang K-225 untuk pile cap (17,36 m ³)				
409	135	- Beton Bertulang 1:2:3 K.225 (m3) (SNI 7394-2008-07) fc=19.3 Mpa slump (12±2) cm w/c=0.58	m3	17,36	901.123,86	15.643.510,16
409	141	-Pasang bekisting untuk balok	m2	59,44	476.986,91	33.121.971,26
409	149	-Pembesian Dengan Besi Ulir D.32	kg	3.992,80	12.141,12	48.477.044,62
409	5054	--Upah dan peralatan pembuatan beton k-225 untuk plat lantai	ls/jam	17,36	667.060,15	11.580.164,19
409		-Beton bertulang K-225 pengisian tiang (1,81 m ³)				
409	135	- Beton Bertulang 1:2:3 K.225 (m3) (SNI 7394-2008-07) fc=19.3 Mpa slump (12±2) cm w/c=0.58	m3	1,81	901.123,86	4.361.439,47
409	149	-Pembesian Dengan Besi Ulir D.32	kg	1.009,82	12.141,12	12.260.316,63
409	5055	--Upah dan peralatan pembuatan beton isi tiang K-225	ls/jam	1,81	518.854,82	2.511.254,89
409	3001	--Operasional Pontron Transport (Hari)	hari	0,12	5.115.687,55	618.998,19
409	3002	--Operasional Crawler Crane (Hari)	hari	0,12	8.747.667,15	1.058.467,73
409		-Beton bertulang K-225 selimut tiang (2,15 m ³)				
409	135	- Beton Bertulang 1:2:3 K.225 (m3) (SNI 7394-2008-07) fc=19.3 Mpa slump (12±2) cm w/c=0.58	m3	2,15	901.123,86	1.937.416,29
409	143	-Pasang bekisting untuk plat lantai	m2	23,65	455.319,41	10.768.304,13
409	149	-Pembesian Dengan Besi Ulir D.32	kg	430,00	12.141,12	5.220.679,52
409	5054	--Upah dan peralatan pembuatan beton k-225 untuk plat lantai	ls/jam	2,15	667.060,15	1.434.179,32
409	5016	-Tiang baja D=812,8 mm, t = 14,0 mm	ton	23,70	15.000.000,00	355.500.000,00
409	3003	-Pengangkutan 1 m ³ tiang pancang ketik pancang	m ³	356,74	110.906,84	39.564.482,80
409	3006	-Pemasangan tiang pancang	m ³	180,00	596.561,75	107.381.114,53
409	3010	-Pengecatan tiang pancang	m2	1.530,58	175.328,21	268.353.852,99
409	5017	-Penyambungan tiang (setiap 6 m)	bh	40,00	605.040,02	24.201.600,80
409	5018	-Pemotongan tiang	bh	5,00	565.289,63	2.826.448,17
409	5019	-Plat penutup tiang	bh	5,00	806.115,93	4.030.579,64
409	5020	-Sepatu tiang pancang	bh	5,00	1.894.517,55	9.472.587,75
409	5023	-Bracing antar tiang pancang WF 150.100.7.10(23,65 kg/m)	kg	300,00	278.200,00	83.460.000,00
409	5035	-Frontal frame	bh	1,00	162.332.435,99	162.332.435,99
409	5036	-Fender ukuran CELL 400	bh	3,00	30.326.433,27	90.979.299,81
409	5035	-Pemasangan frontal frame	ls	1,00	162.332.435,99	162.332.435,99
JUMLAH						1.459.428.585,86
PPN 10 %						145.942.858,59
JUMLAH TOTAL						1.605.371.444,45
<i>Harga per Buah</i>						802.685.723,00

Kode	Klasifikasi	Keterangan	Unit	Vol	Harga Satuan	Jumlah
Pembangunan Dermaga Penyeberangan : Catwalk						
410	CATWALK 18 M2					
410	-Beton bertulang K-225 untuk pile cap (6,48 m3)					
410	135 -Beton Bertulang 1:2:3 K.225 (m3) [SNI 7394-2008-07] f'c=19.3 Mpa slump (12±2) cm w/c=0,58	m3	6,48	901.123,86	5.839.282,59	
410	144 -Pasang bekisting untuk kolom	m2	25,92	476.986,91	12.353.500,79	
410	149 -Pembesian Dengan Besi Ulir D.32	kg	1.490,40	12.141,12	18.095.118,04	
410	5054 -Upah dan peralatan pembuatan beton k-225 untuk plat lantai	ls/jam	6,48	667.060,15	4.322.549,77	
410	-Beton bertulang K-225 pengisian tiang (1,76 m3)					
410	135 -Beton Bertulang 1:2:3 K.225 (m3) [SNI 7394-2008-07] f'c=19.3 Mpa slump (12±2) cm w/c=0,58	m3	1,76	901.123,86	1.585.977,99	
410	149 -Pembesian Dengan Besi Ulir D.32	kg	367,21	12.141,12	4.458.295,19	
410	5055 -Upah dan peralatan pembuatan beton isi tiang K-225	ls/jam	176,00	518.854,32	91.318.350,48	
410	3001 -Operasional Ponton Transport (Hari)	hari	0,04	5.115.687,55	225.090,25	
410	3002 -Operasional Crawler Crane (Hari)	hari	0,04	8.747.667,15	384.897,35	
410	-Beton bertulang K-225 selimut tiang (1,64 m3)					
410	135 -Beton Bertulang 1:2:3 K.225 (m3) [SNI 7394-2008-07] f'c=19.3 Mpa slump (12±2) cm w/c=0,58	m3	1,64	901.123,86	1.477.843,13	
410	143 -Pasang bekisting untuk plat lantai	m2	18,04	455.319,41	8.213.952,22	
410	149 -Pembesian Dengan Besi Ulir D.32	kg	328,00	12.141,12	3.982.285,77	
410	5054 -Upah dan peralatan pembuatan beton k-225 untuk plat lantai	ls/jam	1,64	667.060,15	1.093.978,64	
410	-Beton bertulang pelat lantai (8,52 m3)					
410	135 -Beton Bertulang 1:2:3 K.225 (m3) [SNI 7394-2008-07] f'c=19.3 Mpa slump (12±2) cm w/c=0,58	m3	8,52	901.123,86	7.677.575,26	
410	145 -Pasang bekisting untuk plat lantai	m2	34,08	553.759,41	18.872.120,81	
410	149 -Pembesian Dengan Besi Ulir D.32	kg	1.704,00	12.141,12	20.688.460,24	
410	5054 -Upah dan peralatan pembuatan beton k-225 untuk plat lantai	ls/jam	8,52	667.060,15	5.683.352,47	
410	5016 -Tiang baja D=71,2 mm, t = 14,0 mm	ton	11,57	15.000.000,00	173.520.000,00	
410	3003 Pengangkutan 1 m' tiang pancang ke titik tiang	m	0,13	110.906,84	14.733,47	
410	3006 Pemancaangan tiang pancang	m'	76,80	596.561,75	45.815.942,20	
410	3010 Penggecatan tiang pancang	m2	42,90	175.328,21	7.521.580,25	
410	5017 -Penyambungan tiang (setiap 6 m)	bh	12,00	605.040,02	7.260.480,24	
410	5018 -Pemotongan tiang	bh	6,00	565.289,63	3.391.737,81	
410	5019 -Plat penutup tiang	bh	6,00	806.115,93	4.836.695,57	
410	5020 -Sepatu tiang pancang	bh	6,00	1.894.517,55	11.367.105,30	
410	5024 -Profil baja WF 100.50.5.7	kg	2.128,00	13.733,45	29.224.781,60	
410	5024 -Profil baja WF 200.100.8.12	kg	299,50	13.733,45	4.113.168,28	
410	5024 -Profil baja WF 450.250.9.12	kg	102,60	13.733,45	1.409.051,97	
410	5022 -Plat baja t=12 mm	kg	100,00	13.733,45	1.373.315,00	
410	5022 -Plat baja t=8 mm	kg	20,00	13.733,45	274.659,00	
410	5036 -Bondex	m2	16,80	493.270,00	8.286.936,00	
410	5006 -Beton bertulang K-225 plat di atas bondex	m3	2,00	5.833.246,90	11.666.493,80	
410	5015 -Pipa railing dia. 2,5", tebal 3 mm	m2	28,00	305.485,00	8.558.580,00	
JUMLAH						524.912.950,48
PPN 10 %						52.491.295,05
JUMLAH TOTAL						577.404.245,53
Harga per- M2						32.078.014,00



PROGRAM SI - LINTAS JALUR JURUSAN TEKNIK SIPIL

FAKULTAS TEKNIK SIPIL DAN PERENCANAAN

INSTITUT TEKNOLOGI SEPULUH NOPEMBER

JUDUL TUGAS AKHIR

PERBANDINGAN PERENCANAAN TURAP/RETAINING
WALL PEMBANGUNAN JALAN TOL GEMPOL -
PANDAAN STA 6+518 s/d 6+575 DENGAN PIAXIS
DAN METODE KONVENTIONAL

DOSEN PEMBIMBING

MUSTAIN ARIF, ST,MT

PUTU TANTRI KUMALA SARI, ST,MT

DIGAMBAR

MARRONO WIDYA DIPUTRA

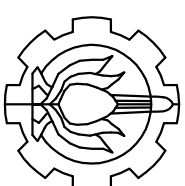
JUDUL GAMBAR

SITE PLAN

CATATAN

NO. GAMBAR

SKALA



PROGRAM SI - LINTAS JALUR JURUSAN TEKNIK SIPIL
FAKULTAS TEKNIK SIPIL DAN PERENCANAAN
INSTITUT TEKNOLOGI SEPULUH NOPEMBER

JUDUL TUGAS AKHIR

PERBANDINGAN PERENCANAAN TURAP RETAINING
WALL PEMBANGUNAN JALAN TOL GEMFOL -
PANDAAN STA 6+518 s/d 6+575 DENGAN PIAXIS
DAN METODE KONVENTIONAL

DOSEN PEMBIMBING

MUSTAIN ARIF, ST,MT

PUTU TANTRI KUMALA SARI, ST,MT

DIGAMBAR

MARRONO WIDYA DIPIUTRA

JUDUL GAMBAR

POTONGAN MEMANJANG

6+574

6+549

6+524

ELEVASI EXISTING	EKSISTING SEBELUM GALIAN	EKSISTING SEBELUM GALIAN	EKSISTING SEBELUM GALIAN
FINAL GRADE			
125.000			
120.000			
115.000			
110.000			
105.000			
100.000			
95.000			
	125.239	120.757	
	124.941	121.152	
	124.577	121.743	
	6+524	6+549	
	6+574		

POTONGAN MEMANJANG

SKALA 1:350

CATATAN :

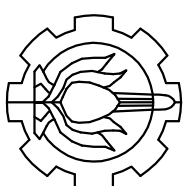
1. SEMUA UKURAN DALAM METER
2. ELEVASI TOP BORED PILE

NO. GAMBAR

SKALA

2

350



PROGRAM SI - LINTAS JALUR JURUSAN TEKNIK SIPIL

FAKULTAS TEKNIK SIPIL DAN PERENCANAAN

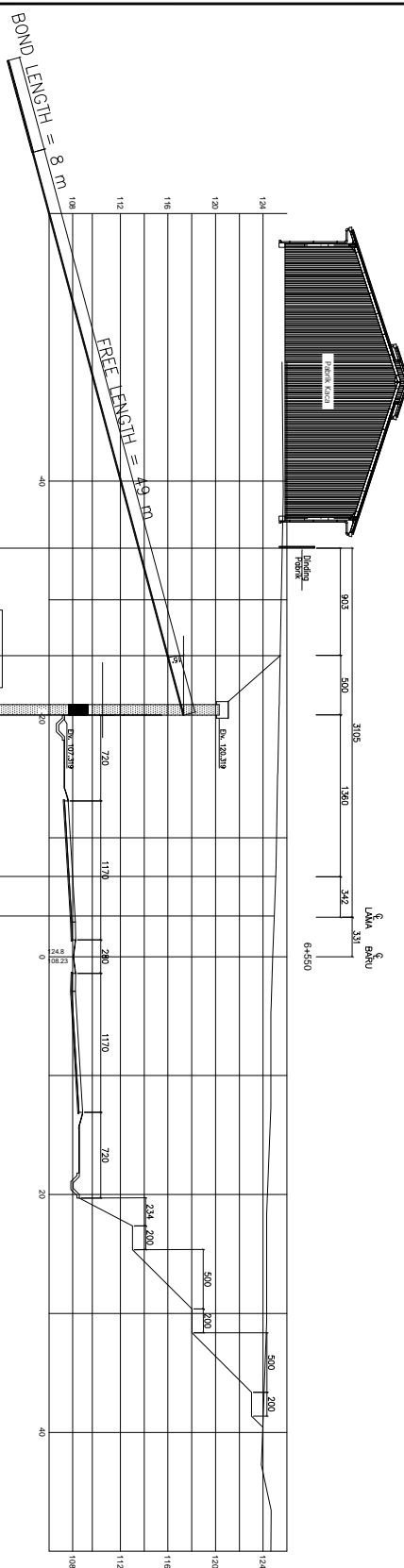
INSTITUT TEKNOLOGI SEPULUH NOPEMBER

JUDUL TUGAS AKHIR

PERBANDINGAN PERENCANAAN TURAP RETAINING
WALL PEMBANGUNAN JALAN TOL GEMOLI -
PANDAAN STA 6+518 s/d 6+575 DENGAN PIAXIS
DAN METODE KONVENTIONAL

DOSEN PEMBIMBING

MUSTAIN ARIF, ST,MT



PUTU TANTRI KUMALA SARI, ST,MT

DIGAMBAR

MARRONO WIDYA DIPUTRA

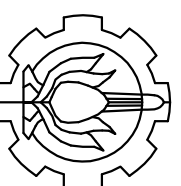
JUDUL GAMBAR

POTONGAN MELINTANG
SKALA 1:350

CATATAN

CATATAN :

1. SEMUA UKURAN DALAM CENTIMETER KECUALI ELEVASI DALAM METER
- ATAU JIKA DISEBUTKAN LAIN



PROGRAM SI - LINTAS JALUR JURUSAN TEKNIK SIPIL

FAKULTAS TEKNIK SIPIL DAN PERENCANAAN

INSTITUT TEKNOLOGI SEPULUH NOPEMBER

JUDUL TUGAS AKHIR

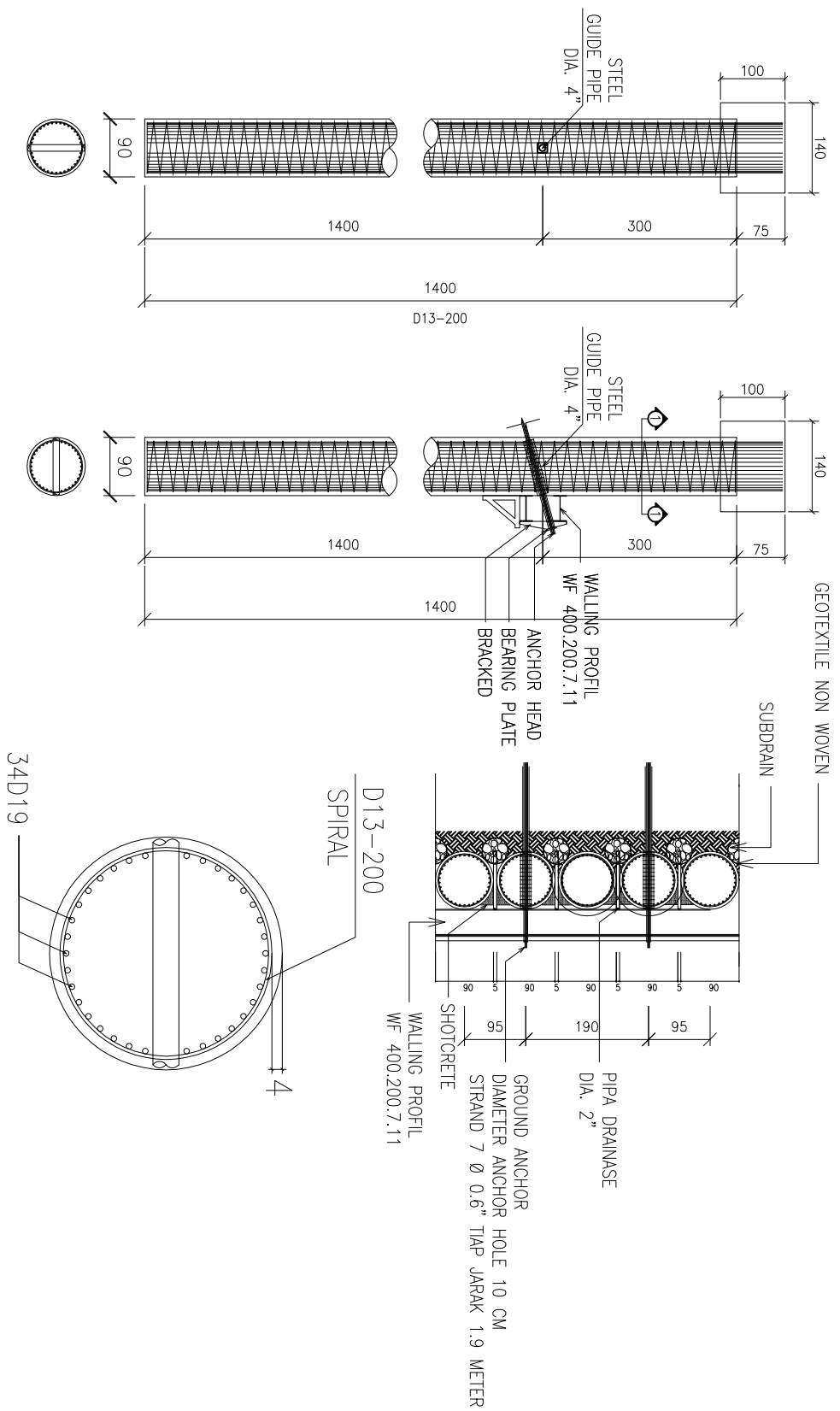
PERBANDINGAN PERENCANAAN TURAP RETAINING
WALL PEMBANGUNAN JALAN TOL GEMPOL -
PANDAAN STA 6+518 s/d 6+575 DENGAN PIAXIS
DAN METODE KONVENTIONAL

DOSEN PEMBIMBING

MUSTAİN ARIF, ST,MT

PUTU TANTRI KUMALA SARI, ST,MT

POT. 1-1
SKALA 1:25



DETAIL PENULUMAN BORED PILE

SKALA 1:100

POT. 1-1
SKALA 1:25

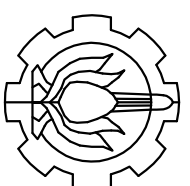
DETAL PENULANGAN

CATATAN

MARRONO WIDYA DIPUTRA

JUDUL GAMBAR

POT. 1-1
SKALA 1:25



PROGRAM SI - LINTAS JALUR JURUSAN TEKNIK SIPIL

FAKULTAS TEKNIK SIPIL DAN PERENCANAAN

INSTITUT TEKNOLOGI SEPULUH NOPEMBER

JUDUL TUGAS AKHIR

PERBANDINGAN PERENCANAAN TURAP RETAINING
WALL PEMBANGUNAN JALAN TOL GEMPOL -
PANDAAN STA 6+518 s/d 6+575 DENGAN PIAXIS
DAN METODE KONVENTIONAL

DOSEN PEMBIMBING

MUSTAİN ARIF, ST.MT

PUTU TANTRI KUMALA SARI, ST.MT

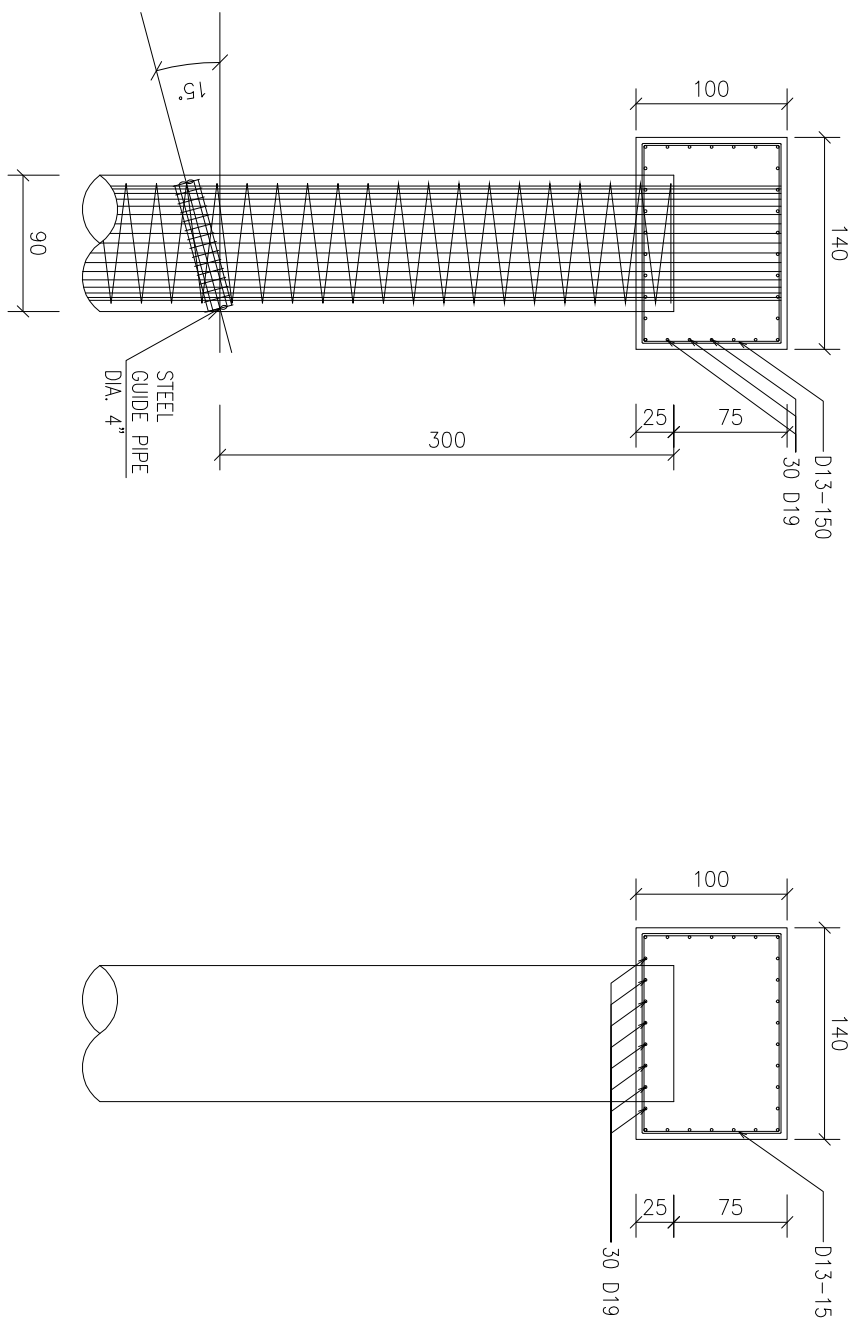
DIGAMBAR

MARRONO WIDYA DIPUTRA

JUDUL GAMBAR

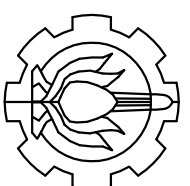
CAPPING BEAM
DAN
GROUND ANCHOR

CATATAN



DETAIL PENULANGAN CAPPING BEAM

SKALA 1:50



PROGRAM SI - LINTAS JALUR JURUSAN TEKNIK SIPIL
FAKULTAS TEKNIK SIPIL DAN PERENCANAAN
INSTITUT TEKNOLOGI SEPULUH NOPEMBER

JUDUL TUGAS AKHIR

PERBANDINGAN PERENCANAAN TURAP RETAINING
WALL PEMBANGUNAN JALAN TOL GEMPOL -
PANDAAN STA 6+518 s/d 6+575 DENGAN PIAXIS
DAN METODE KONVENTIONAL

DOSEN PEMBIMBING

MUSTAIN ARIF, ST,MT

PUTU TANTRI KUMALA SARI, ST,MT

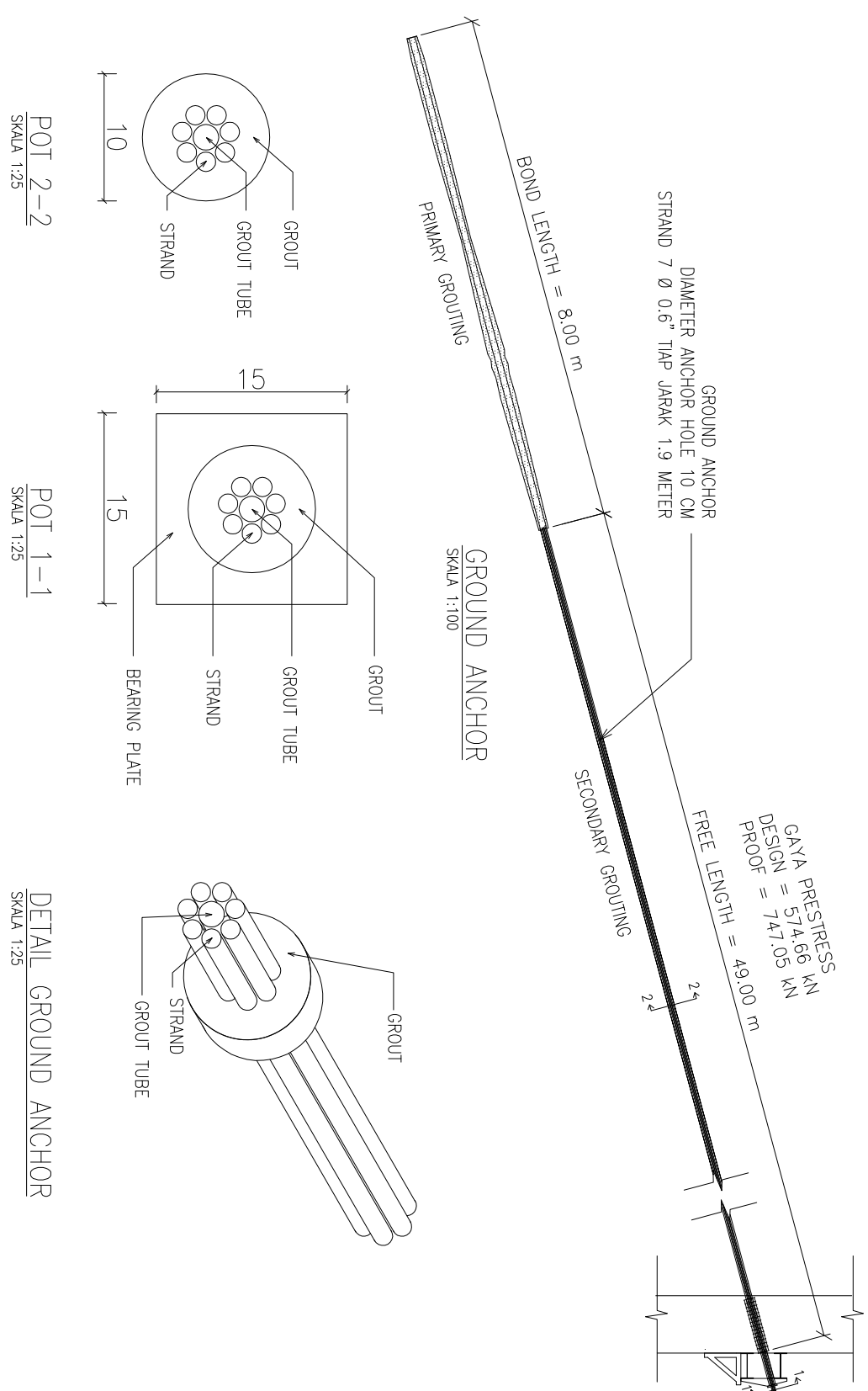
DIGAMBAR

MARRONO WIDYA DIPUTRA

JUDUL GAMBAR

GROUND ANCHOR

CATATAN



NO. GAMBAR	SKALA
6	100



PROGRAM STUDI S1 LINTAS JALIR JURUSAN TEKNIK SIPIL FTSP - ITS
LEMBAR KEGIATAN ASISTENSI TUGAS AKHIR (WAJIB DIISI)

Jurusan Teknik Sipil U. 1, Kampus ITS Sukolilo, Surabaya 63111

Telp.031-5996879, Fax.031-5947284

Tanggal TA-D4
06/01



NAMA PEMBIMBING	MUHTA'IN ARIF, ST, MT
NAMA MAHASISWA	MARSONO WIDYA DIPUTRA
NRP	3114105008
JUDUL TUGAS AKHIR	PERBANDINGAN PERENCANAAN TURAP RETAINING WALL PAMBIANAN DALAM TDL GEMPOL-BANDAHAN ITB MISTER SO 61575 DENGAN PLAKET SAI-M METODE KONVENTIONAL
TANGGAL PROPOSAL	21 JANUARI 2016
NO. SP-NMTA	072030 / IT.2.3-1.1/2R-05.02-00/2016

NO	TANGGAL	KEGIATAN		PARAF ASISTEN
		REALISASI	RENCANA MINGGU DEPAN	
1.	22/1/2016 10:00	Pengambilan data tanah	Berisi parameter data tanah - Tanah sati - Tanah berpasir like sand - lapisan tanah	<i>Arif</i>
2.	23/1/2016 10:00	Terakam tanah lateral Kedalaman penahanan turap	Berisi ker-jarak lateral Masing pasir	<i>Arif</i>
3.	7/2/2016 10:00	Pengambilan dimensi turap Detail batu tanah lateral	Cek kapasitas muka cek dimensi turap	<i>Arif</i>
4.	19/2/2016 10:00	Pengukuran kerad pas	Hilang & Memperbaiki Kontrol definisi	<i>Arif</i>
5.	23/2/2016 10:00	Pengukuran Turap Penentuan nilai tanggul load dan lebar Z.P	Kontrol definisi Cek permutasi tanah dan pasir lapat plastik	<i>Arif</i>
6.	4/3/2016 10:00	Input data bahan dan material pasir Perhitungan desain	SA 61 pasir dalam untuk plastik Tipe kerangka, Karakter milo & dan pasir pasir	<i>Arif</i>
7.	10/3/2016 10:00	Tebakan tanah lateral turap sayang Karakter pasir plastik Sayang tanah angkat Dinomel	Perhitungan dimensi - cek karakter/ sayang sayang kritis (ok) Karakter sand dan granular definisi tanah dan pasir	<i>Arif</i>
8.	21/3/2016 10:00	Perangkat sayang kritis Vibrating, borden anchor dan ground anchor Locas ground anchor jarak angkat	Perangkat sayang kritis segera pasir pasir Referensi sayang damping sayang Luding	<i>Arif</i>

Arif



PROGRAM STUDI LINTAS JALUR /JURUSAN TEKNIK SIPIL FTSP - ITS

LEMBAR KEGIATAN ASISTENSI TUGAS AKHIR (WAJIB DIISI)

Jurusan Teknik Sipil Lt.1, kampus ITS Sukolilo, Surabaya 60111

Telp.031-5996879, Fax.031-5994724

Form 14.04
m21

NAMA PENGBIMBING	:
NAMA MAHASISWA	:
NRP	:
JUDUL TUGAS AKHIR	:
TANGGAL PROPOSAL	:
NO. SP MMTA	:

NO	TANGGAL	KEGIATAN		PARAF ASISTEN
		REALISASI	RENCANA MINGGU DEPAN	
9.	21/2/2014 /2/	Kontrib. Defisiensi Penelitian Subordinasi Casting batu sealing	Mining batu dan bonggong penyelesaikan subordinasi metode pasang	<i>Note</i>
10.	16/2/2014 /5	Vimana dan bonggong Subordinasi Penentuan alternatif (kemungkinan) pasca ak?	Berdiri bonggong Gambar	<i>Note</i>
11.	19/2/2014 /8	Pembuatan gambar venusina	Pembuatan gambar venusina	<i>Note</i>

(6)



NAMA PEMBIMBING	: PUTU TANTRI KUMALA SARI . ST . MT
NAMA MAHASISWA	: MARBONO WIDYA DIPUTRA
NRP	: 3114105006
JUDUL TUGAS AKHIR	: PERBANDINGAN PERENCANAAN TURAP / RETAINING WALL PEMBANGUNAN JALAN TOL BEMPOL - PANDAAN STA 6+518 S/D 6+575 DENGAN PLAXIS DAN METODE ICONVENTIONAL
TANGGAL PROPOSAL	: 21 JANUARI 2016
NO. SP-MMTA	: 612030 / IT23.1 1/0P.05 -02.00 / 2016

NO	TANGGAL	KEGIATAN		PARAF ASISTEN
		REALISASI	RENCANA MINGGU DEPAN	
1.	20/02/2016	Parameter data tanah	Revisi parameter data tanah lapisan tanah untuk perhitungan tektonik lateral	
2.	21/02/2016	Tekanan tanah lateral	Koreksi Tu Th dan zc Uka Titik per lapisan tanah Revisi tekanan tanah pasif	
3.	22/02/2016	Kedalaman penetrasi turap dimensi turap Tu, Th sesuai per lapisan Revisi tekanan tanah pasif	Titik tinjauan momen maks lokasi jarak x Satuan momen rawe	
4.	23/02/2016	Kontrol defleksi turap Input placu	Cek nilai EI profil Perentuan nilai e dan H	
5.	24/02/2016	Perencanaan nilai lateral load dan jarak beban hingga dasar gelian	Tinjauan pusatnya / teori behaviour like sand	
6.	25/02/2016	Defleksi turap kantilever ok!	Turap berjangkar	
7.	26/02/2016	Tekanan tanah lateral turap angkur Kedalaman penetrasi gaya tarik angkur Perentuan jarak angkur	Cek perentuan jarak angkur perhitungan kabel angkur sudut miring angkur kapasitas ground anchor momen maks	
8.	27/02/2016	Momen max turap Dimensi Kapasitas ground anchor dan kabel strand	perbaikan penulisan capping beam walling subdrain	



PROGRAM STUDI S1 LINTAS JALUR JURUSAN TEKNIK SIPIL FTSP - ITS
LEMBAR KEGIATAN ASISTENSI TUGAS AKHIR (WAJIB DIISI)

Jurusan Teknik Sipil Lt.1, Kampus ITS Sukolilo, Surabaya 601111

Telp.031-5996879, Fax.031-5947284



Form TA-04
rny01

NAMA PEMBIMBING	:
NAMA MAHASISWA	:
NRP	:
JUDUL TUGAS AKHIR	:
TANGGAL PROPOSAL	:
NO. SP-MMTA	:

NO	TANGGAL	KEGIATAN		PARAF ASISTEN
		REALISASI	RENCANA MINGGU DEPAN	
9.	3/05/2016	Kontrol Defleksi Perencanaan subdrain, capping beam, dan walting	Volume dan harga material Penentuan letak subdrain	
10.	13/05/2016	Plaxis ok! Penentuan alternatif Kesimpulan saran	Revisi harga Gambar rencana	
11.	20/05/2016	Pembuatan gambar rencana	Perbaikan gambar rencana	

BAB VI

KESIMPULAN DAN SARAN

6.1 Kesimpulan

Berdasarkan hasil perhitungan yang telah dilakukan dengan menggunakan metode konvensional, didapatkan dimensi,panjang turap, dan jumlah serta panjang angkur yang dibutuhkan. Kemudian dianalisa dengan menggunakan PLAXIS untuk mengetahui stabilitas dan angka keamanannya. Dari analisa tersebut, maka dapat disimpulkan tentang alternatif perencanaan yang akan digunakan yaitu kriteria pemilihan alternatif perkuatan yang aman dan ekonomis. Adapun kesimpulan yang diperoleh adalah sebagai berikut :

1. Perhitungan turap kantilever dan berangkur dengan metode konvensional untuk dua kondisi tanah didapatkan perkuatan yang terlihat di Tabel 6.1 diawah ini :

Tabel 6.1 Hasil Analisa Turap Kantilever dan Turap Berangkur dengan Metode Konvensional

Kondisi Tanah	Turap Kantilever				Turap Berangkur			
	Tanah Asli		Behaving Like Sand		Tanah Asli		Behaving Like Sand	
Jenis Turap	SPP	Bored Pile	SPP	Bored Pile	SPP	Bored Pile	SPP	Bored Pile
Diameter (mm)	800	900	1100	1200	500	700	700	900
Panjang Total Turap (m)	23	23	26	26	16	16	18	20
Jarak Turap (m)	0.85	0.95	1.15	1.25	0.55	0.75	0.75	0.95
Panjang Angkur (m)	-	-	-	-	47	47	57	57
Jarak Angkur	-	-	-	-	2.20	2.25	1.50	1.90

2. Analisa menggunakan program bantu PLAXIS pada turap kantilever dan berangkur untuk dua kondisi tanah didapatkan nilai *safety factor* perkuatan yang terlihat di Tabel 6.2 :

Tabel 6.2 Hasil Analisa Turap Kantilever dan Turap Berangkur dengan PLAXIS

Kondisi Tanah	Turap Kantilever				Turap Berangkur			
	Tanah Asli		<i>Behaving Like Sand</i>		Tanah Asli		<i>Behaving Like Sand</i>	
Jenis Turap	SPP	<i>Bored Pile</i>	SPP	<i>Bored Pile</i>	SPP	<i>Bored Pile</i>	SPP	<i>Bored Pile</i>
Diameter (mm)	800	900	1100	1200	500	700	700	900
Panjang Total Turap (m)	23	23	26	26	16	16	18	20
Panjang Angkur (m)	-	-	-	-	47	47	57	57
SF	1,30	1,30	1,35	1,36	1,45	1,45	1,6	1,59

3. Dari hasil hitungan alternatif perkuatan, didapatkan berapa besar volume dan hargabahan yang dibutuhkan untuk setiap jenis alternatif perkuatan. Harga total untuk setiap jenis perkuatan dapat dilihat pada Tabe 6.2 dibawah ini :

Tabel 6.3 Rekapitulasi Harga Perkuatan

No	Jenis Perkuatan	Total Harga	
TurapKantilever			
1	Tanah Asli		
1.1	- <i>Steel Pipe Pile</i>	Rp	11,271,578,623
1.2	- <i>Bored Pile</i>	Rp	3,746,577,969
<i>Behaing Like Sand</i>			
2.1	- <i>Steel Pipe Pile</i>	Rp	16,051,322,660
2.2	- <i>Bored Pile</i>	Rp	7,141,552,715
Turap Berangkur			
1	Tanah Asli		
1.1	- <i>Steel Pipe Pile</i>	Rp	8,367,483,955
1.2	- <i>Bored Pile</i>	Rp	3,247,253,883
2.1	- <i>Steel Pipe Pile</i>	Rp	11,837,643,270
2.2	- <i>Bored Pile</i>	Rp	5,167,807,297

4. Dari kedua kondisi tanah yang berbeda didapatkan perkuatan dengan dimensi dan kedalaman turap yang berbeda. Pada kondisi tanah *behaving like sand* dimensi dan kedalaman tiang lebih besar bila dibandingkan dengan analisa menggunakan data tanah asli. Dari perbedaan hasil analisa tersebut disimpulkan bahwa perkuatan yang digunakan adalah dengan menggunakan kondisi tanah *behaving like sand* karena kondisinya dianggap paling kritis.

5. Dari kedua alternatif dan material perkuatan turap dalam kondisi *behaving like sand.*, dipilih alternatif yang paling ekonomis yaitu perkuatan turap berangkur menggunakan material *bored pile* dengan biaya Rp 5.167.807.297,00.

6.2 Saran

Berdasarkan perencanaan yang telah dilakukan, maka disarankan :

1. Perencanaan harus memperhatikan kondisi tanah dilapangan dan sekitarnya karena belum tentu sesuai dengan parameter tanah yang diperoleh.
2. Perencanaan dilakukan dengan kondisi tanah yang paling kritis, seperti pada kasus ini tanah direncanakan dengan menganggap tanah pada lereng adalah pasir (*behaving like sand*).
3. Dalam perencanaan perlu memperhatikan adanya *subdrain* sehingga pada saat perencanaan tidak memperhitungkan pengaruh hujan.

“Halaman ini sengaja dikosongkan”

DAFTAR PUSTAKA

- Brinkgreve.R.B.J. dkk. 2002. *Manual Plaxis*. Netherland: A.A. Balkema Publishers.
- Bowles, J.E. 1983. *Analisa dan Desain Pondasi Jilid II*. Jakarta: Erlangga.
- Cernica, Jhon N. 1983. *Geotechnical Enginerring Foundation Design*. Jakarta: Erlangga,
- Das, Braja M. (translated by Mochtar N.E, and Mochtar I.B.). 1985. *Mekanika Tanah (Prinsip-prinsip Rekayasa Geoteknik) Jilid I*. Jakarta: Erlangga.
- Das, Braja M. (translated by Mochtar N.E, and Mochtar I.B.). 1985. *Mekanika Tanah (Prinsip-prinsip Rekayasa Geoteknik) Jilid II*. Jakarta: Erlangga.
- Hardiyatmo, H C. 2010. *Analisis dan Peencanaan Fondasi bagian II*.Yogyakarta: Gadjah Mada University Press
- Rowe, P.W. 1952. *Anchored sheet pile walls, Proceedings.(Vol. 1, Part 1, pp.27-70)* London: Institute of Civil Engineers
- Rowe, P.W. 1957. *Sheet pile walls in clay, Proceedings, Institute of Civil Engineers (Vol. 7, pp.629-654)*, London : Institute of Civil Engineers
- Sianipar, Benny R. 2016. *Perencanaan Sodier Pile Untuk Perkuatan Lereng Jalan Tol Gempol – Pandaan STA 6+ + 518 – STA 6 + 575*. Surabaya : Institut Teknologi Sepuluh Nopember

Simatupang, P T. *Modul I Jenis Turap dan Turap Cantilever*. Pusat Pengembangan Bahan Ajar – UMB.

Simatupang, P T. *Modul II Turap Berjangkar* . Pusat Pengembangan Bahan Ajar – UMB.

Untung, Djoko. 2012. *Bahan Ajar Rekayasa Pondasi dan Timbunan*. Surabaya: Jurusan Teknik Sipil FTSP ITS

Wahyudi, Herman. 1999. *Daya Dukung Pondasi Dalam*. Surabaya: Jurusan Teknik Sipil FTSP ITS

BIODATA PENULIS



Marbono Widya Diputra

Lahir di Yogyakarta pada tanggal 25 September 1992, merupakan anak ke 2 dari 4 bersaudara. Penulis telah menempuh pendidikan formal di SD Muhammadiyah Purwodongingratan 2 Yogyakarta, SMP Negeri 7 Yogyakarta, dan SMA Negeri 7 Yogyakarta. Kemudian penulis melanjutkan pendidikannya di Departemen Teknik Sipil Sekolah Vokasi UGM dan lulus pada Agustus tahun 2014. Pada September tahun 2014 penulis melanjutkan pendidikannya di Institut Teknologi Sepuluh Nopember Jurusan Teknik Sipil (FTSP-ITS) Surabaya melalui Program Lintas Jalur dan terdaftar dengan NRP 3114105006.

Di jurusan Teknik Sipil FTSP-ITS Surabaya, penulis adalah Mahasiswa Program Sarjana (S1) dengan bidang Studi Geoteknik. Bagi pembaca yang ingin berdiskusi, memberikan kritik dan saran dapat berkorespondensi melalui email marbonowidyad@gmail.com.

“Halaman ini sengaja dikosongkan”